



# Fe催化C-N键的构建

刘灿祥  
化学科学与工程学院

同舟共济

# 背景介绍



同济大学  
TONGJI UNIVERSITY



## (a) Features of iron catalysts

Abundance

50000 ppm in earth's crust

Good biocompatibility

Low toxicity; exist in HGB

Small atomic radius

1.72 Å

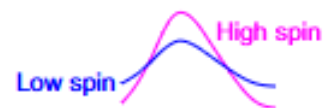
Electronic configuration

$1s^2 2s^2 p^6 3s^2 p^6 d^6 4s^2$

Multiple oxidation state

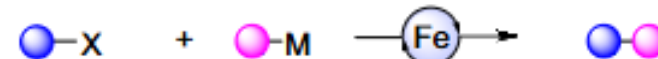
Fe(-2) to Fe(+6)

Spin effects in reaction

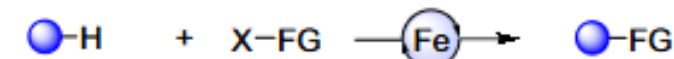


## (b) Representative iron-catalyzed reactions

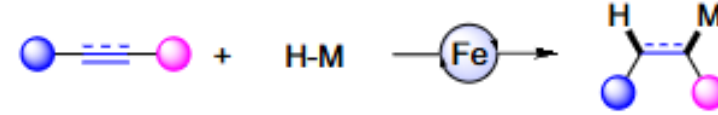
### 3.1 Cross-coupling reactions



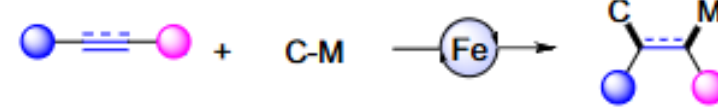
### 3.2 C-H bond functionalization reactions



### 3.3 Hydrometalation reactions of alkenes and alkynes



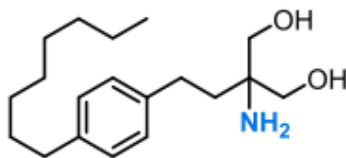
### 3.4 Carbometalation reactions of alkenes and alkynes



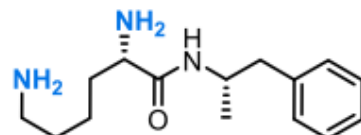
# 背景介绍



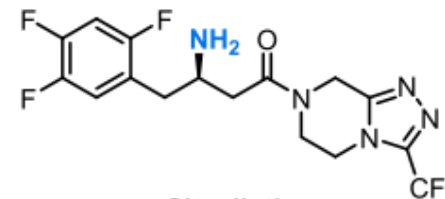
同濟大學  
TONGJI UNIVERSITY



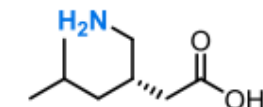
**Fingolimod**  
(\$2.013 billion in 2022)



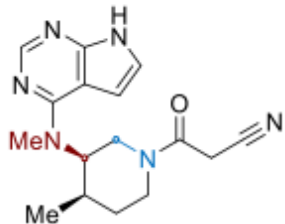
**Lisdexamfetamine**  
(\$3.219 billion in 2022)



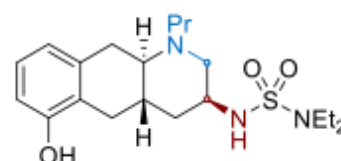
**Sitagliptin**  
(\$2.813 billion in 2022)



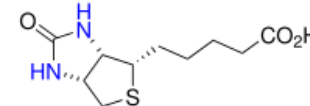
**Pregabalin**  
(\$632 million in 2022)



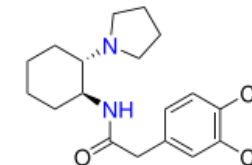
Tofacitinib  
JAK inhibitor



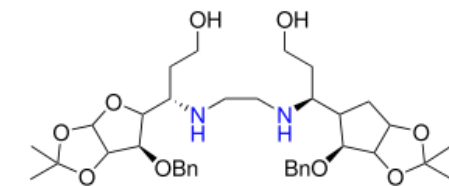
Quinagolide  
D<sub>2</sub> receptor agonist



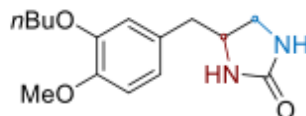
Biotin



U-50,488  
k agonist



Antitubercular agent



RO 20-1724  
PDE4 inhibitor

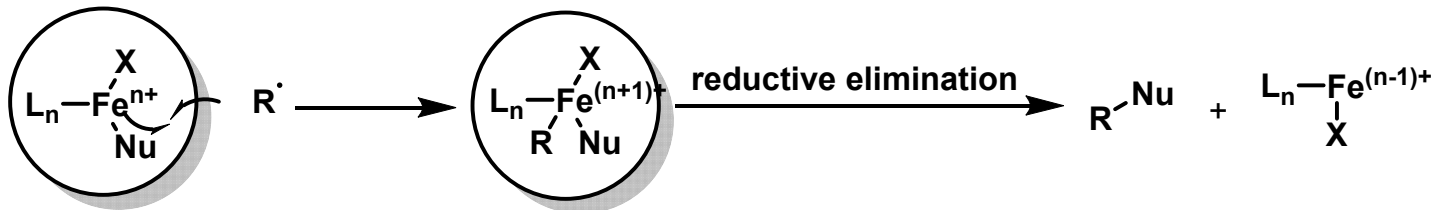


hamacanthin B  
antibacterial

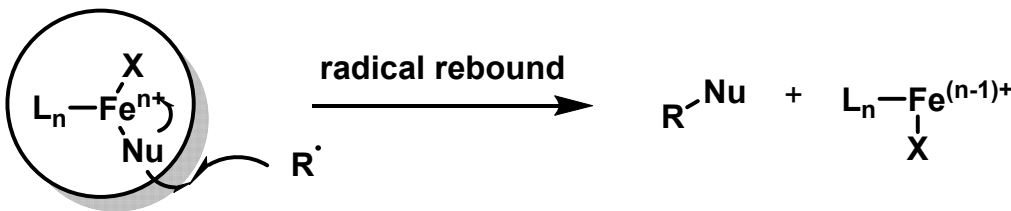


## 背景介绍

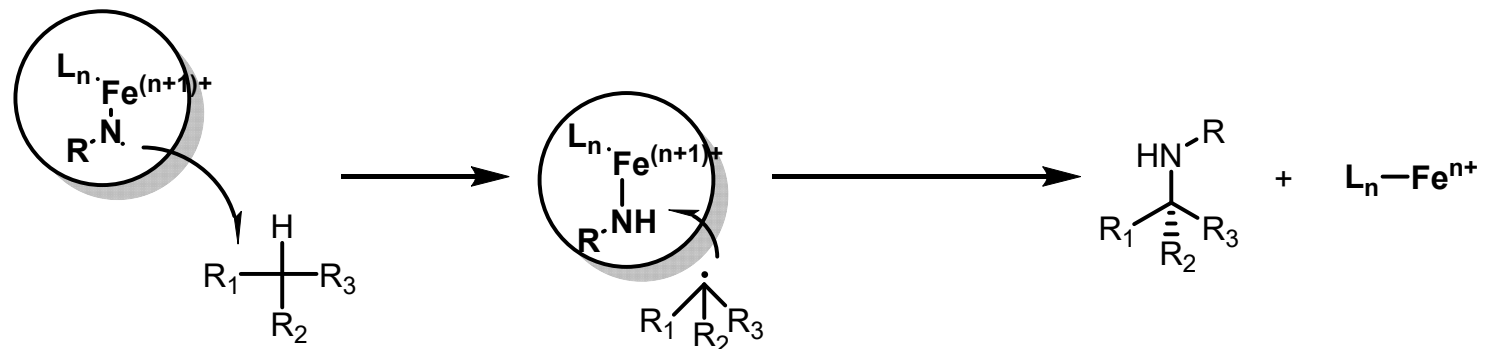
内球催化模式



外球催化模式



铁氮宾中间体





同濟大學  
TONGJI UNIVERSITY

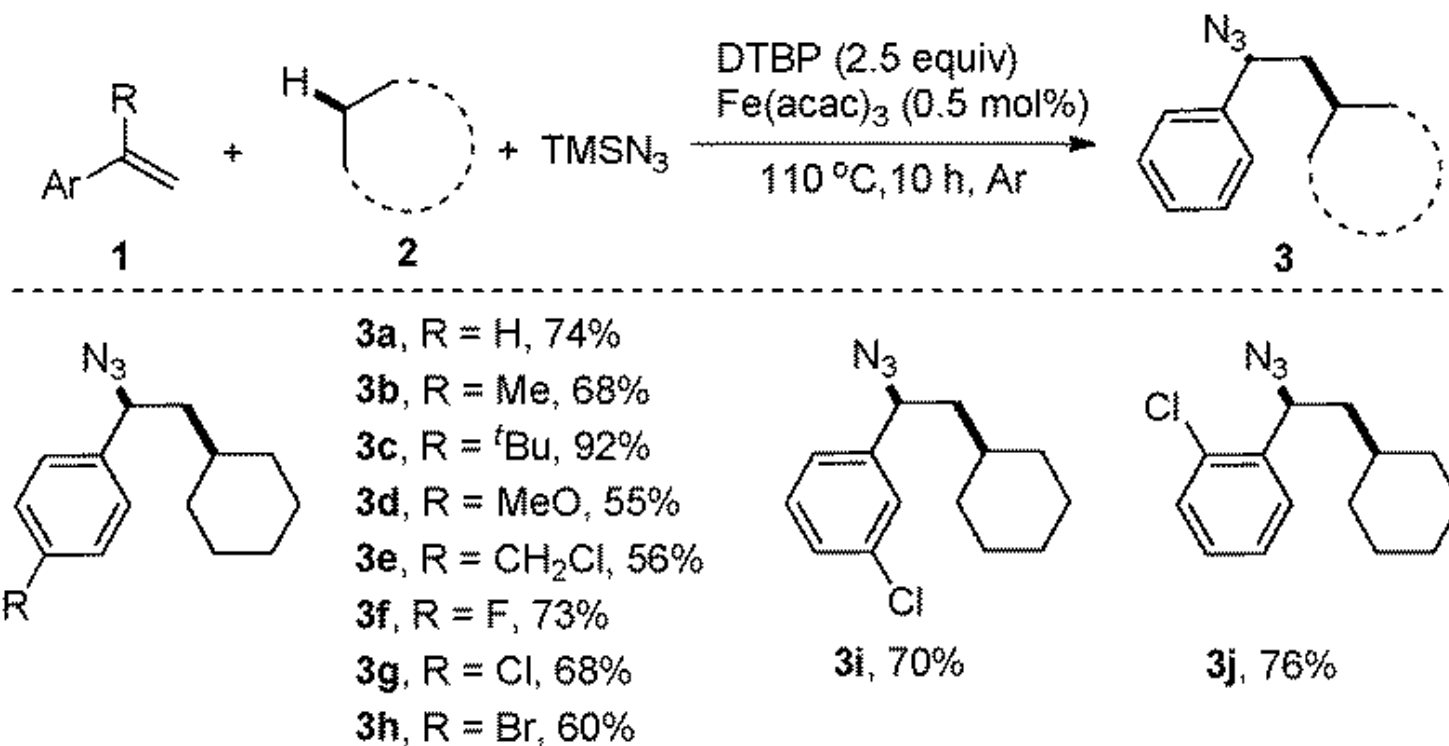
# Part 1

---

## 外球模式

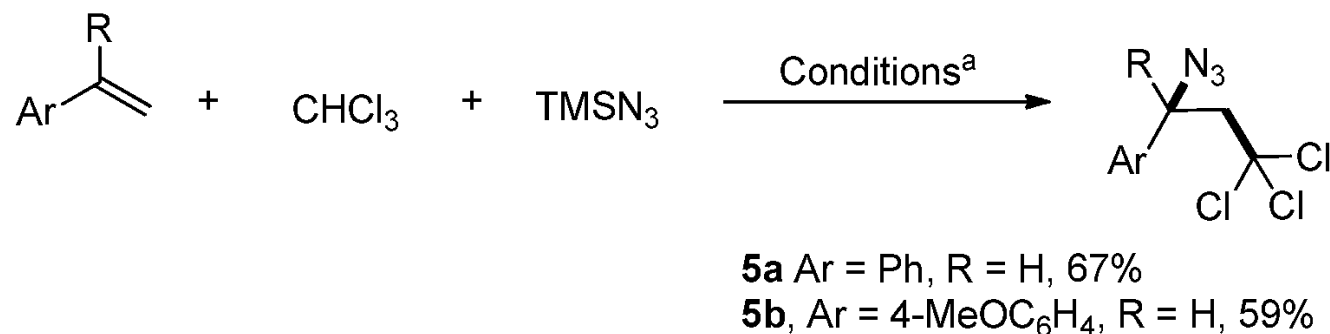
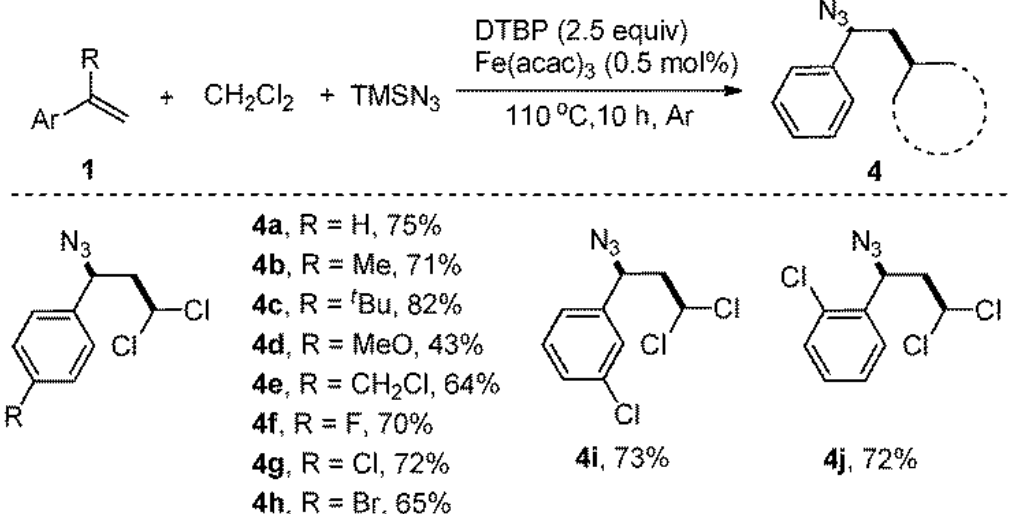
同舟共濟

# 外球模式:Fe催化烯烃/烷烃/TMSN<sub>3</sub>的三组分叠氮化





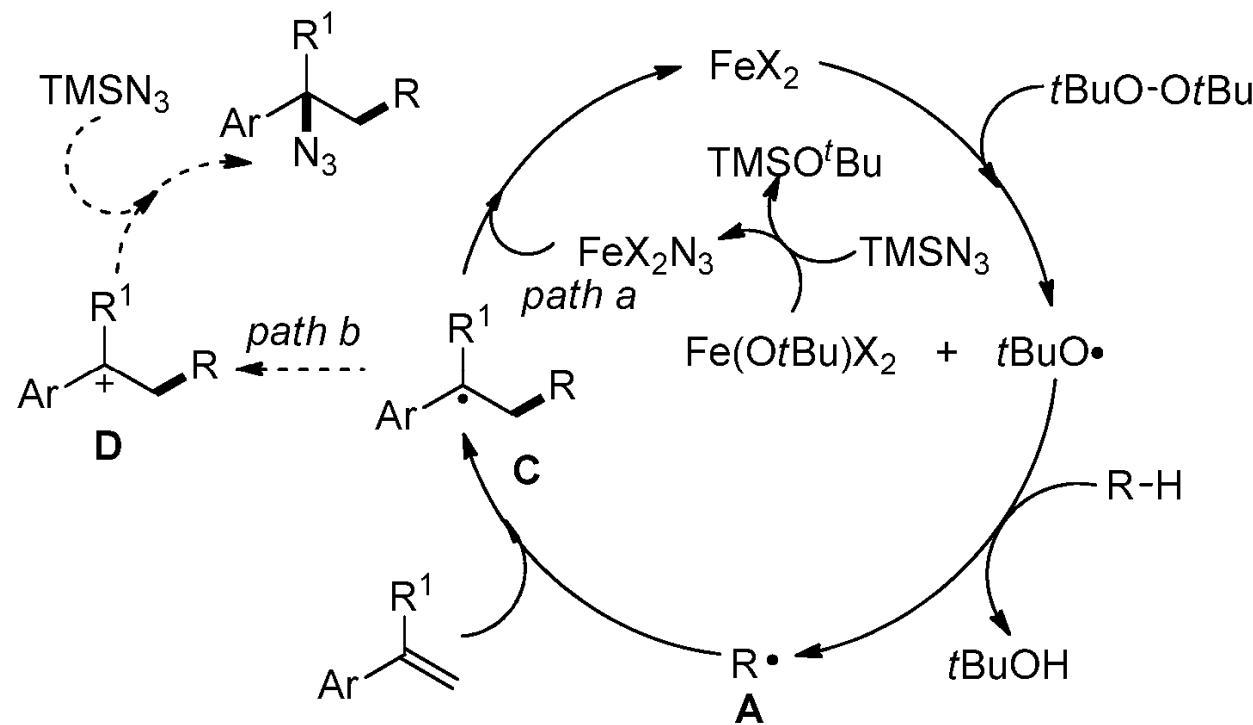
## 外球模式:Fe催化烯烃/烷烃/TMSN<sub>3</sub>的三组分叠氮化



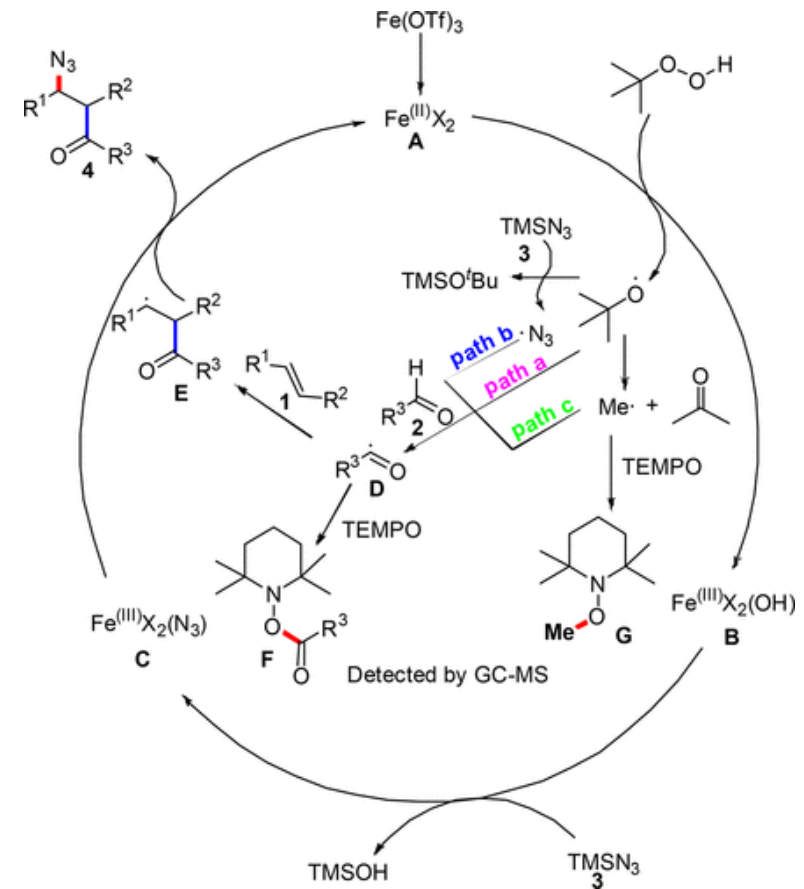
# 外球模式:Fe催化烯烃/烷烃/TMSN<sub>3</sub>的三组分叠氮化



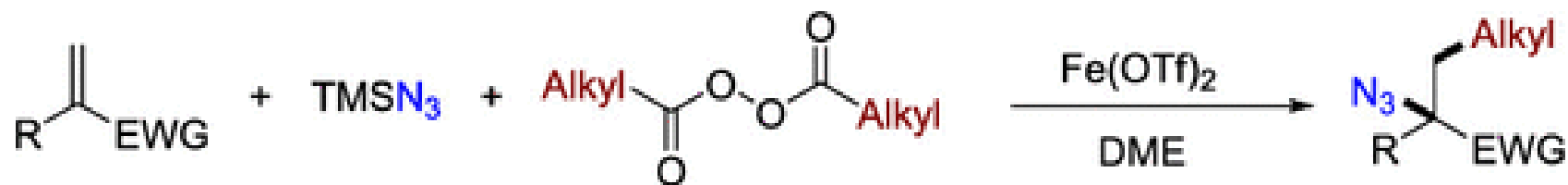
同濟大學  
TONGJI UNIVERSITY



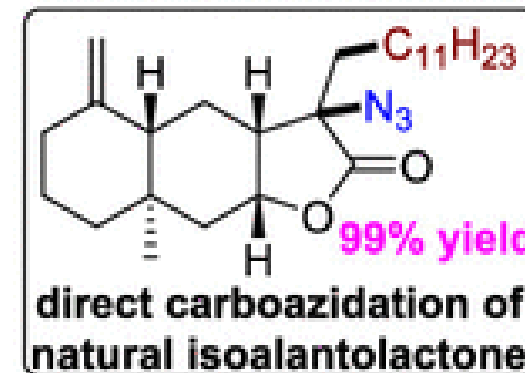
# 外球模式: Bao's work



# 外球模式: Bao's work

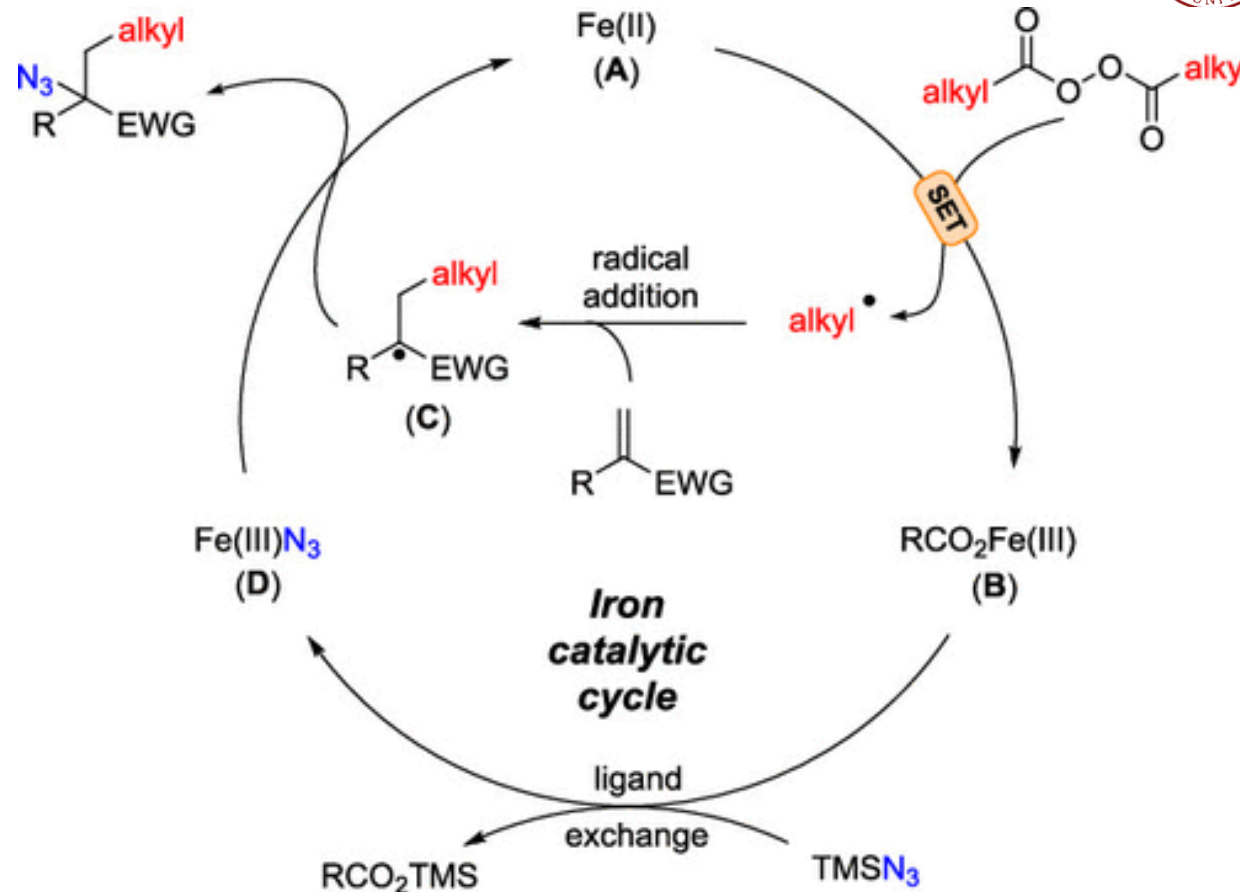


- Iron-catalyzed redox three-component reaction
- Mild reaction conditions
- Excellent functional group tolerance
- Good to excellent yields



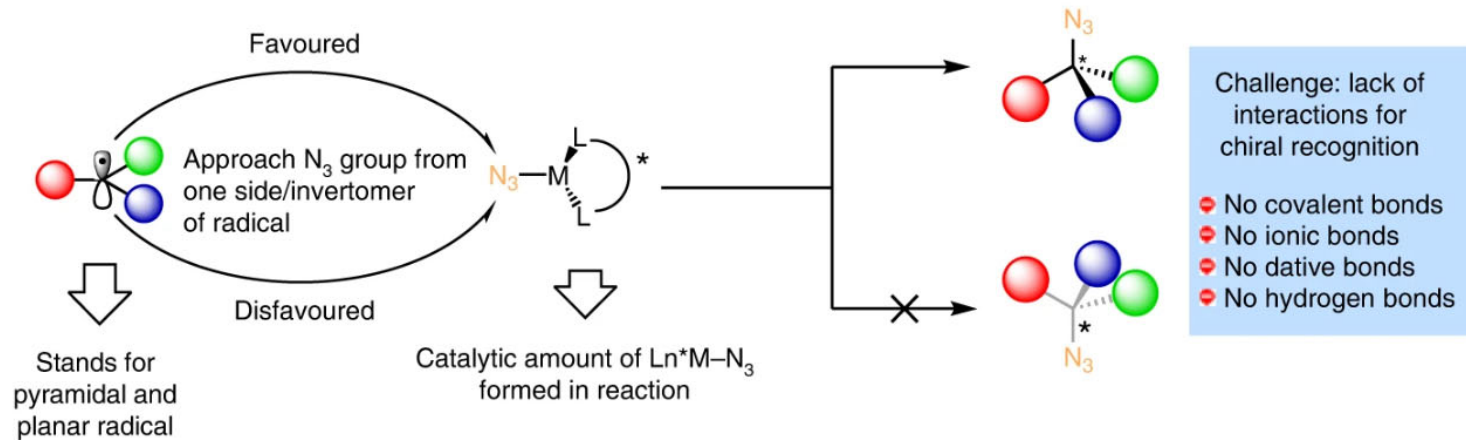


## 外球模式: Bao's work



# 外球模式: Bao's work

Enantioselective azidation on untethered radical centre

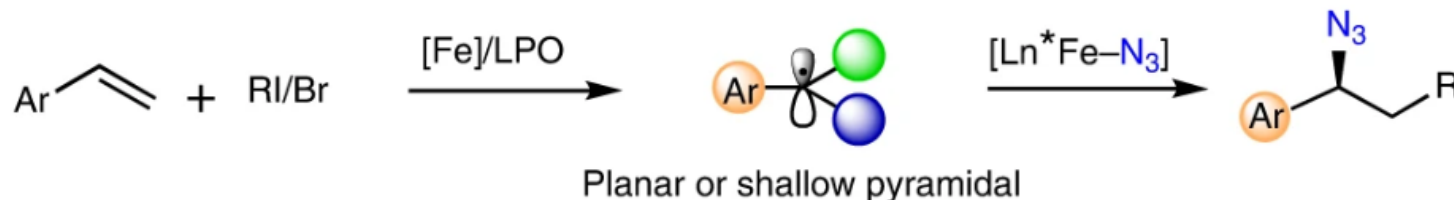


- ◆ 自由基物种无法通过共价、配位、离子、氢键等传统的中等/强相互作用控制立体结构。
- ◆ 自由基叠氮化反应速率非常快，因此需要快速在叠氮反应完成前识别手性，当催化剂和底物自由基物种之间没有相互作用时该过程更难以实现。

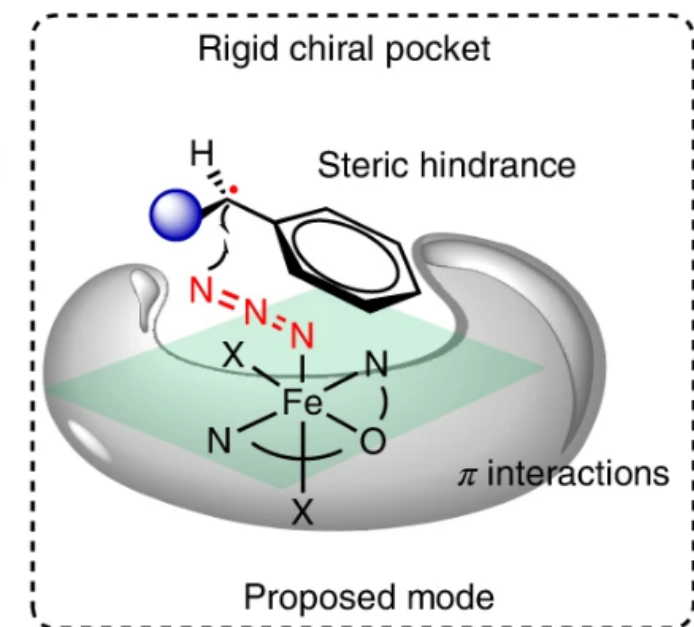
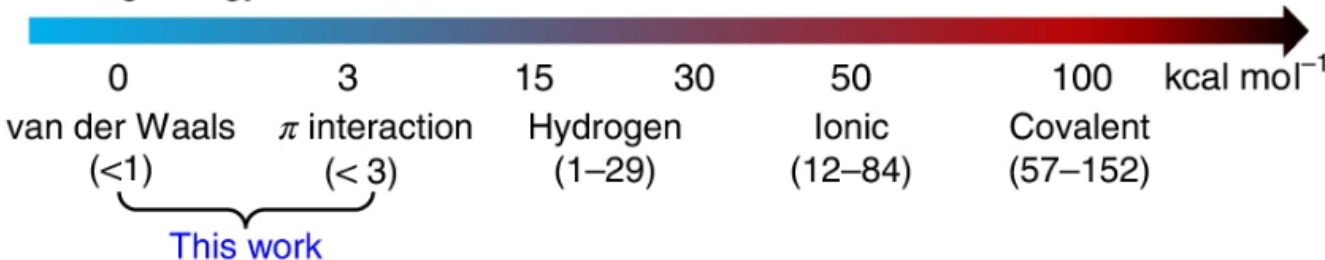


# 外球模式: Bao's work

This work: iron-catalysed asymmetric carboazidation via a group transfer pathway

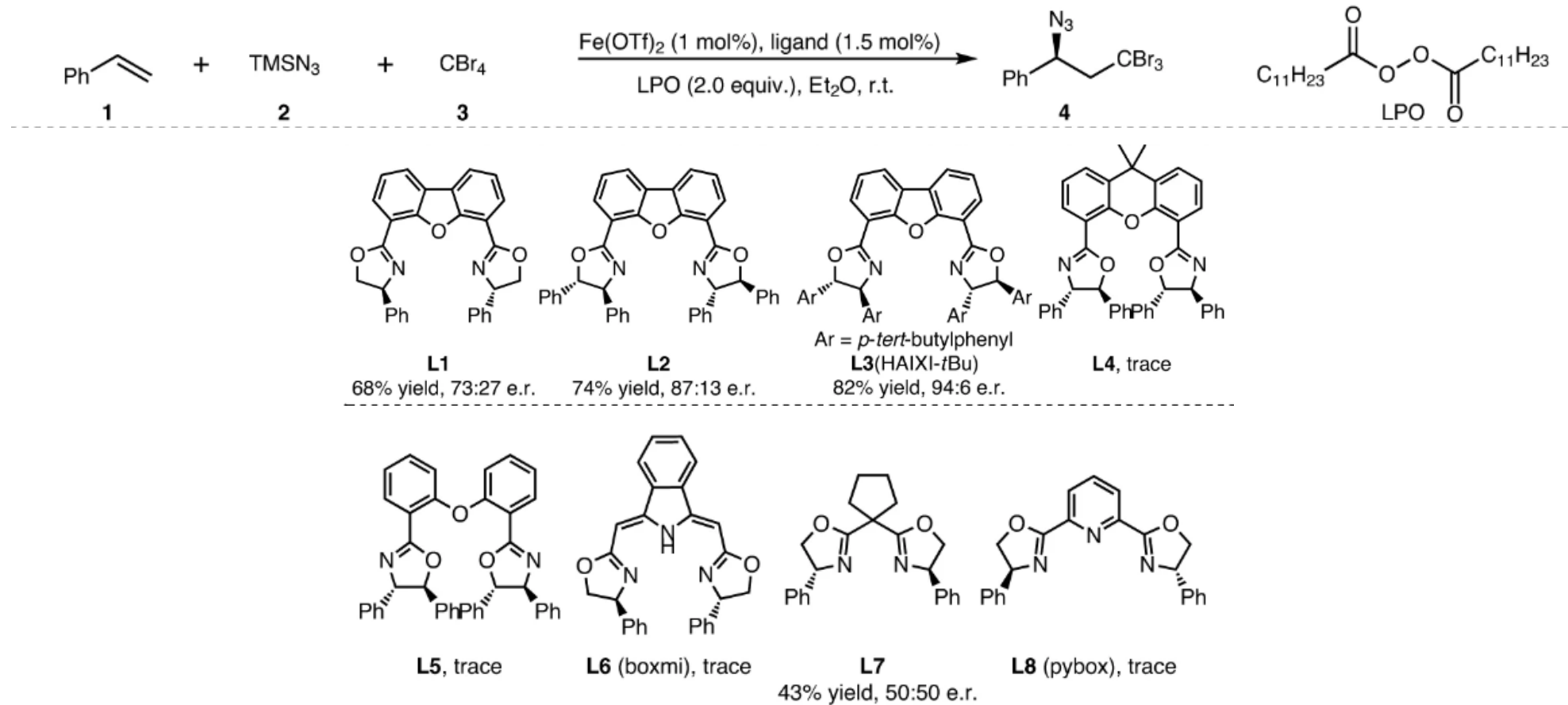


Bonding energy



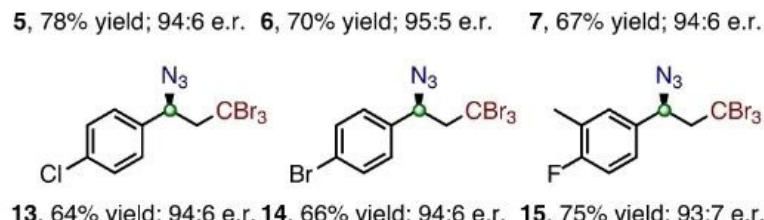
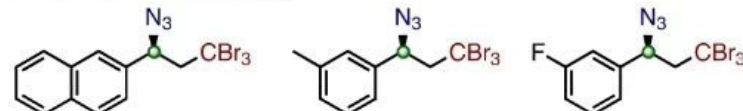
How does the chiral metal complex  ${}^*\text{LnMN}_3$  recognize the free radicals? By  $\pi$  and van der Waals interactions.

# 外球模式: Bao's work



# 外球模式: Bao's work

Alkene substrates with  $\text{CBr}_4$



Alkene substrates with  $^i\text{C}_3\text{F}_7\text{I}$



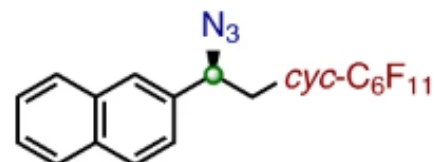


# 外球模式: Bao's work

Carbon functionalities: RBr or RI



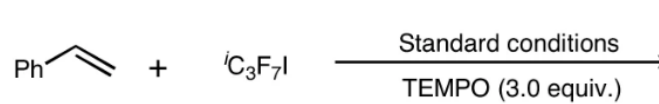
49, 41% yield; 90:10 e.r. 50, 60% yield; 91:9 e.r. 51, 77% yield; 92:8 e.r. 52, 63% yield; 91:9 e.r.



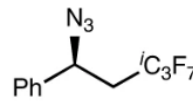
# 外球模式: Bao's work



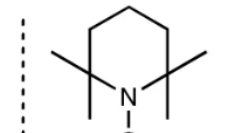
a



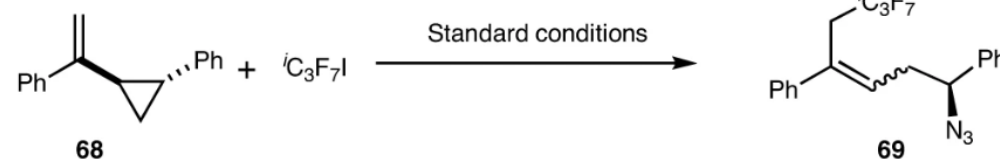
BHT instead of TEMPO, **26**, 37% yield



26, not observed

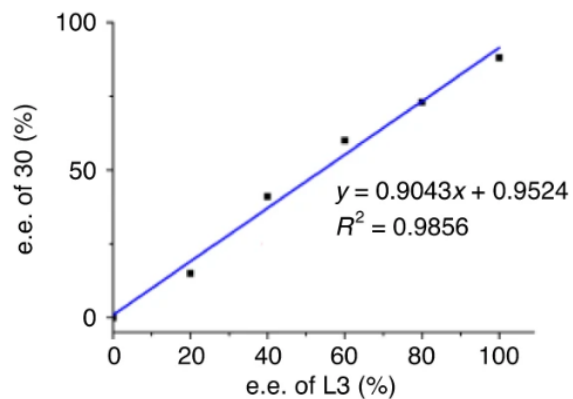


64%, based on LPC

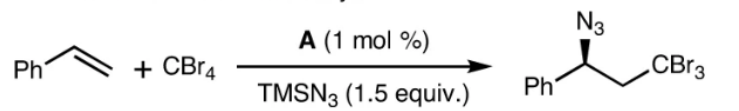


53% yield  
*trans:cis* 7.2:1  
 85:15 e.r. for *trans*

b



**C Reaction with A as catalyst**



4, 66% yield, 88:12 e.r.

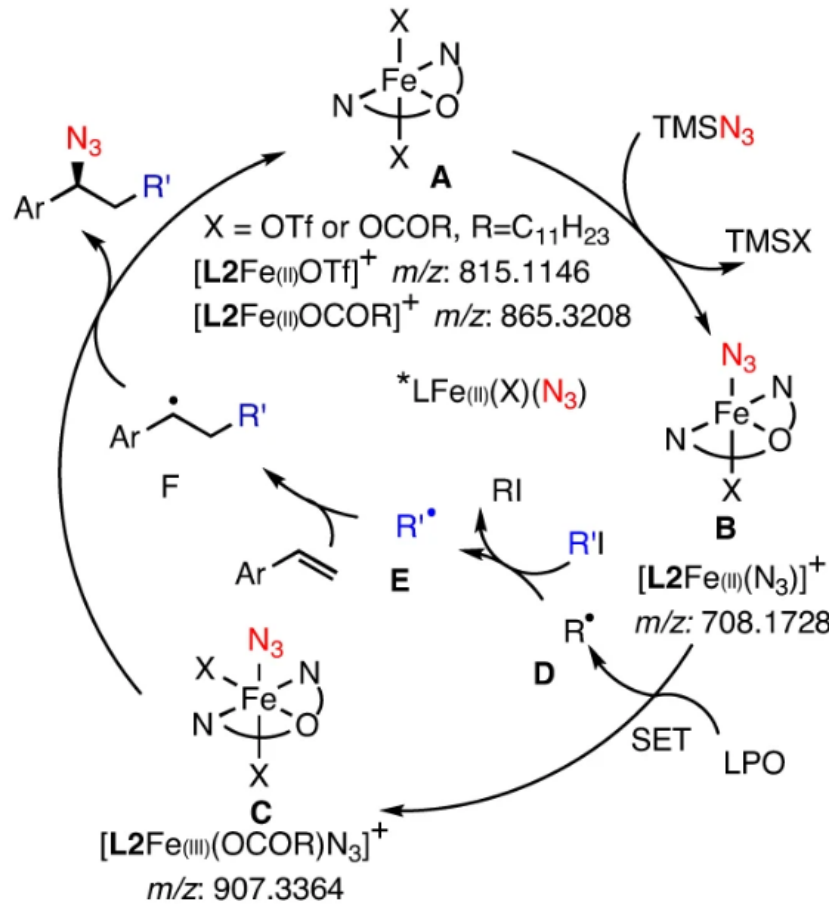
## Standard conditions

with L2

同舟共濟

Bao, H.-L. et al., *Nat. Catal.* **2021**, *4*, 28. 第 17 页

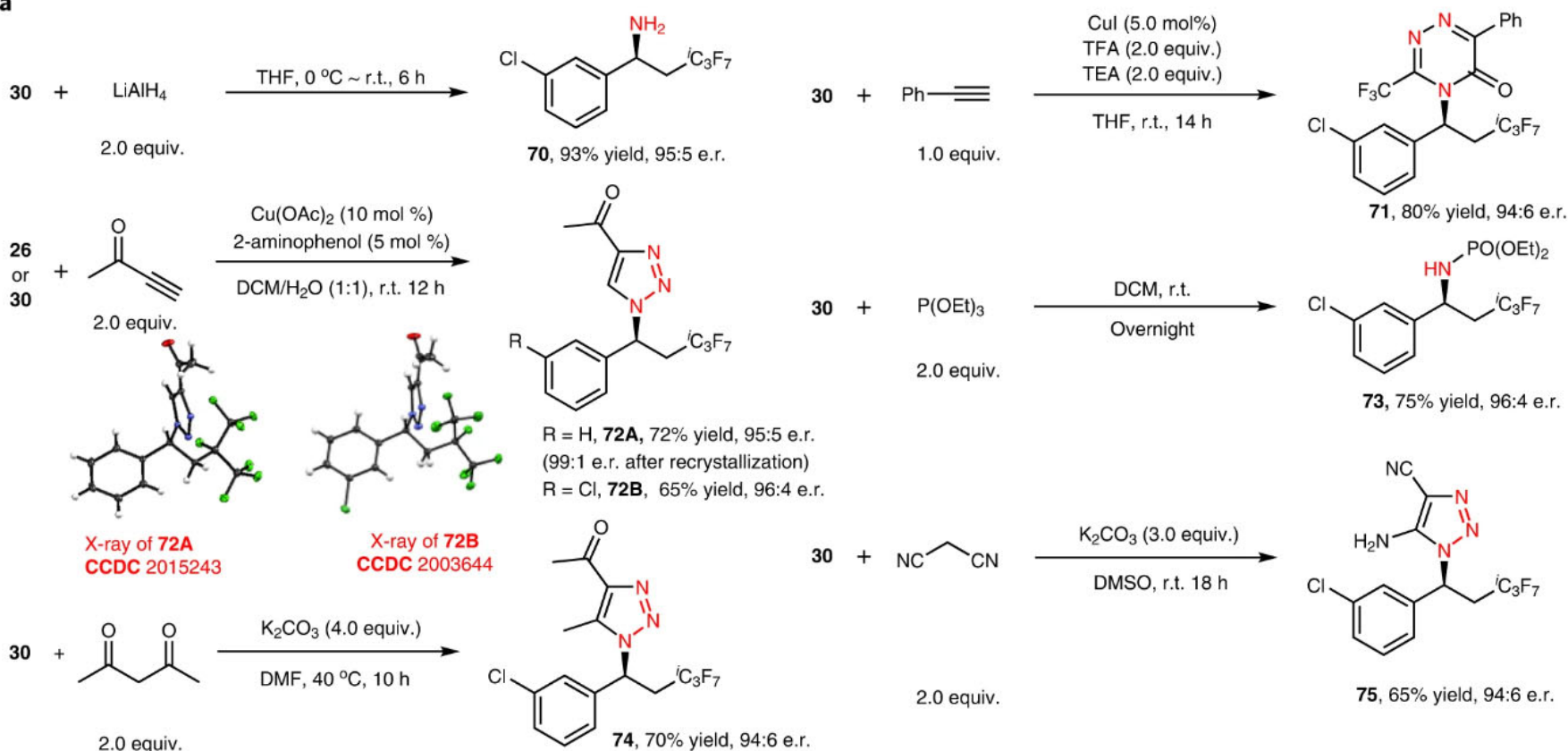
# 外球模式: Bao's work



## 外球模式: Bao's work



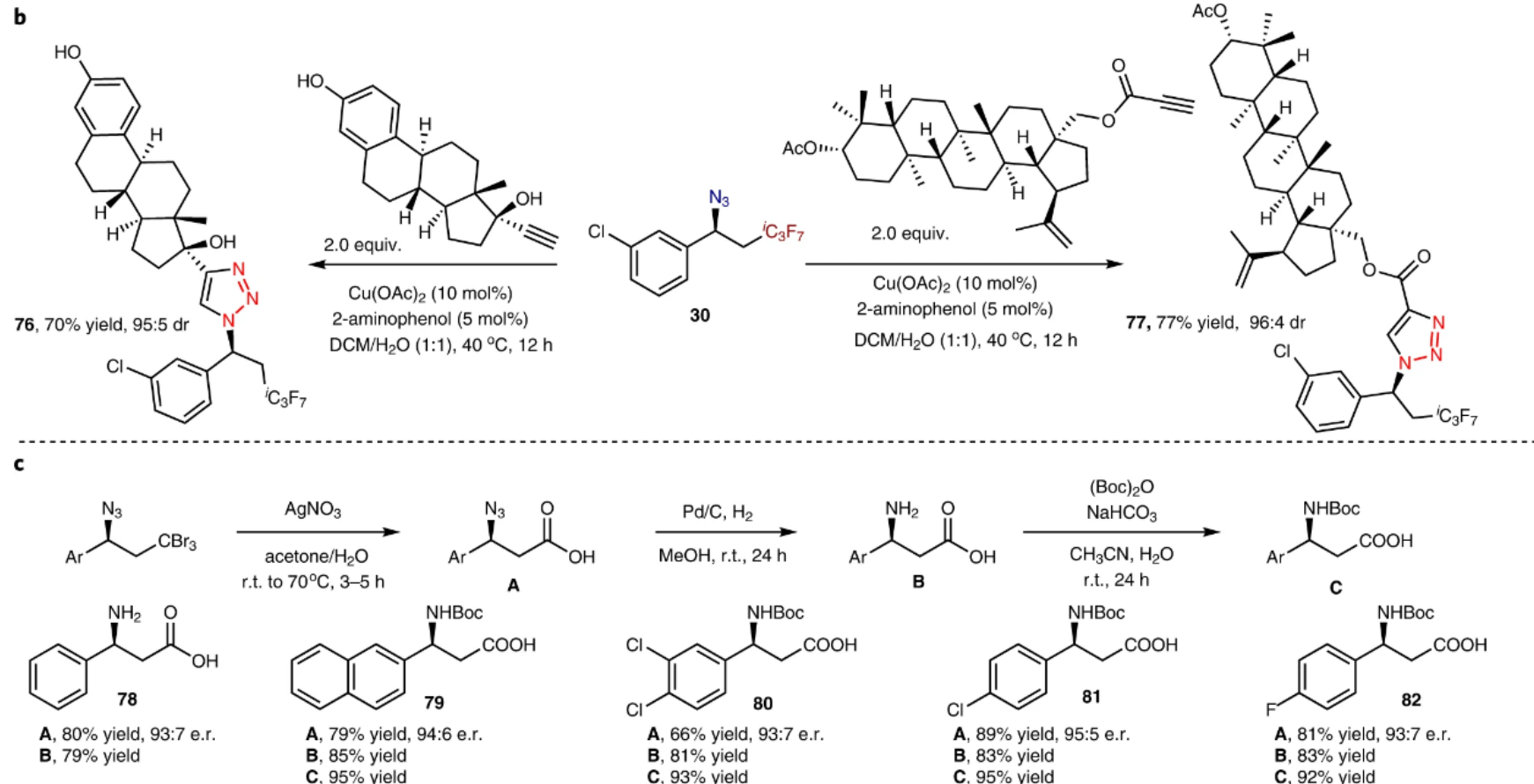
8



# 外球模式: Bao's work



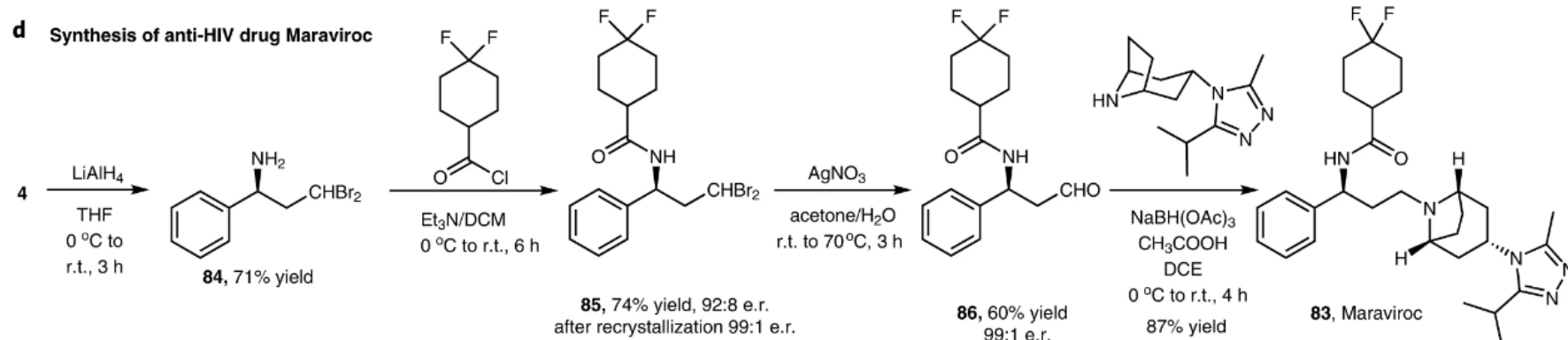
同濟大學  
TONGJI UNIVERSITY





# 外球模式: Bao's work

d Synthesis of anti-HIV drug Maraviroc



马拉韦罗

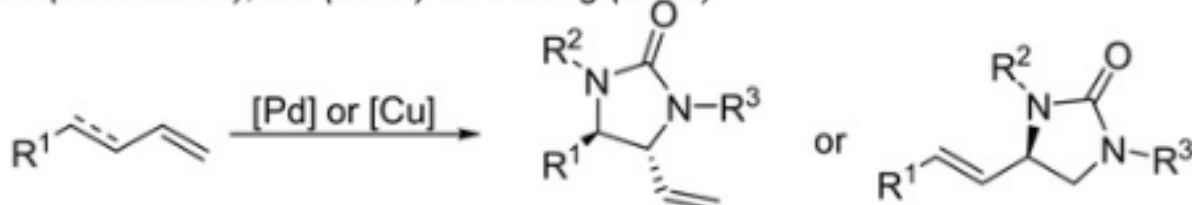
- 报道了经外球模式，自由基参与的铁催化烯烃的不对称碳叠氮化反应。
- 利用廉价的工业化学原料得到了有价值的手性卤代有机叠氮化物。
- 该自由基叠氮化反应得到了机理研究的支持，对后续的自由基不对称叠氮化反应有着良好的借鉴意义
- 反应有着良好的实用性，在产物的基础上，合成了一系列含氮化合物、氨基酸衍生物、天然产物衍生物以及抗HIV药物



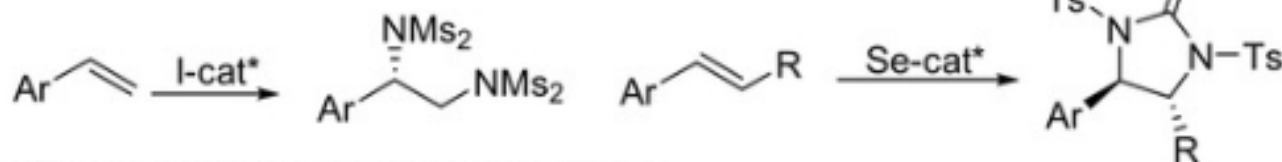
# 外球模式: Bao's work

(a) Enantioselective diamination of alkenes and dienes

Shi (2007-2008), Du (2010) and Gong (2015)



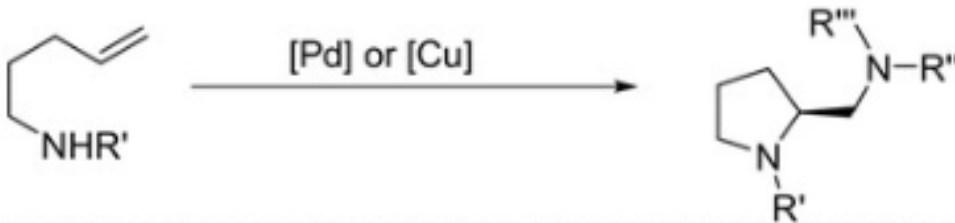
Muñiz (2017)



Denmark (2019)

(b) Enantioselective diamination of alkenes

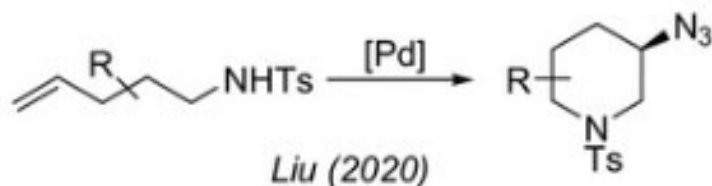
Michael (2013), Chemler (2010 and 2014), Zeng (2015), Liu (2017)



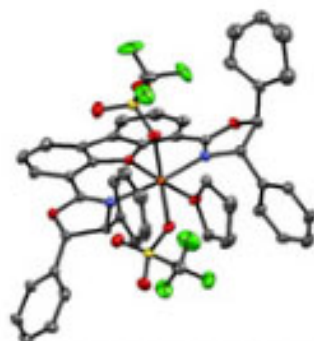
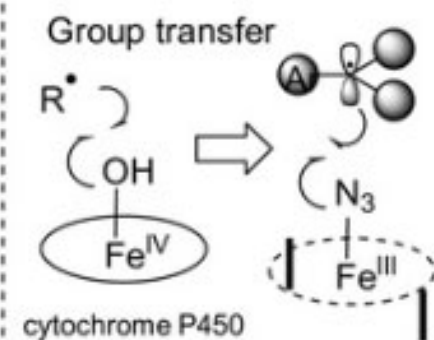
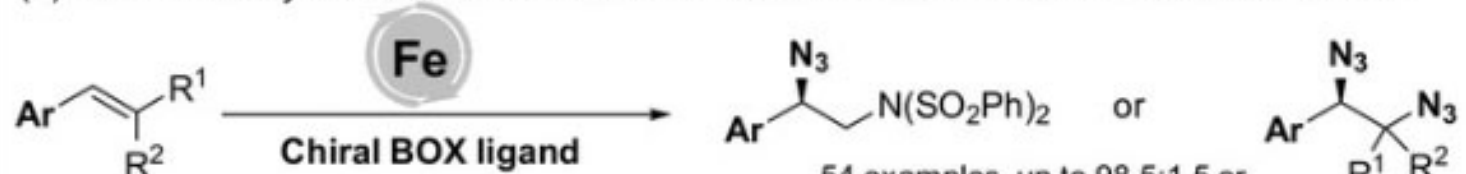


## 外球模式: Bao's work

(c) Enantioselective aminoazidation

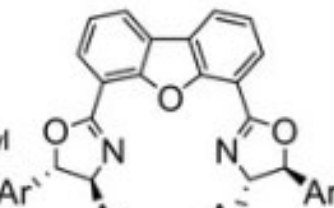


(d) This work: Asymmetric radical intermolecular aminoazidation and diazidation reaction

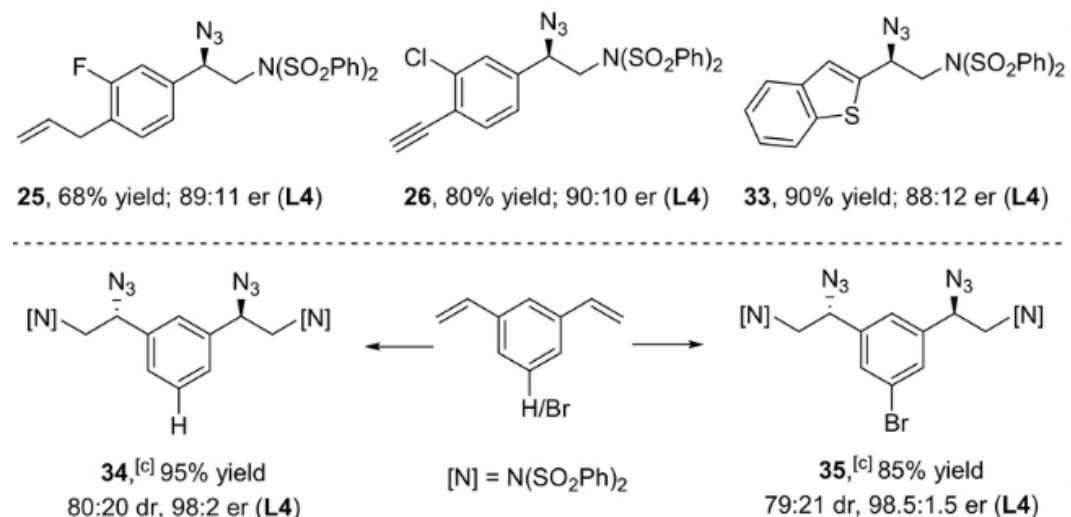
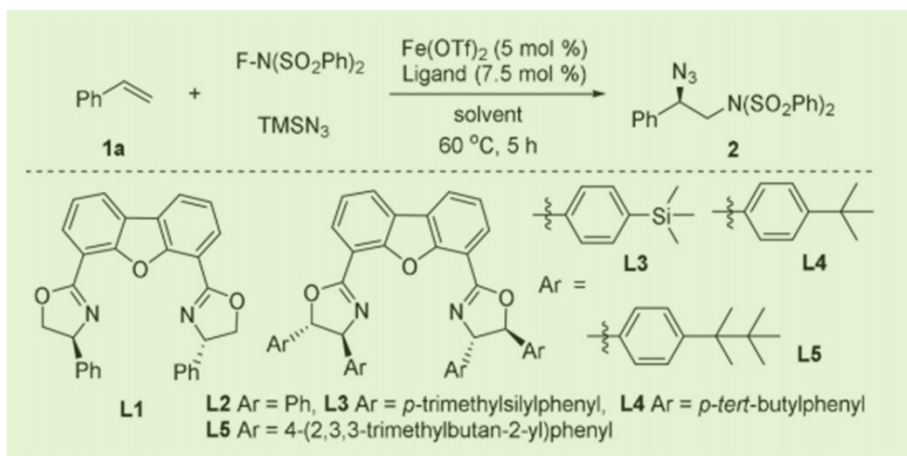


Challenges:

- Stereocontrol on an acyclic radical center
- Group transfer mechanism: Lack of efficient interactions between metal catalyst and radical
- Fast background azido group transfer step

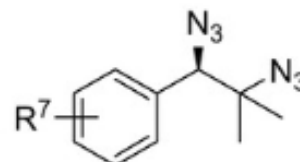


# 外球模式: Bao's work

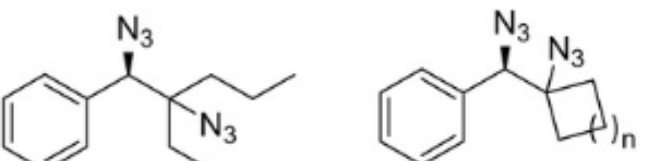
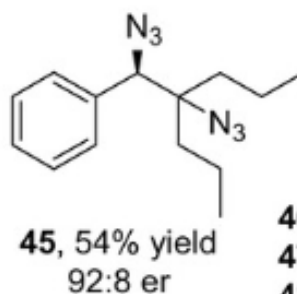


# 外球模式: Bao's work

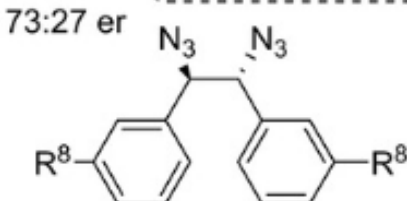
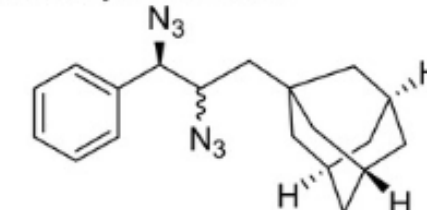
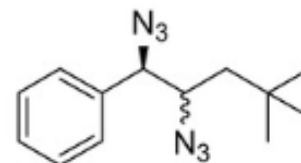
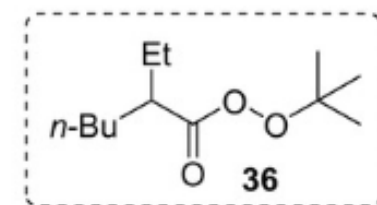
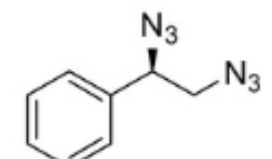
## Scope of diazidation with L4 as the ligand



- 37,  $R^7 = 3\text{-H}$ , 64% yield; 97:3 er
- 38,  $R^7 = 3\text{-CF}_3$ , 55% yield; 93:7 er
- 39,  $R^7 = 3\text{-Cl}$ , 58% yield; 97:3 er
- 40,  $R^7 = 3\text{-F}$ , 58% yield; 95:5 er
- 41,  $R^7 = 3\text{-Br}$ , 75% yield; 95:5 er
- 42,  $R^7 = 3\text{-CH}_3$ , 60% yield; 85:15 er
- 43,  $R^7 = 3,5\text{-diBr}$ , 55% yield; 88:12 er
- 44,  $R^7 = 3,4\text{-diCl}$ , 54% yield; 89:11 er



- 48,  $n = 3$ , 72% yield; 92:8 er
- 49,  $n = 5$ , 80% yield; 92:8 er

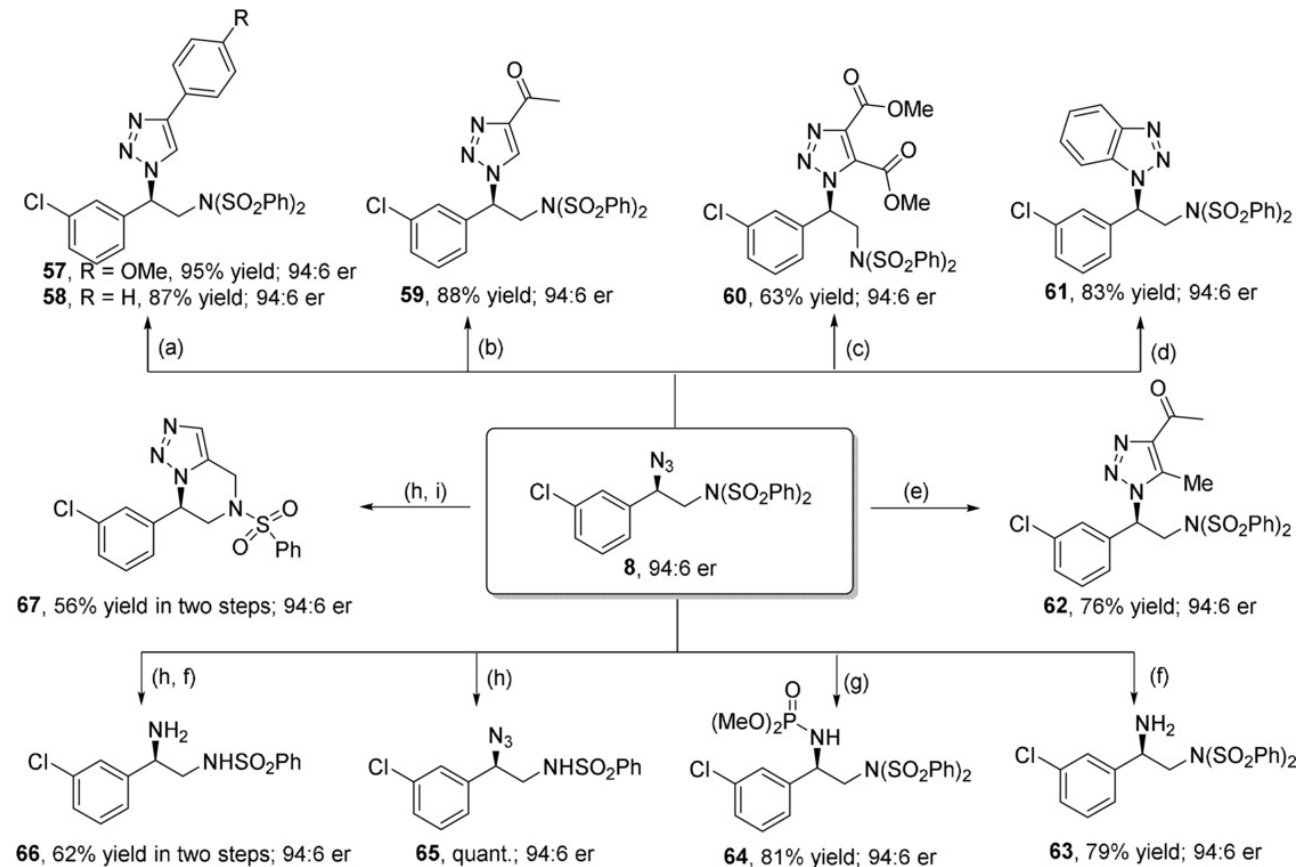


- 54,  $R^8 = F$ , dr 1.3:1 (chiral:meso),  
78% yield, 90:10 er
- 55,  $R^8 = Cl$ , dr 1:1 (chiral:meso),  
67% yield, 88:12 er
- 56, [d]  $R^8 = Br$ , dr 1:1.2 (chiral:meso),  
67% yield, 91:9 er

# 外球模式: Bao's work



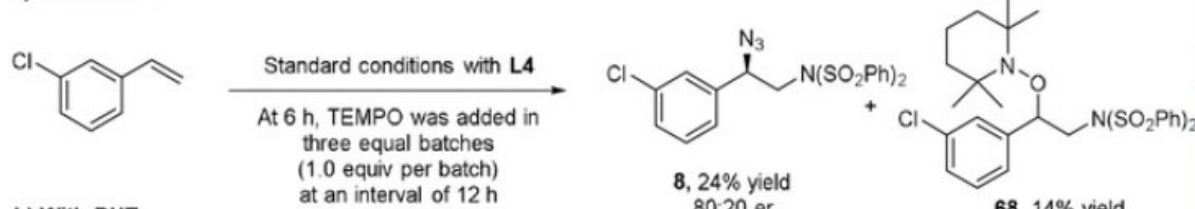
同濟大學  
TONGJI UNIVERSITY



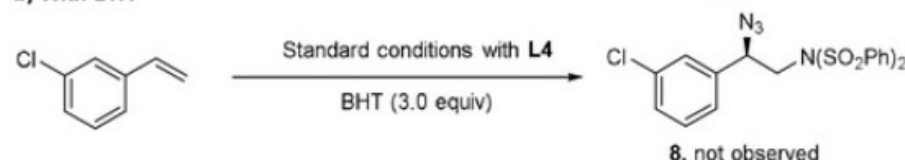


# 外球模式: Bao's work

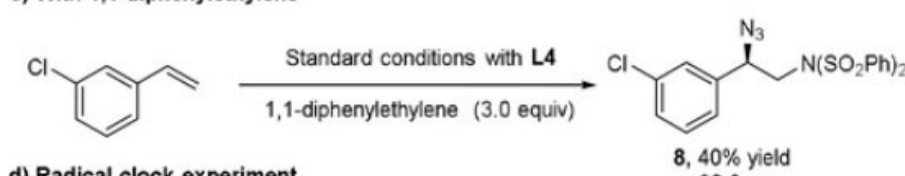
## a) With TEMPO



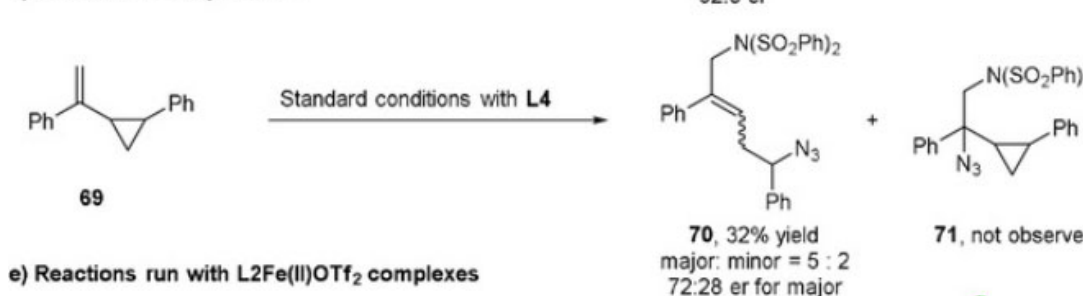
## b) With BHT



## c) With 1,1-diphenylethylene



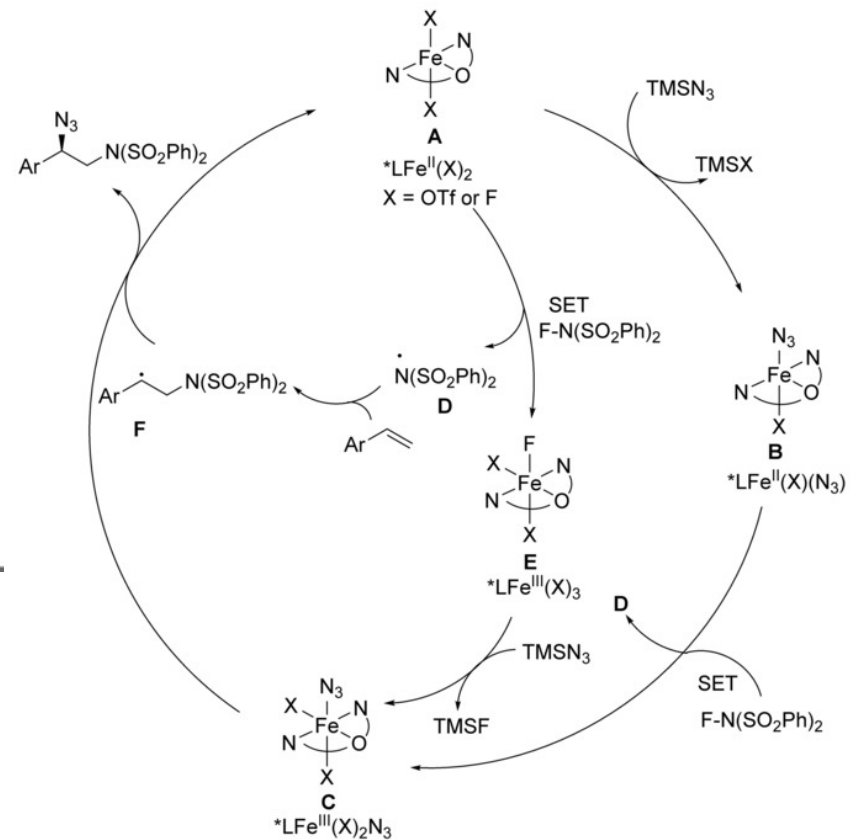
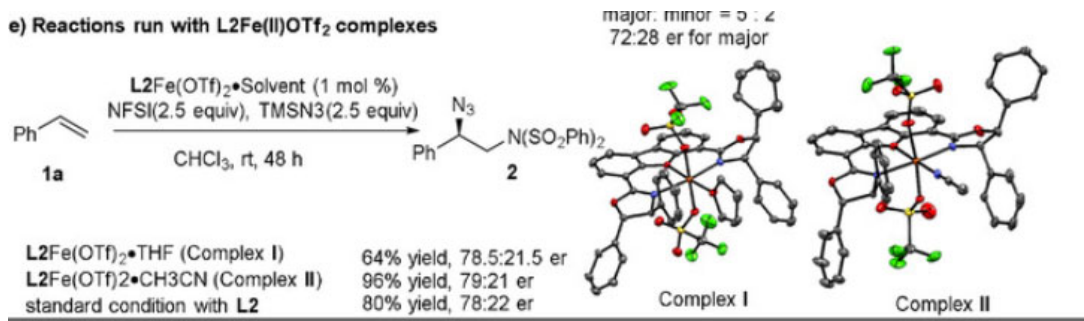
## d) Radical clock experiment



## e) Reactions run with L2Fe(II)OTf<sub>2</sub> complexes

# 外球模式: Bao's work

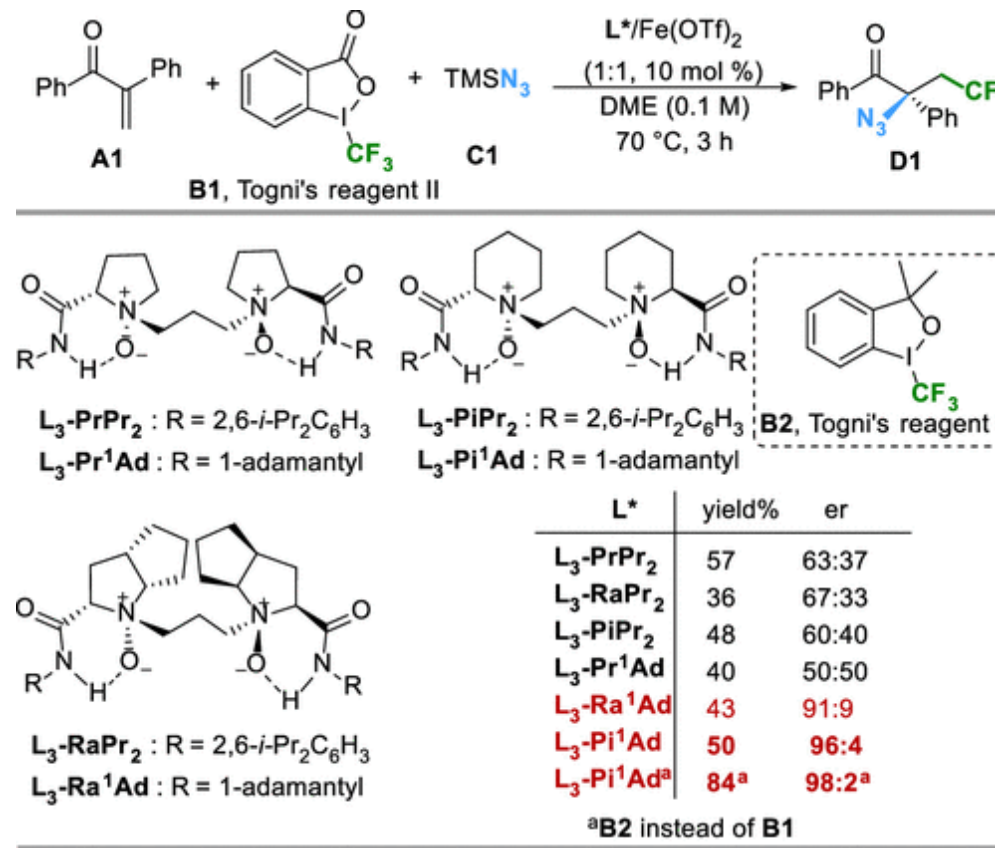
## e) Reactions run with L<sub>2</sub>Fe(II)OTf<sub>2</sub> complexes





# 外球模式: Feng's work

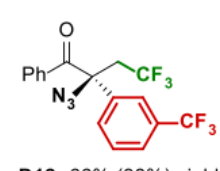
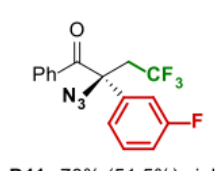
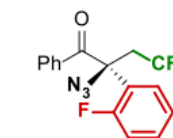
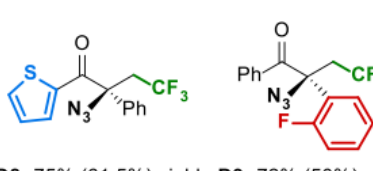
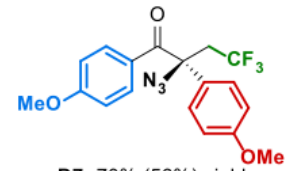
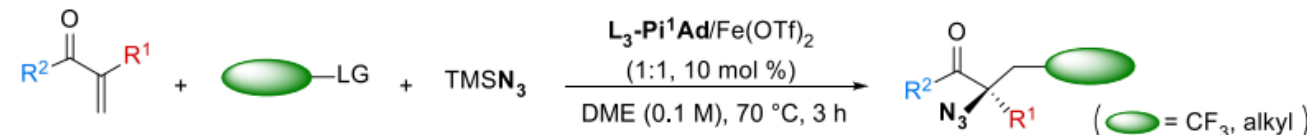
$\alpha,\beta$ -不饱和羰基化合物的不对称自由基碳叠氮化以及双叠氮化反应





# 外球模式: Feng's work

$\alpha,\beta$ -不饱和羰基化合物的不对称自由基碳叠氮化以及双叠氮化反应



D13, R = Me, 97.5:2.5 er  
83% (73.5%) yield  
D14, R = MeO, 97.5:2.5 er  
76% (61%) yield



D15, X = F  
D16, X = Cl  
D17, X = Br  
D18, X = I  
D19, R = Me  
D20, R = MeO  
D21, R = MeS  
D22, 90% (66%) yield  
98:2 er



D16, 70% (54%) yield  
97.5:2.5 er  
D17, 70% (53%) yield  
97.3 er  
D18, 74% (56%) yield  
96.4 er  
D19, R = Me  
D20, R = MeO  
D21, R = MeS  
D22, 90% (66%) yield  
98:2 er



D19, 87% (70.5%) yield  
97.5:2.5 er  
D20, 89% (76%) yield  
97.3 er  
D21, 77% (57%) yield  
98:2 er



D22, 90% (66%) yield  
98:2 er



D23, 53% (33%) yield  
96.5:3.5 er



D24, 75% (54%) yield  
97.5:2.5 er



D25, 35% (26%) yield  
70.5:29.5 er



D26, 88% (81%) yield  
96.5:3.5 er



D27, 94% (80%) yield  
97.5:2.5 er



D28, 90% (69%) yield  
88:12 er

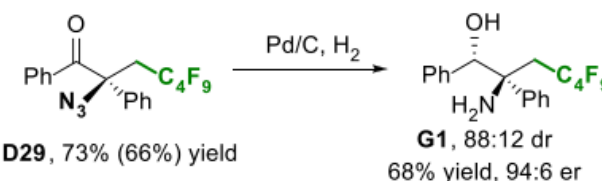


# 外球模式: Feng's work

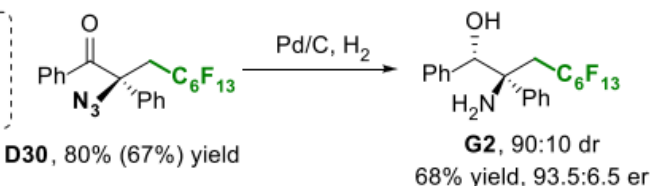
$\alpha,\beta$ -不饱和羰基化合物的不对称自由基碳叠氮化以及双叠氮化反应

Enone A1 with - I + LPO ( =  $-C_4F_9$  or  $-C_6F_{13}$ )

$C_4F_9I$   
B3

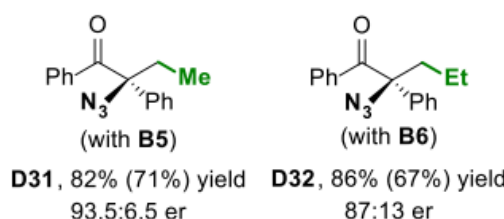


$C_6F_{13}I$   
B4

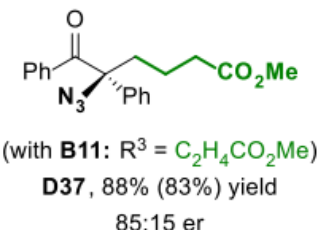
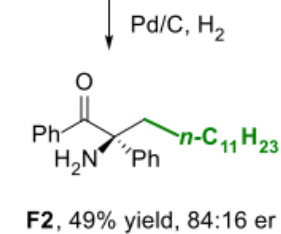
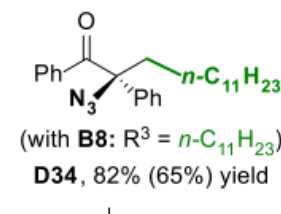
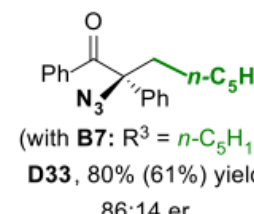


Enone A1 with alkyl peroxides ( = alkyl)

B5,  $R^3 = Me$ ;  
B6,  $R^3 = Et$ .



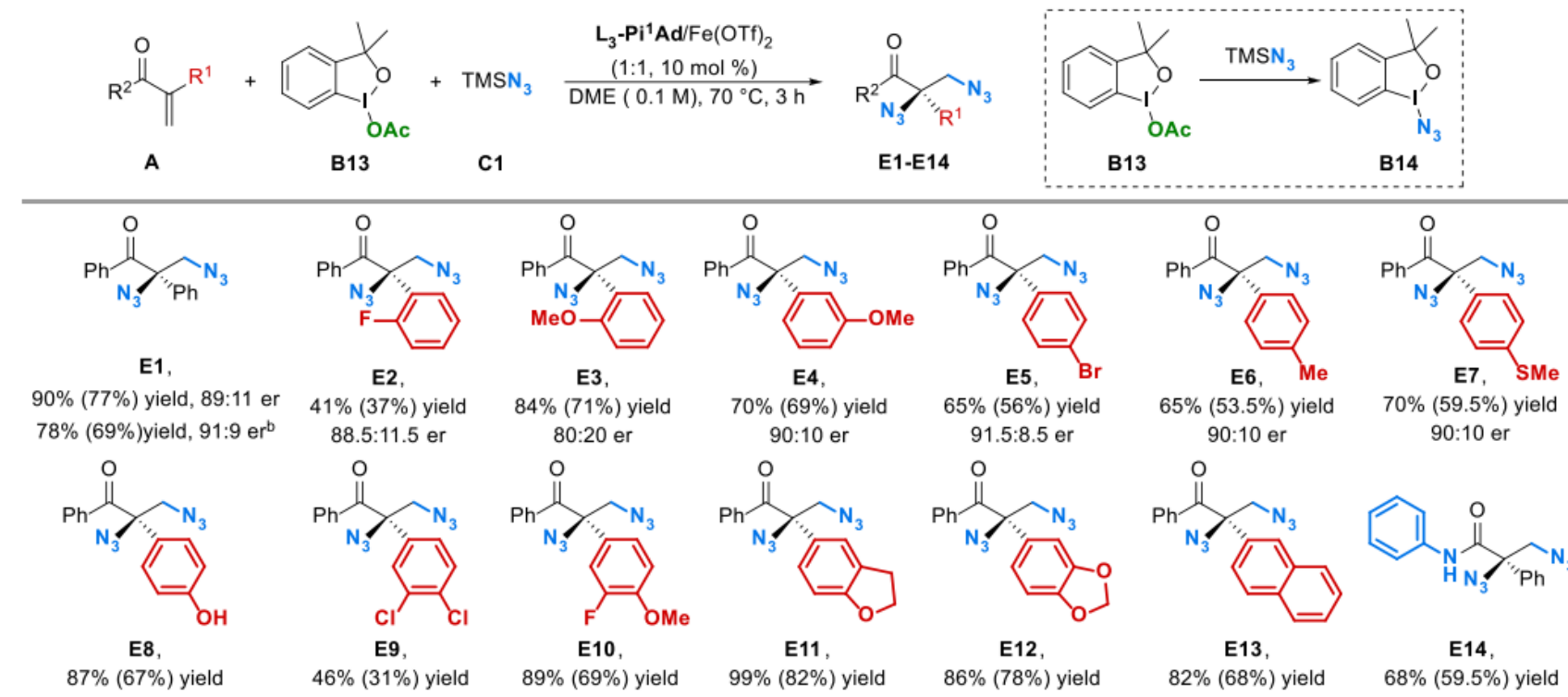
B7-B12,  $R^3 = alkyl$





# 外球模式: Feng's work

$\alpha,\beta$ -不饱和羰基化合物的不对称自由基碳叠氮化以及双叠氮化反应

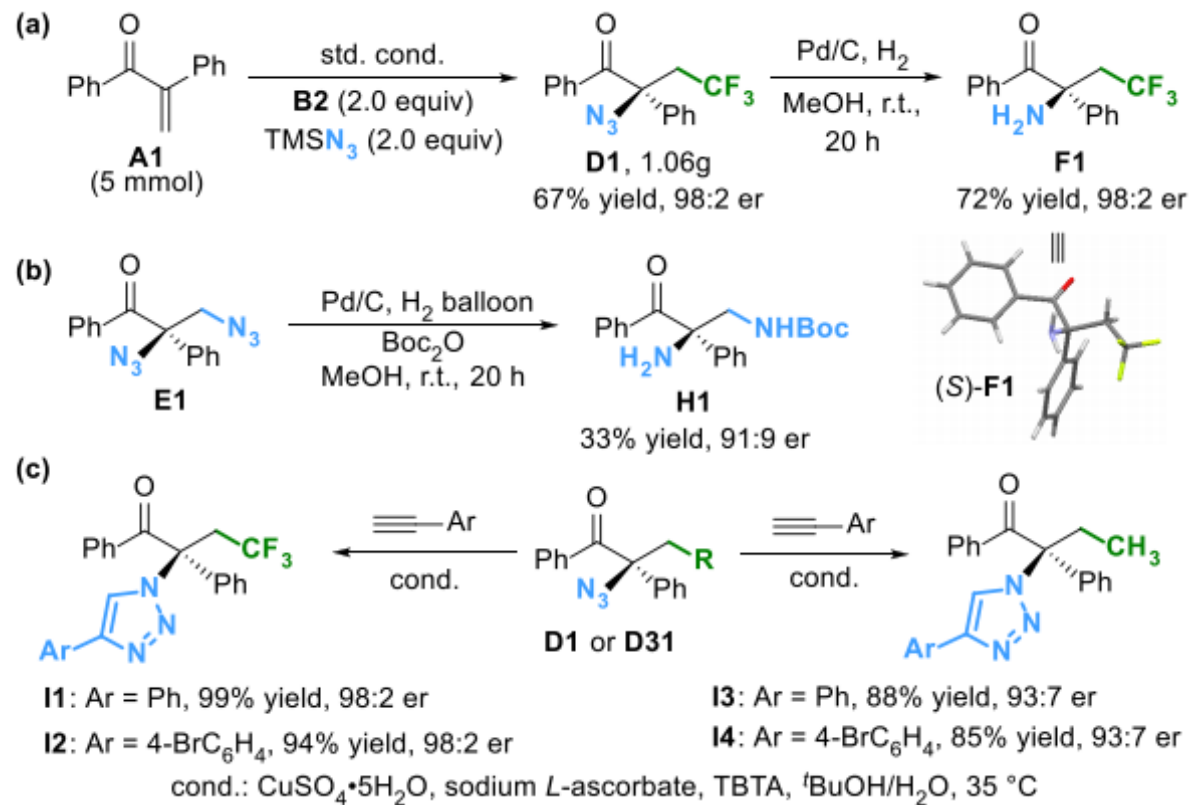


# 外球模式: Feng's work

$\alpha,\beta$ -不饱和羰基化合物的不对称自由基碳叠氮化以及双叠氮化反应



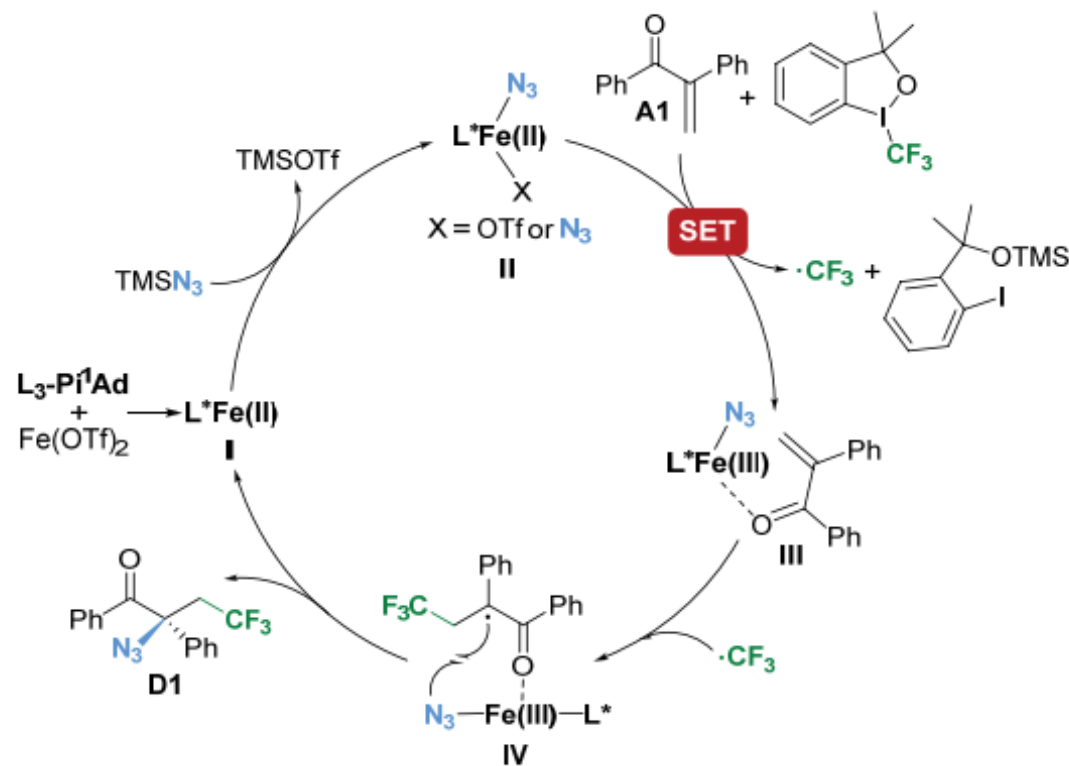
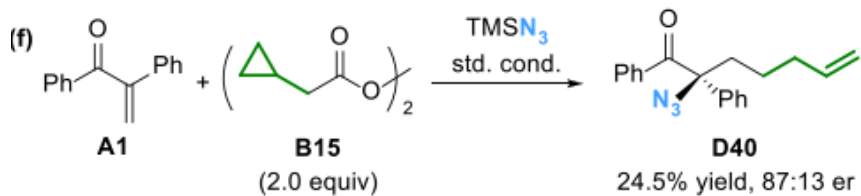
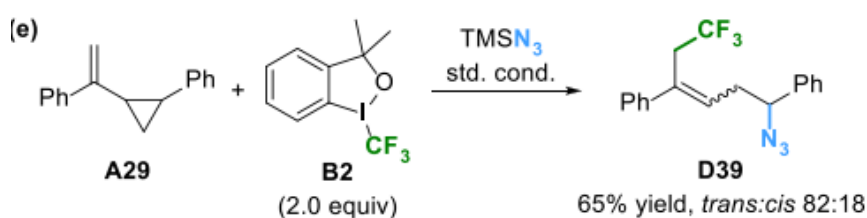
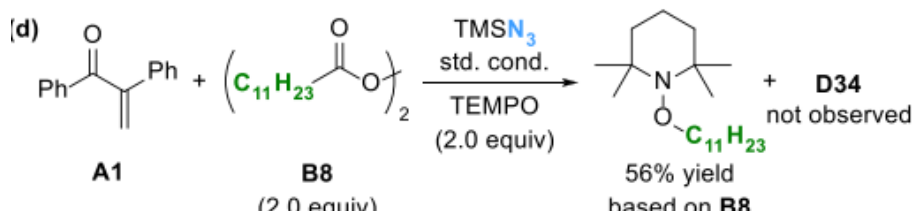
同濟大學  
TONGJI UNIVERSITY





# 外球模式: Feng's work

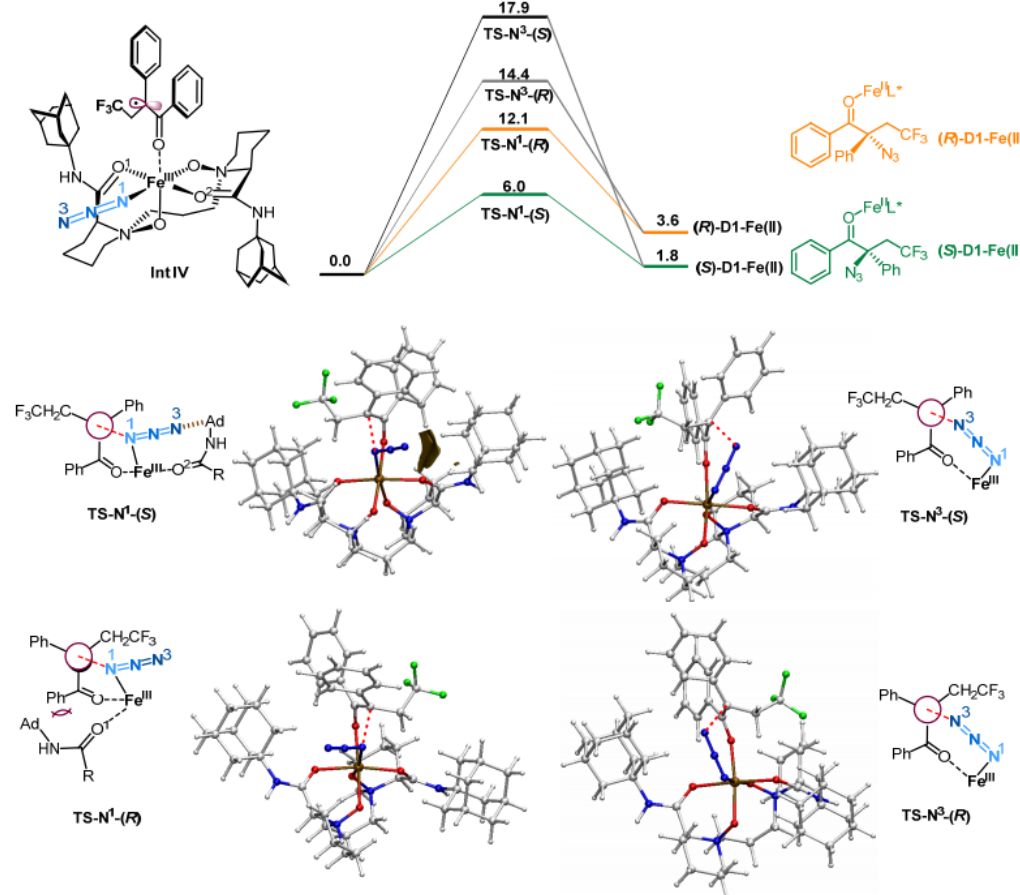
$\alpha,\beta$ -不饱和羰基化合物的不对称自由基碳叠氮化以及双叠氮化反应





# 外球模式: Feng's work

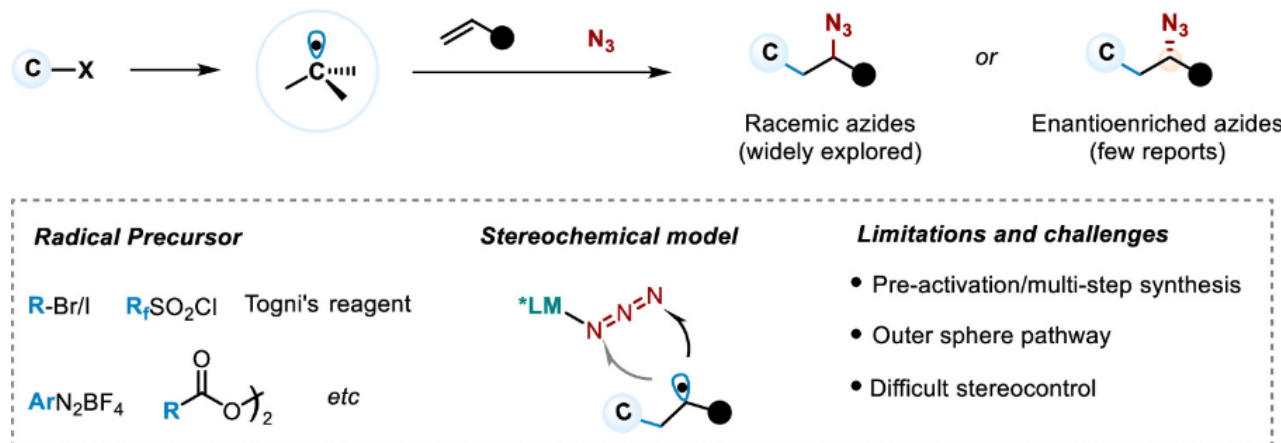
$\alpha,\beta$ -不饱和羰基化合物的不对称自由基碳叠氮化以及双叠氮化反应



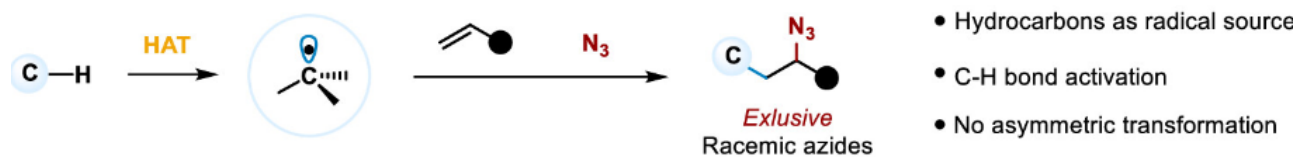
# 外球模式: Feng's work

直接活化脂肪族 C-H 键的不对称三组分自由基烯碳叠氮反应

A) General radical carboazidation of alkenes with preactivated C-centered radical precursors



B) The state of the art of radical carboazidation of alkenes with radicals via C-H activation



同濟大學  
TONGJI UNIVERSITY

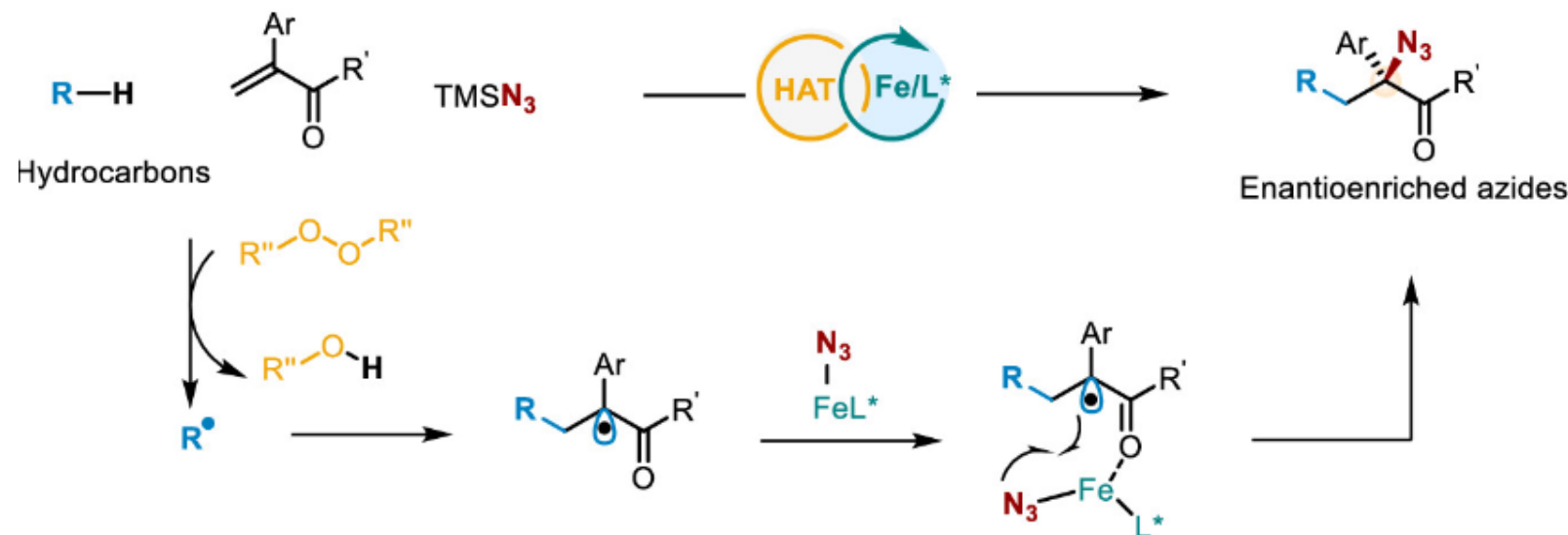
- 预先激活的自由基前体，如烷基卤化物、烷基碘酰氯化物或Togni试剂，是大量需要的，不可避免地导致额外的步骤，降低了整个过程的效率。
- 目前报道的方法主要局限于外消旋，因为催化不对称自由基碳氮化反应涉及外球途径，并且极难立体选择性地构建C-N<sub>3</sub>键



# 外球模式: Feng's work

直接活化脂肪族 C-H 键的不对称三组分自由基烯碳叠氮反应

C) This work: Iron-catalyzed asymmetric carboazidation of  $\alpha,\beta$ -enones via selective aliphatic C-H activation



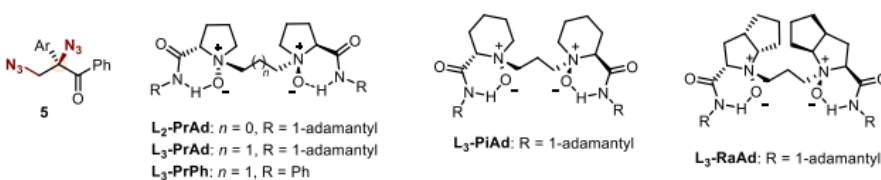
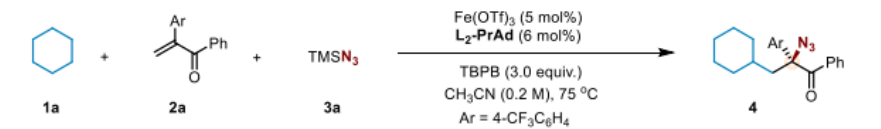
- Abundant hydrocarbons as feedstocks
- Primary, secondary, tertiary radicals

- Catalytic asymmetric radical carboazidation
- HAT catalysis merges chiral iron catalysis



# 外球模式: Feng's work

直接活化脂肪族 C-H 键的不对称三组分自由基烯碳叠氮反应



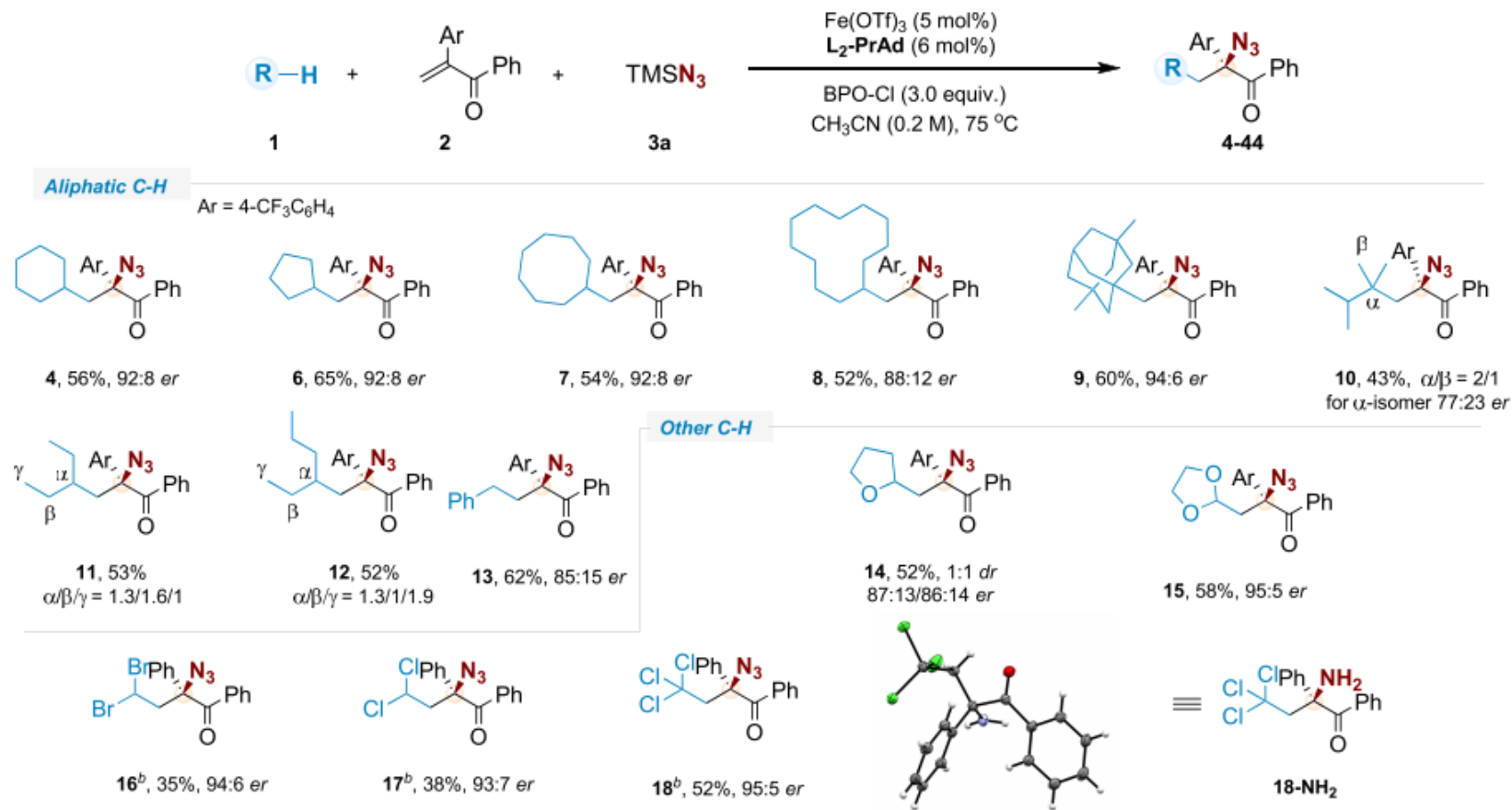
Entry	Deviation from above conditions	<b>4</b> (%)	<b>5</b> (%)	<i>er</i> of <b>4</b> (%)
1	None	58	31%	92:8
2	<b>L<sub>3</sub>-PrAd</b> was used	40	4%	73:57
3	<b>L<sub>3</sub>-PrPh</b> was used	54	33%	70:30
4	<b>L<sub>3</sub>-PiAd</b> was used	63	15%	79:21
5	<b>L<sub>3</sub>-RaAd</b> was used	54	17%	69:31
6	$\text{Fe}(\text{OTf})_2$ instead of $\text{Fe}(\text{OTf})_3$	46	17%	88:12
7	$\text{Fe}(\text{OAc})_2$ instead of $\text{Fe}(\text{OTf})_3$	5	trace	50:50
8	$\text{FeCl}_2$ instead of $\text{Fe}(\text{OTf})_3$	18	trace	50:50
9	DTBP instead of TBPB	5	trace	88:12
10	LPO instead of TBPB	ND	trace	ND
11	BPO-Cl instead of TBPB	64	20%	92:8
12 <sup>b</sup>	Without $\text{Fe}(\text{OTf})_3$	trace	trace	50:50
13 <sup>b</sup>	Without <b>L<sub>2</sub>-PrAd</b>	37%	47%	50:50

DTBP      LPO      BPO-Cl



# 外球模式: Feng's work

直接活化脂肪族 C-H 键的不对称三组分自由基烯碳叠氮反应



# 外球模式: Feng's work

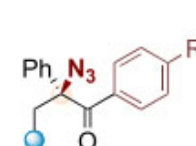
直接活化脂肪族 C-H 键的不对称三组分自由基烯碳叠氮反应



## $\alpha,\beta$ -Unsaturated ketones



- 19, R = H, 53%, 92:8 er  
20, R = 4-Me, 56%, 87:13 er  
21, R = 3-F, 56%, 92:8 er  
22, R = 2,3-F<sub>2</sub>, 64%, 90:10 er



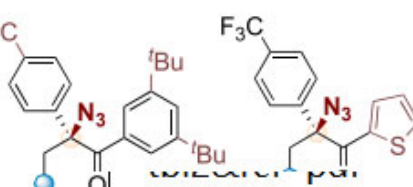
- 23, R' = F, 63%, 92:8 er  
24, R' = CF<sub>3</sub>, 58%, 92:8 er  
25, R' = OMe, 44%, 92:8 er  
26, R' = Cl, 50%, 90:10 er



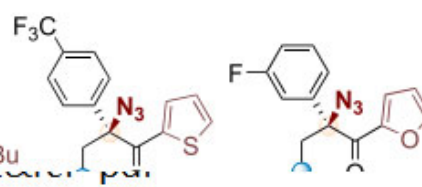
27, 54%, 90:10 er



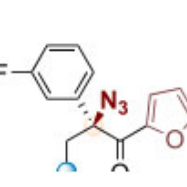
28, 57%, 90:10 er



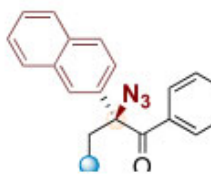
29, 56%, 93:7 er



30, 52%, 90:10 er

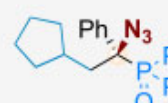


31, 46%, 91:9 er

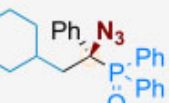


32, 54%, 90:10 er

## $\alpha,\beta$ -Unsaturated phosphine oxides and amide



33, 54%, 85:15 er



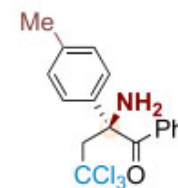
34, 56%, 88:12 er



35, 45%, 85:15 er



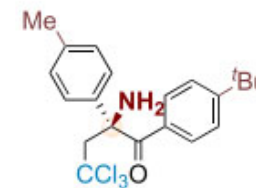
- 36<sup>b</sup>, Ar = 4-Me, 49%, 94:6 er  
37<sup>b</sup>, Ar = 4-OMe, 51%, 90:10 er  
38<sup>b</sup>, Ar = 4-tBu, 52%, 93:7 er  
39<sup>b</sup>, Ar = 4-F, 45%, 93:7 er  
40<sup>b</sup>, Ar = 3,5-Me<sub>2</sub>-4-OMe, 52%, 94:6 er



41<sup>b</sup>, 50%, 94:6 er



42<sup>b</sup>, 57%, 92:8 er



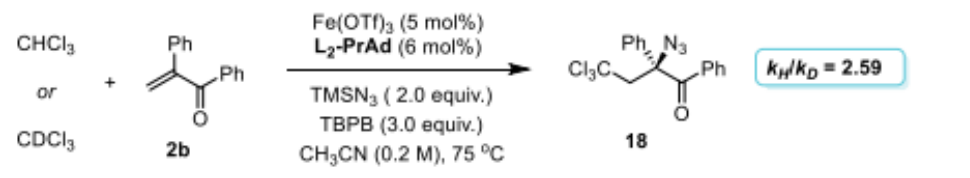
43<sup>b</sup>, 57%, 92:8 er



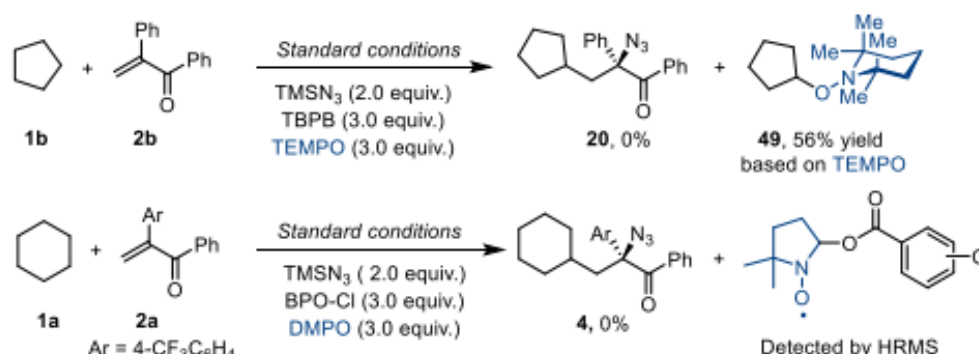
# 外球模式: Feng's work

直接活化脂肪族 C-H 键的不对称三组分自由基烯碳叠氮反应

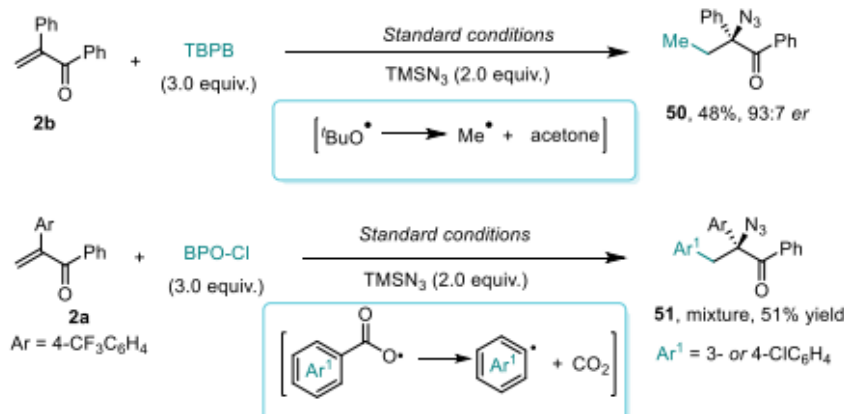
## A) Kinetic isotope effect experiment



## B) Radical trap experiment



## C) Control experiment without C-H-bearing partners



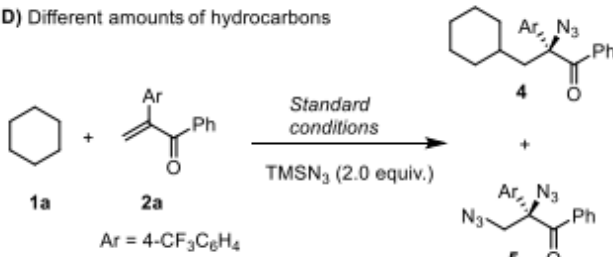
# 外球模式: Feng's work

直接活化脂肪族 C-H 键的不对称三组分自由基烯碳叠氮反应



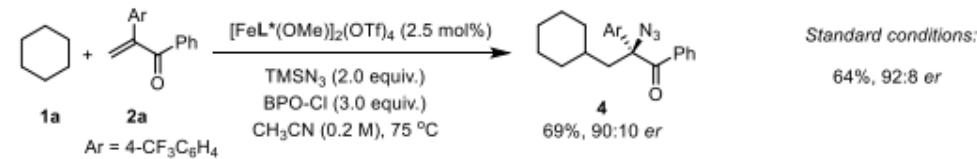
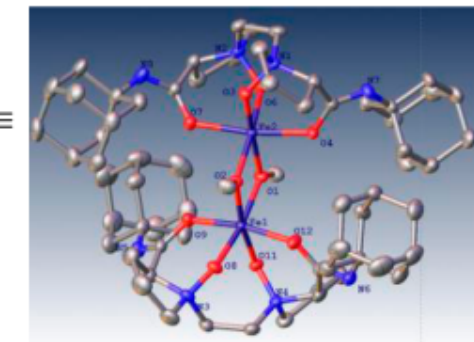
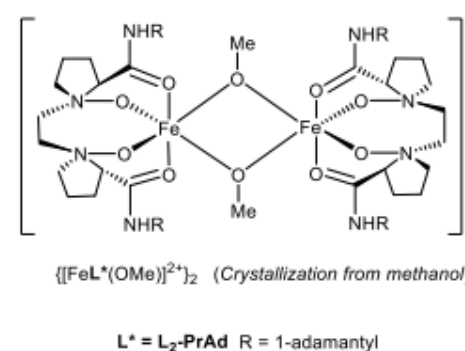
同濟大學  
TONGJI UNIVERSITY

D) Different amounts of hydrocarbons



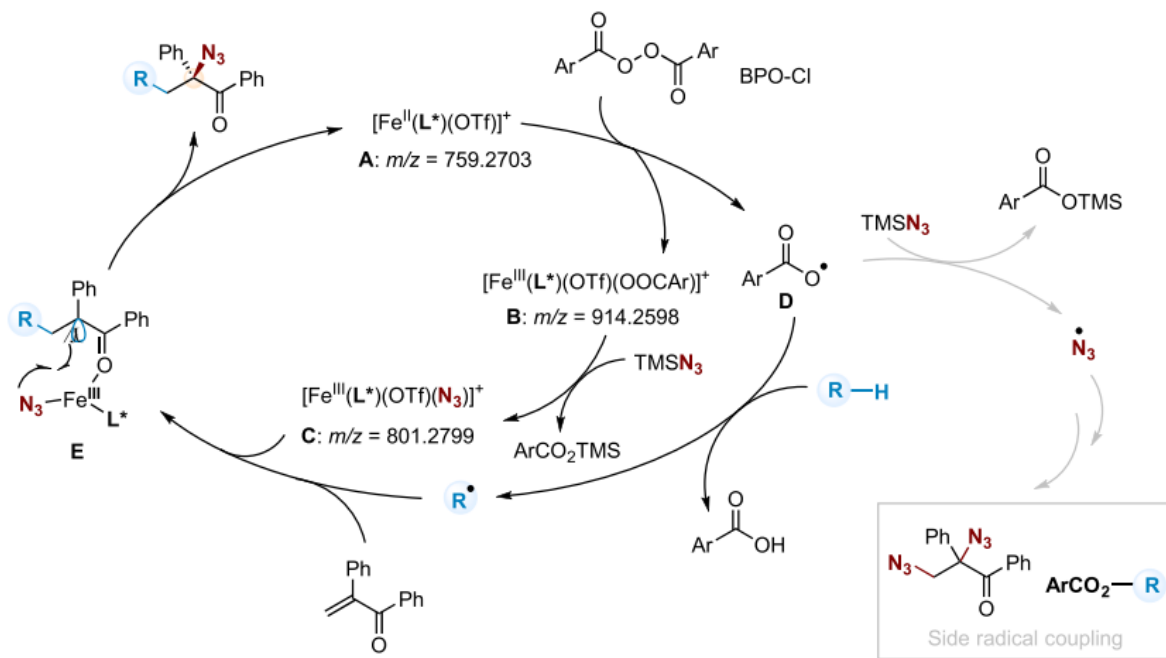
entry	1a	4 (%)	5 (%)	er of 4
1	0.1 mL	17%	70%	87:13
2	0.2 mL	29%	45%	91:9
3	0.3 mL	36%	34%	92:8
4	0.4 mL	52%	28%	92:8
5	0.5 mL	64%	20%	92:8

E) Reaction with pre-catalyst



# 外球模式: Feng's work

直接活化脂肪族 C-H 键的不对称三组分自由基烯碳叠氮反应

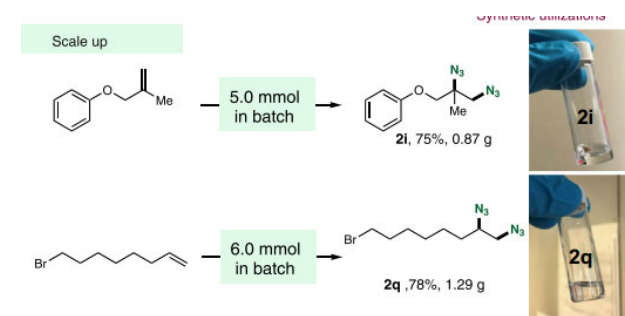
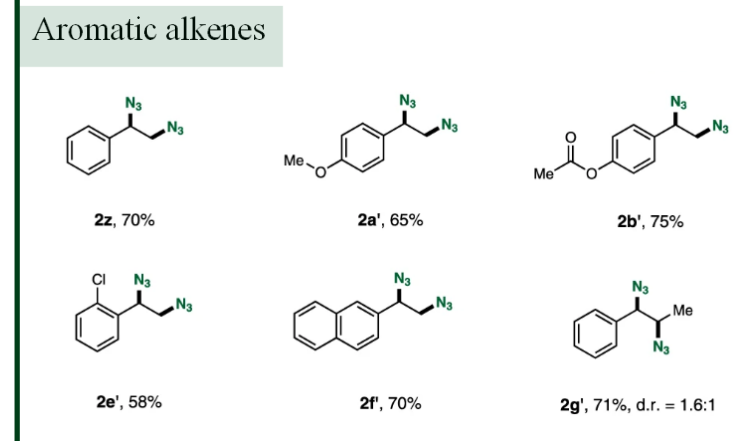
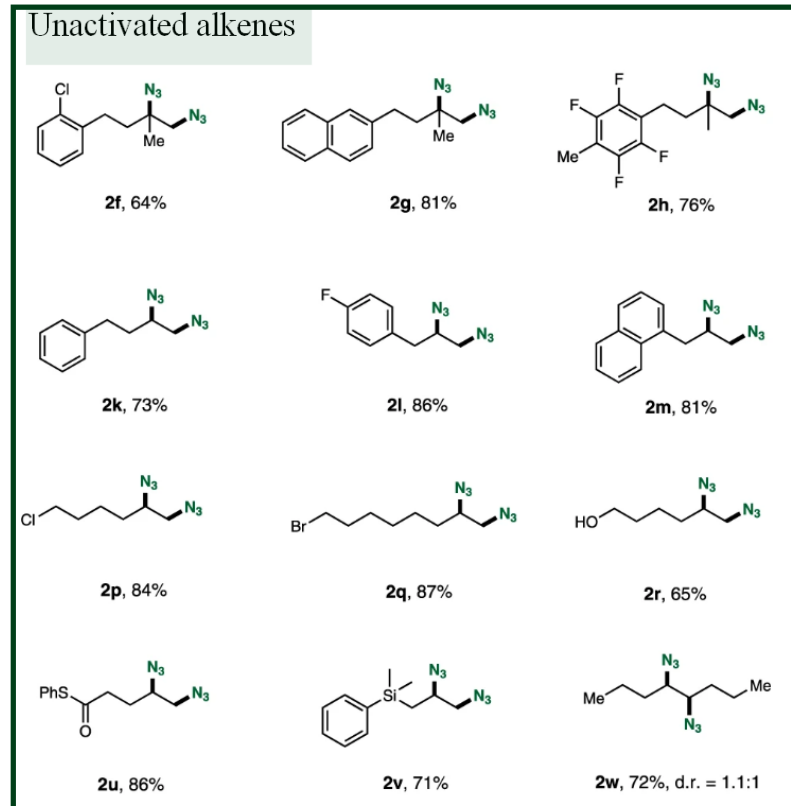


- 1) 直接使用丰富的碳氢化合物作为烷基化试剂，快速获得有价值的手性季碳中心。
- 2) 通过Fe(II)/过氧化物介导的分子间HAT过程，形成碳中心自由基，避免了烷基自由基前体的预活化。
- 3) 通过手性Fe(III)-N<sub>3</sub>配合物介导的不对称分子内叠氮转移过程，得到有价值的手性碳叠氮化化合物。

# 外球模式: Fe介导的LMCT模式下的烯基二叠氮化修饰



$\text{Fe}(\text{NO}_3)_3 \cdot 9\text{H}_2\text{O}$  (1.2 equiv.)  
40 W Blue kessil lamp  
MeCN, r.t., 24-36 h

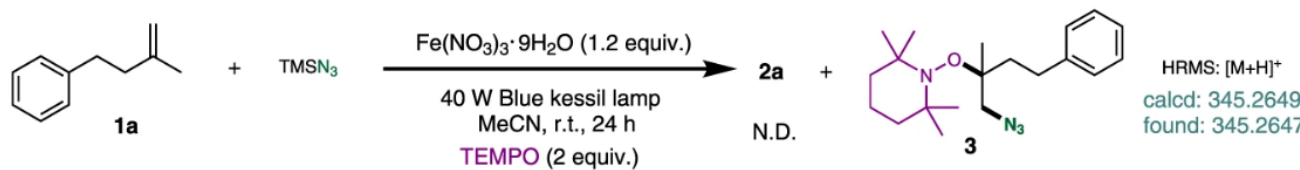


# 外球模式: Fe介导的LMCT模式下的烯基二叠氮化修饰

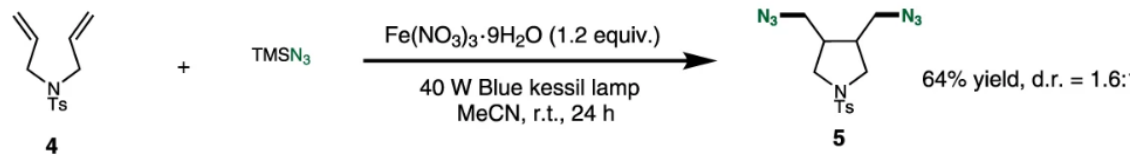


同濟大學  
TONGJI UNIVERSITY

a



b



c



# 外球模式: Fe介导的LMCT模式下的烯基二叠氮化修饰

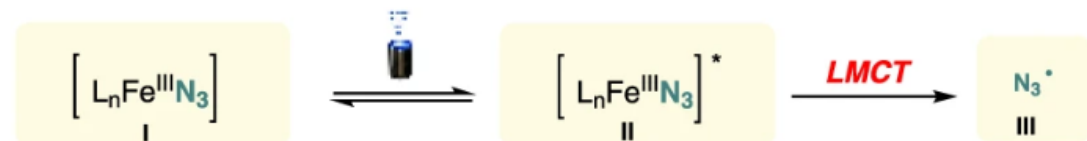


d

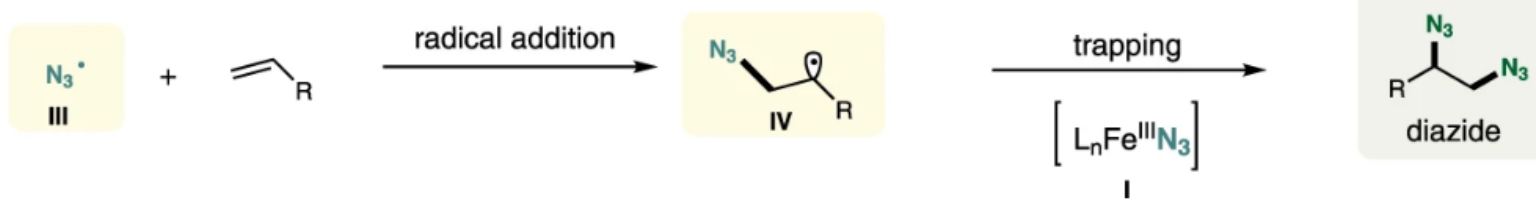
The first step: ligand exchange



The second step: light-induced LMCT to offer an azidyl radical

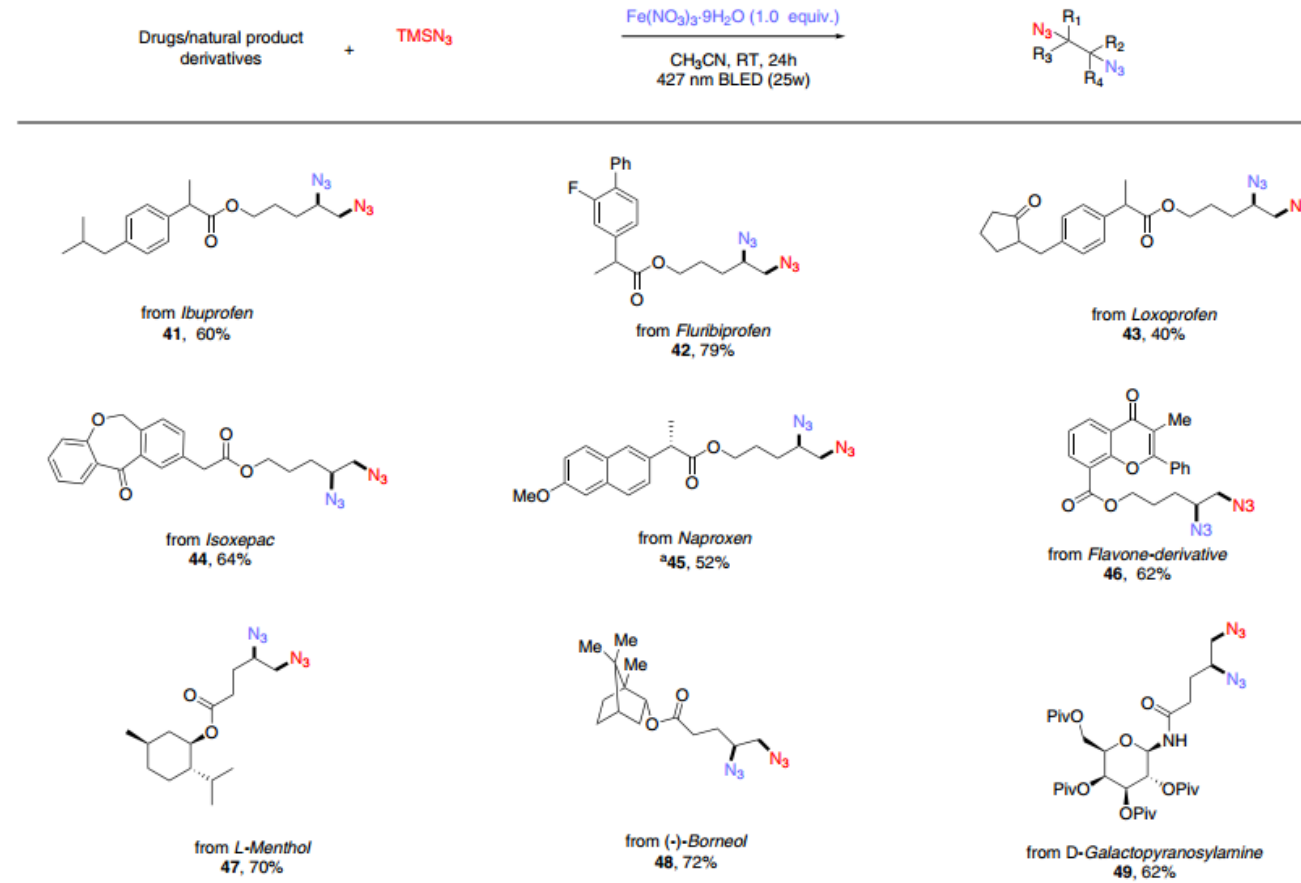


The third step: radical addition and interception

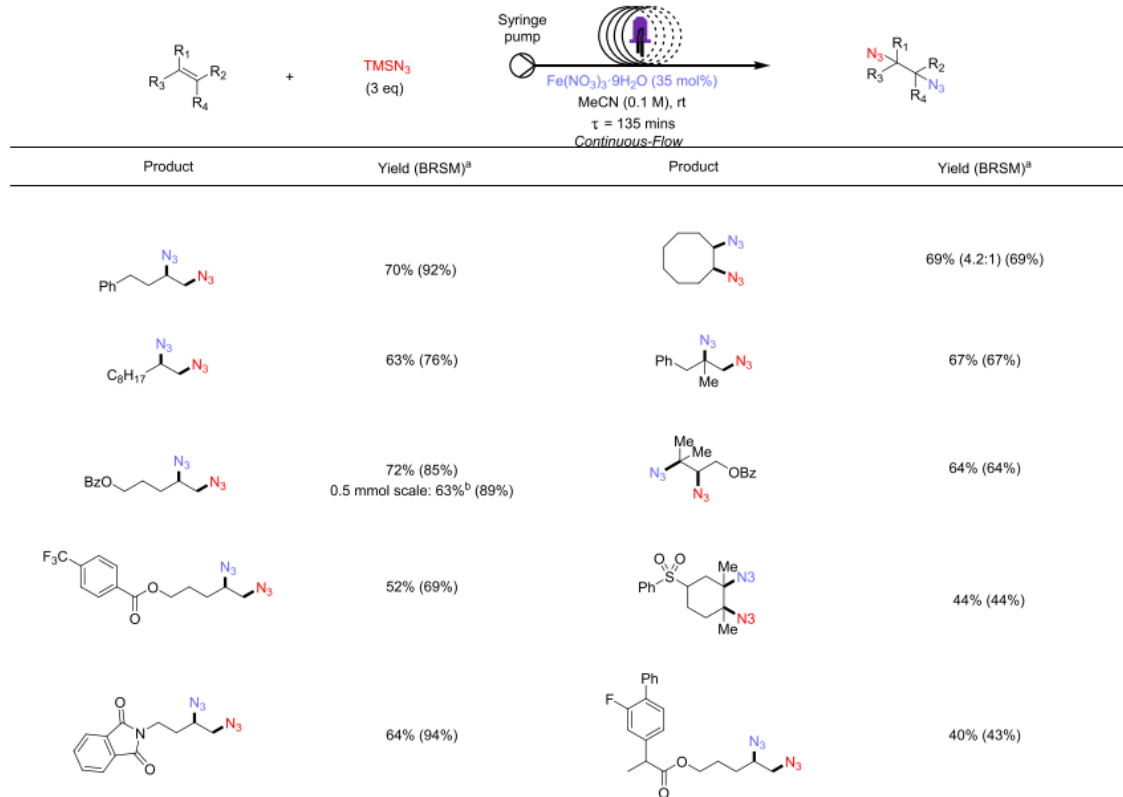


避免了使用氧化剂和还原剂，操作简捷，绿色高效，展现出非常好的底物兼容性以及官能团耐受性。同时作者还进行了克级反应的尝试，这些都为后期的药物发现提供了可能。

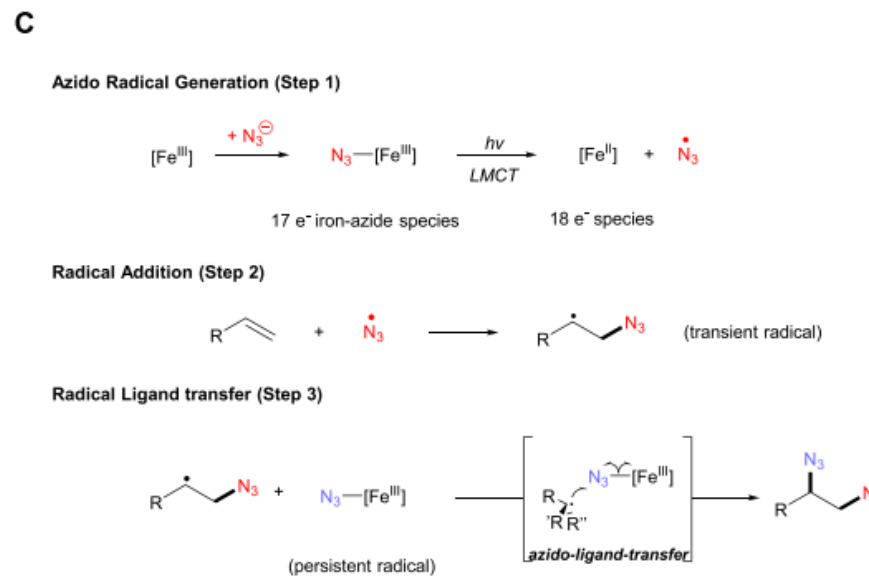
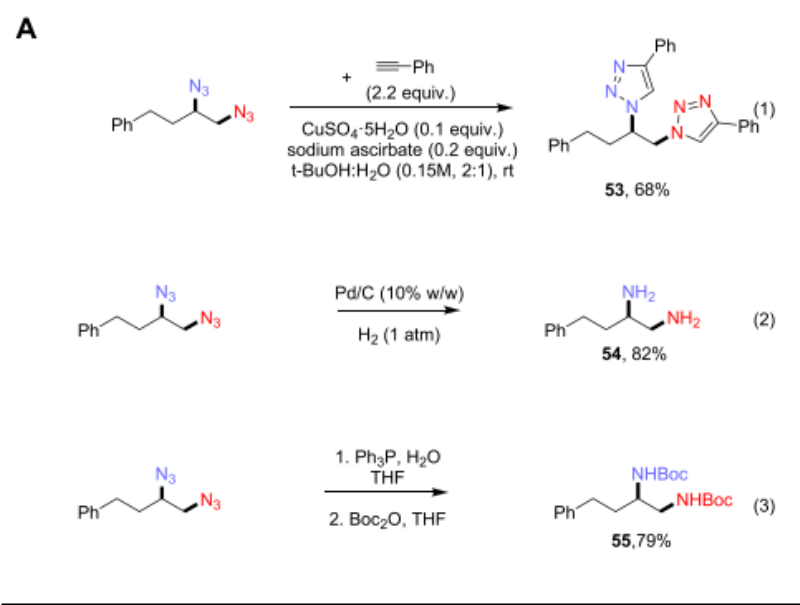
# 外球模式: Fe介导的LMCT模式下的烯基二叠氮化修饰



# 外球模式: Fe介导的LMCT模式下的烯基二叠氮化修饰



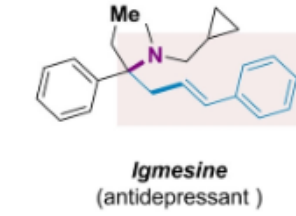
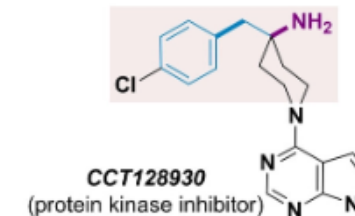
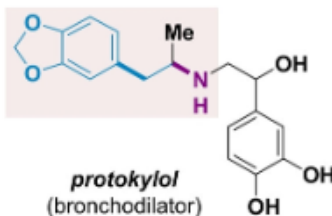
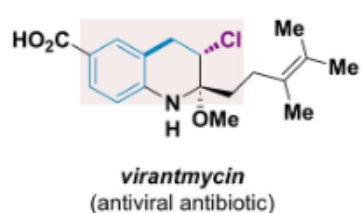
# 外球模式: Fe介导的LMCT模式下的烯基二叠氮化修饰



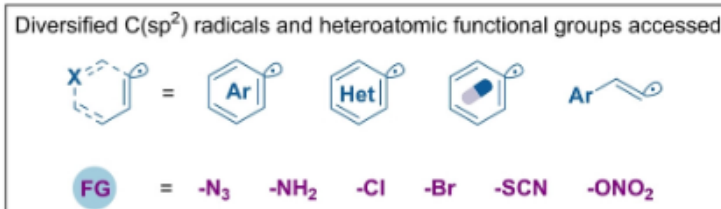
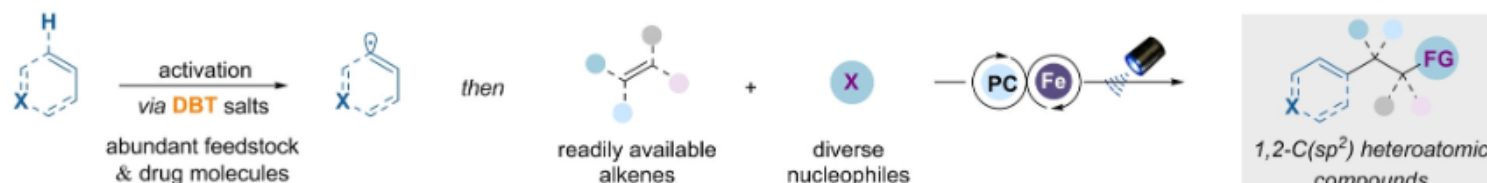
# 外球模式: Ir/Fe共催化三组分烯烃的芳基杂原子化



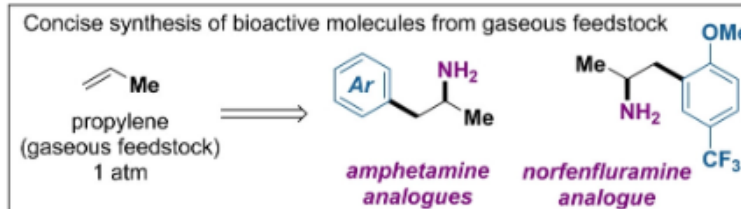
B. Representative pharmaceuticals containing 1,2-aryl(alkenyl) heteroatomic moieties



D. A photoredox/iron dual-catalytic platform for the construction of diversified 1,2-aryl(alkenyl) heteroatomic scaffolds (this work)



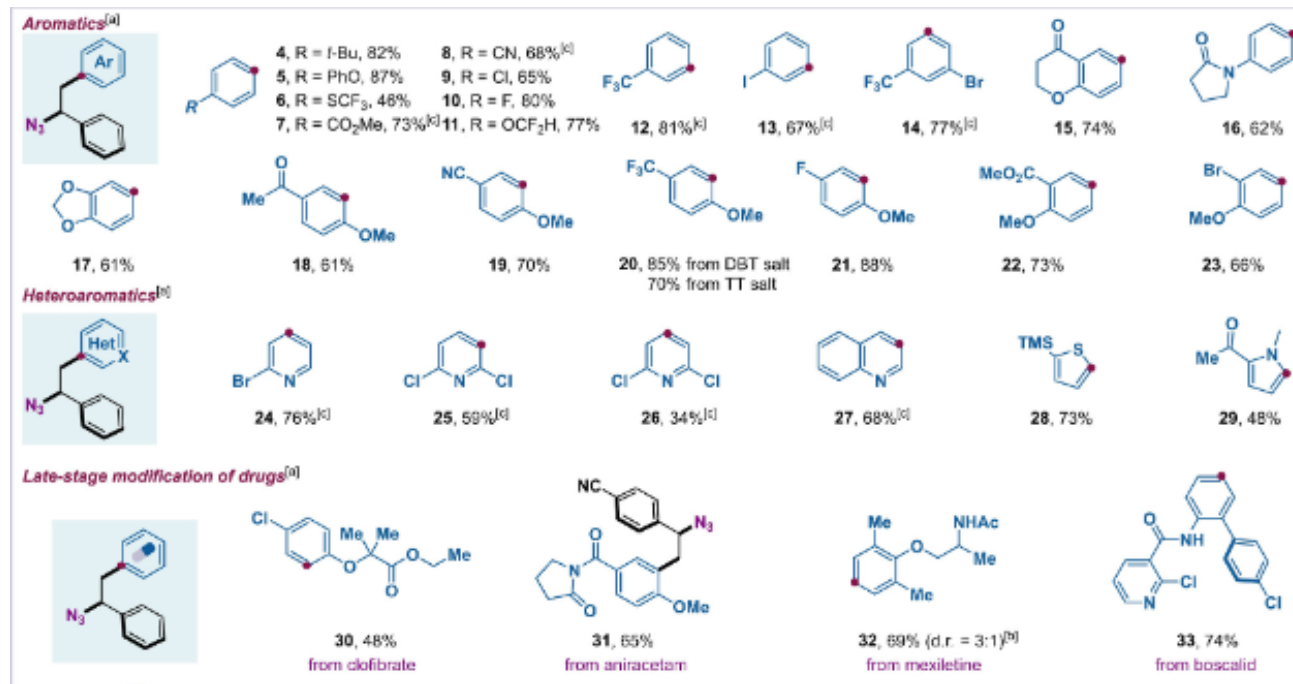
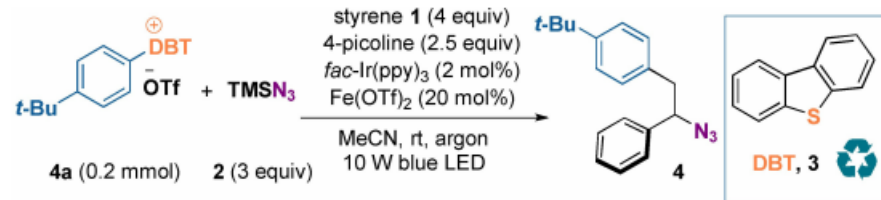
- Aromatic thiophenium salts as versatile (hetero)aryl radical precursors
- Inexpensive and readily available (hetero)arene, alkene feedstocks



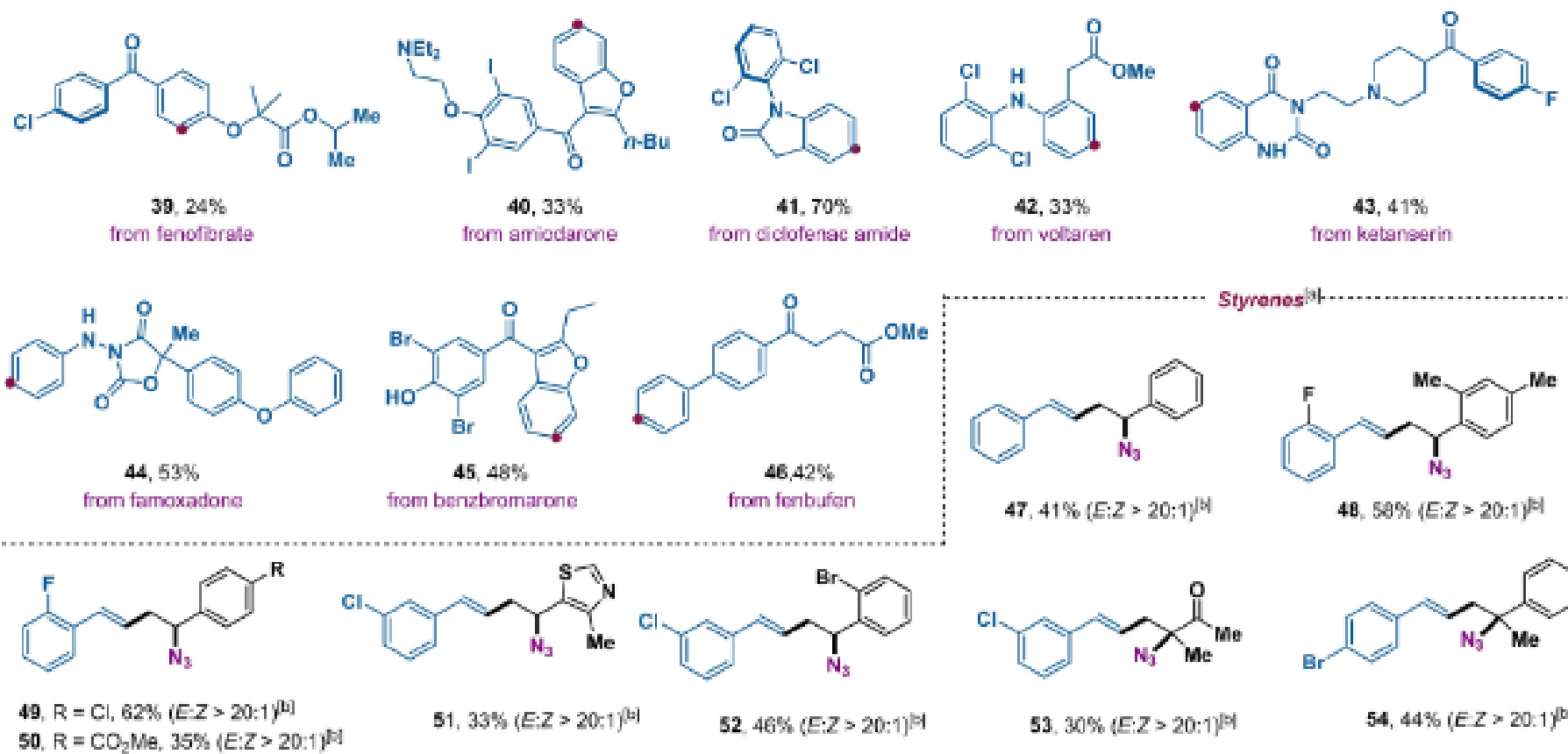
- Facile access to vinyl radicals from alkenes
- Ambient conditions
- Selective late-stage functionalization of pharmaceutical molecules



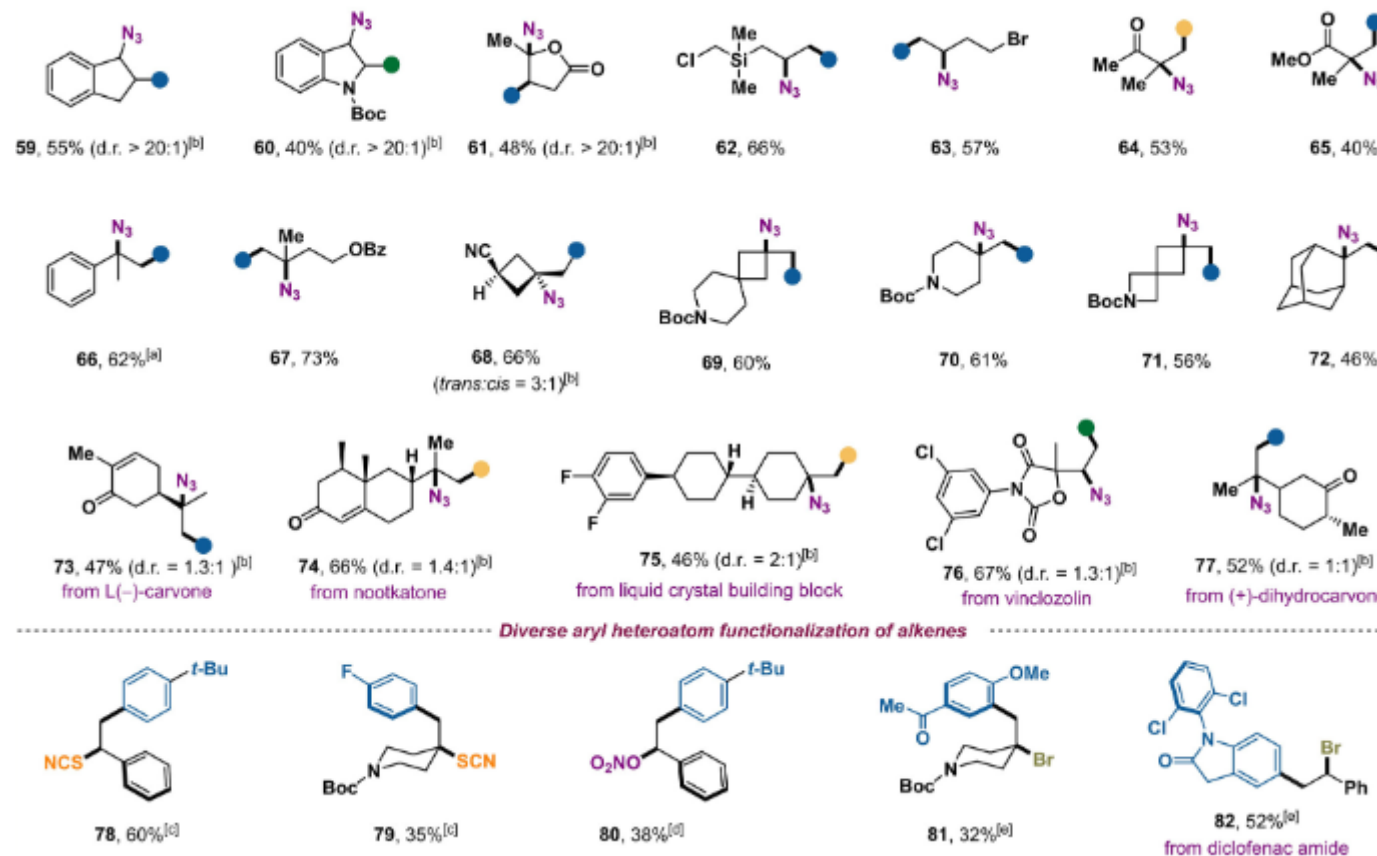
# 外球模式: Ir/Fe共催化三组分烯烃的芳基杂原子化



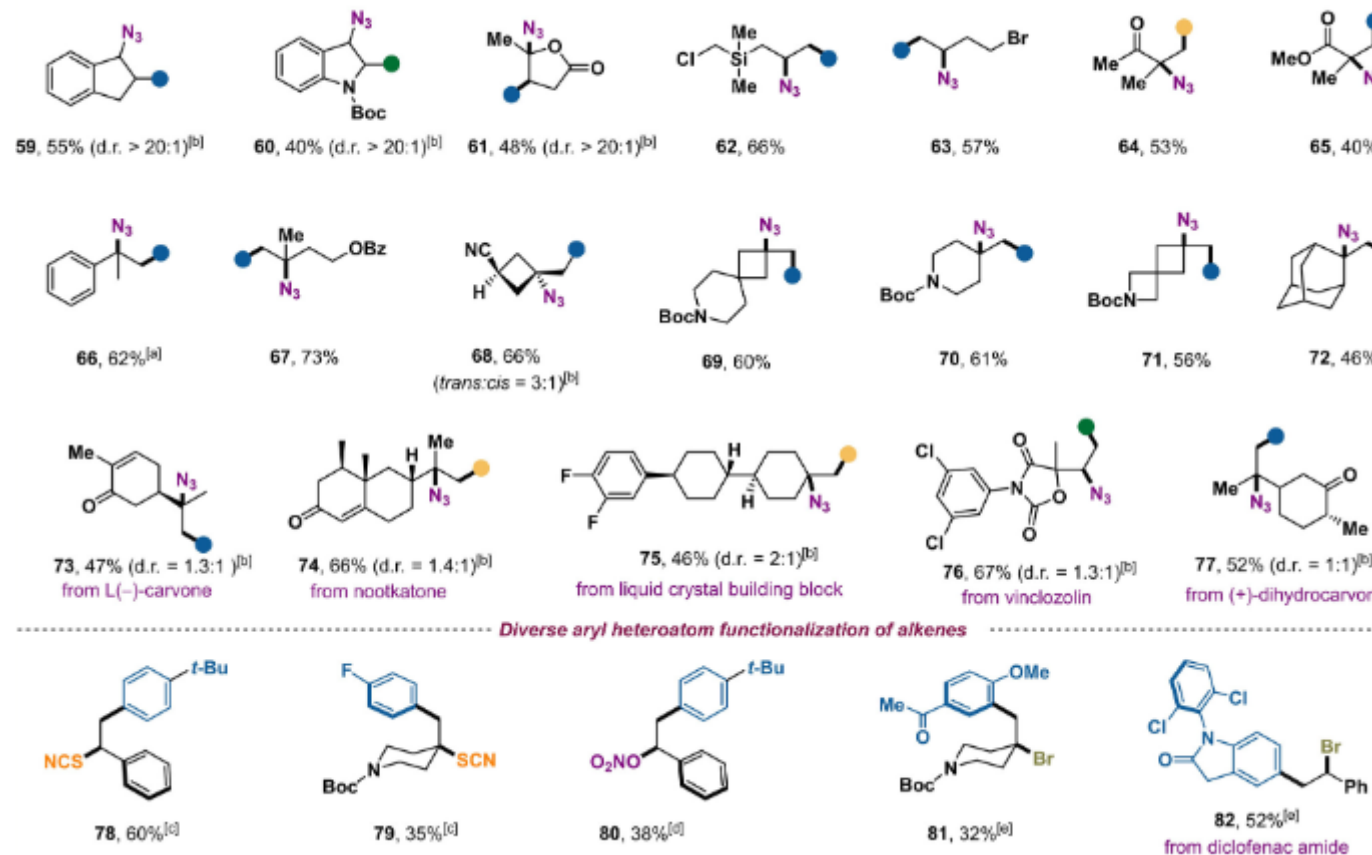
# 外球模式: Ir/Fe共催化三组分烯烃的芳基杂原子化



# 外球模式: Ir/Fe共催化三组分烯烃的芳基杂原子化



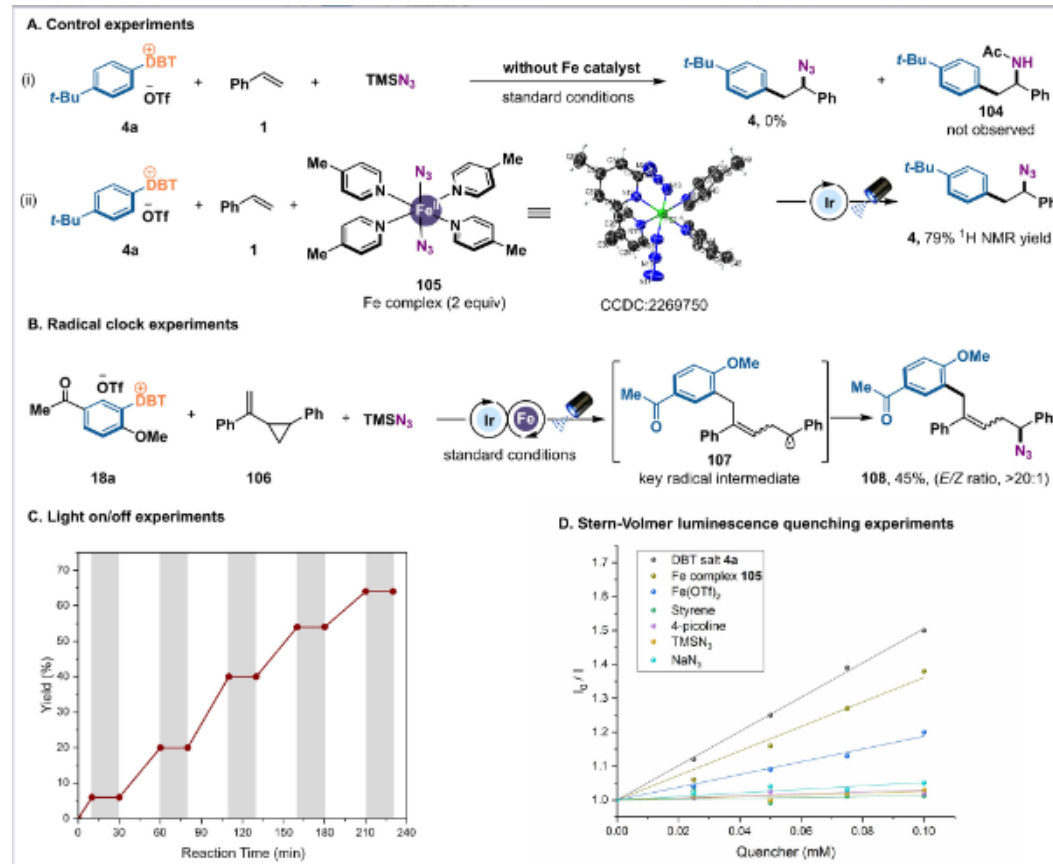
# 外球模式: Ir/Fe共催化三组分烯烃的芳基杂原子化



Wu, J. et al., *Angew. Chem. Int. Ed.* **2023**, *62*, e202310978. 第 54 页



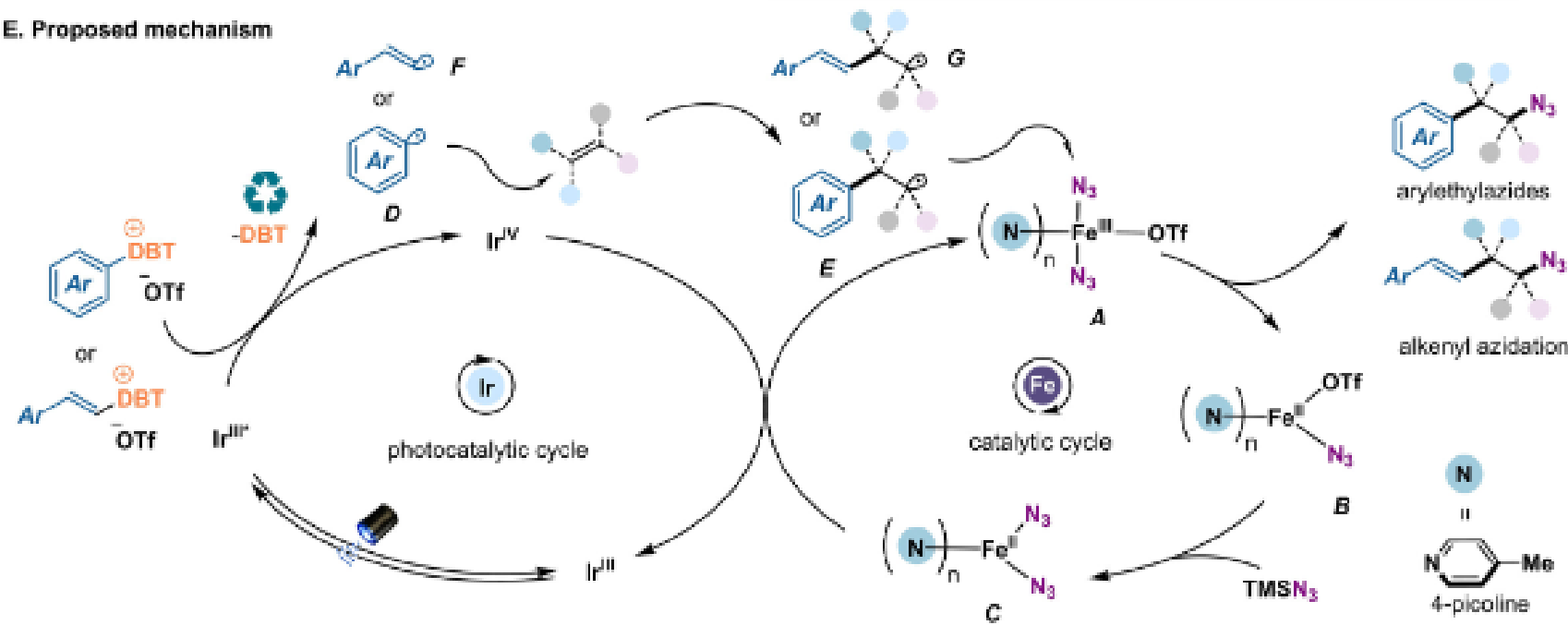
# 外球模式: Ir/Fe共催化三组分烯烃的芳基杂原子化



# 外球模式: Ir/Fe共催化三组分烯烃的芳基杂原子化

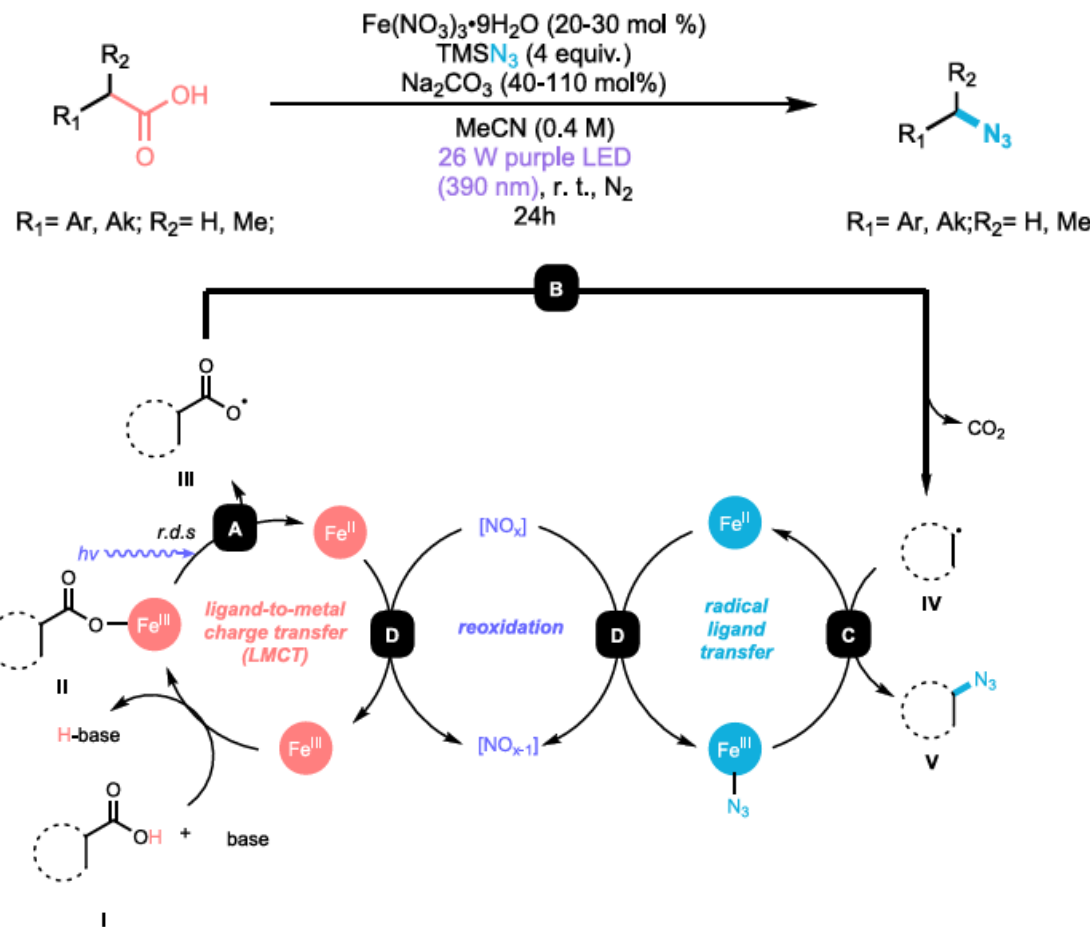


E. Proposed mechanism





## 外球模式：光/铁共催化脱羧叠氮化





同濟大學  
TONGJI UNIVERSITY

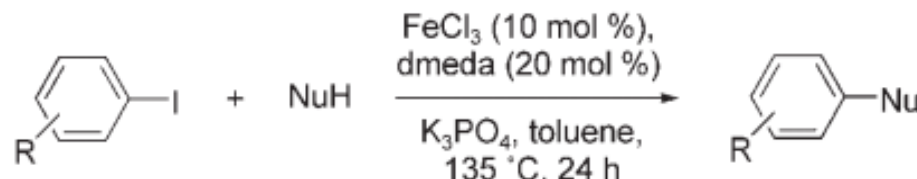
# Part 2

---

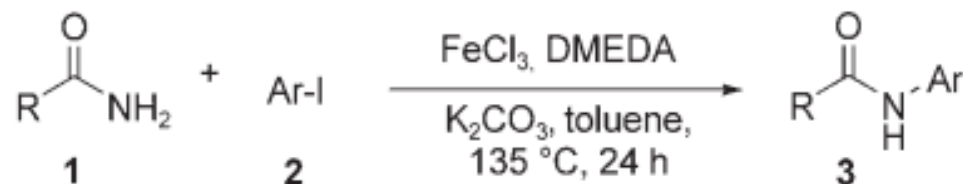
## 内球模式

同舟共济

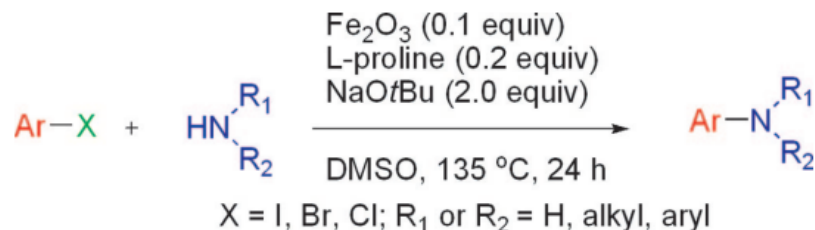
# 内球模式



Bolm, C. et al., *Angew. Chem. Int. Ed.* **2007**, *46*, 8862.



Bolm, C. et al., *Chem. Eur. J.* **2008**, *14*, 3527.

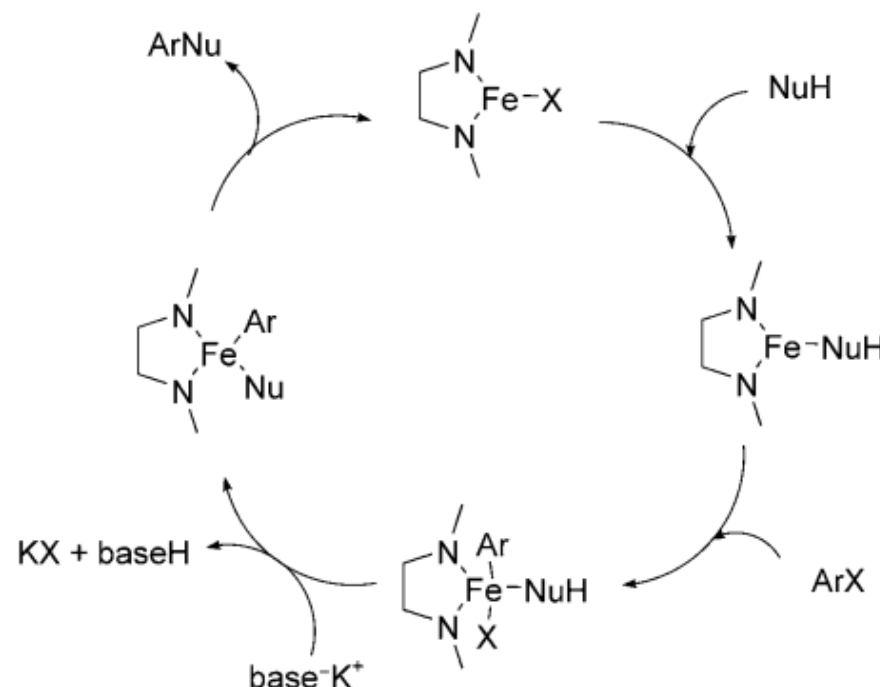
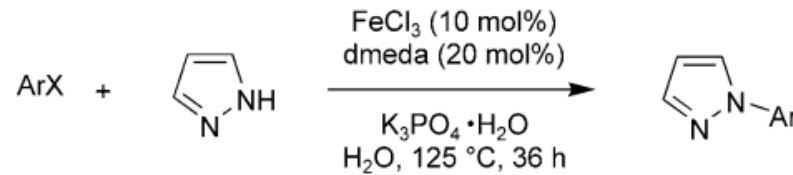


Liu, H. et al., *Org. Lett.* **2008**, *10*, 4513.

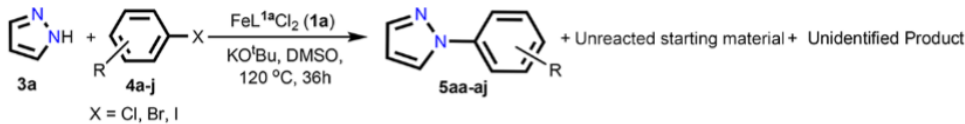
# 内球模式



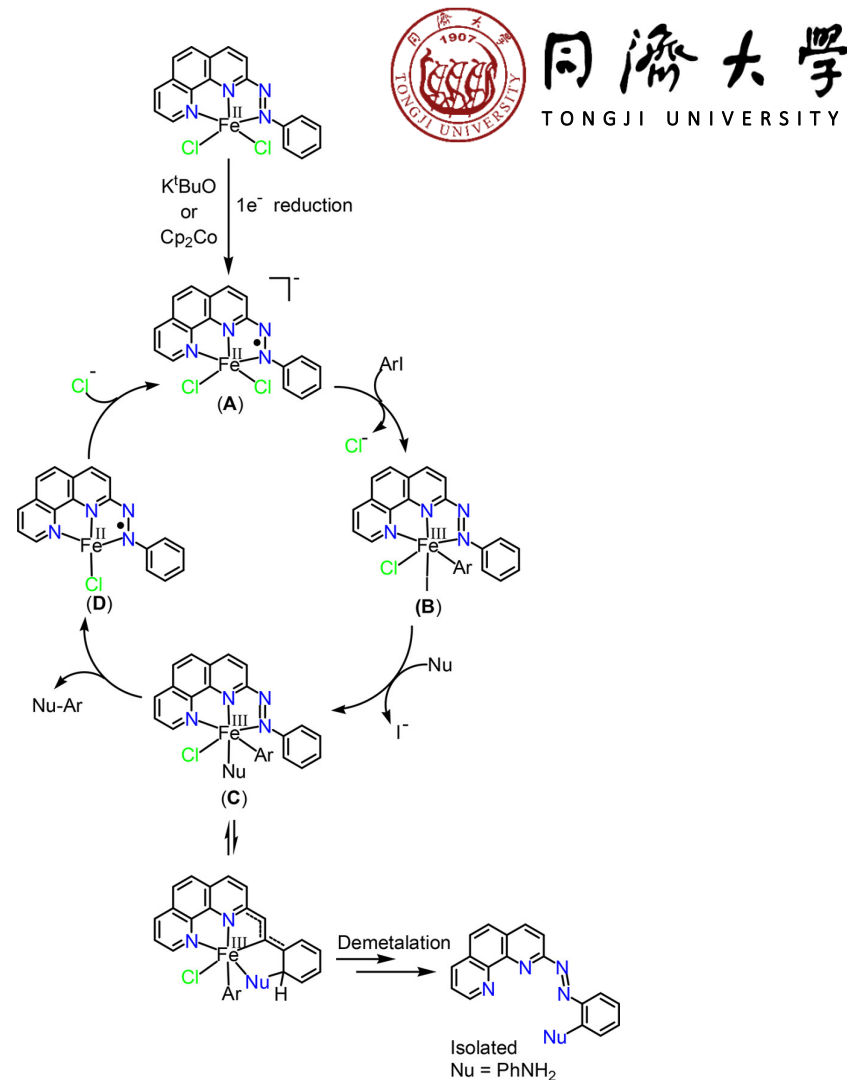
同濟大學  
TONGJI UNIVERSITY



# 内球模式



SI No.	Nucleophile	Iodobenzene	Product	Yield (%)
1	<chem>C#Nc1ccncc1</chem>	<chem>Ic1ccccc1</chem>	<chem>C#Nc1ccncc1-2c1ccccc1</chem> (5aa)	68 (65)
2	<chem>C#Nc1ccncc1</chem>	<chem>Brc1ccccc1</chem>	<chem>C#Nc1ccncc1-2c1ccccc1</chem> (5aa)	40 (35)
3	<chem>C#Nc1ccncc1</chem>	<chem>Clc1ccccc1</chem>	<chem>C#Nc1ccncc1-2c1ccccc1</chem> (5aa)	NR (NR)
4	<chem>C#Nc1ccncc1</chem>	<chem>Ic1cc(O)c(cc1)C</chem>	<chem>C#Nc1ccncc1-2c1cc(O)c(cc1)C</chem> (5ab)	65 (64)
5	<chem>C#Nc1ccncc1</chem>	<chem>Ic1cc(O)cc(cc1)C</chem>	<chem>C#Nc1ccncc1-2c1cc(O)cc(cc1)C</chem> (5ac)	71 (65)



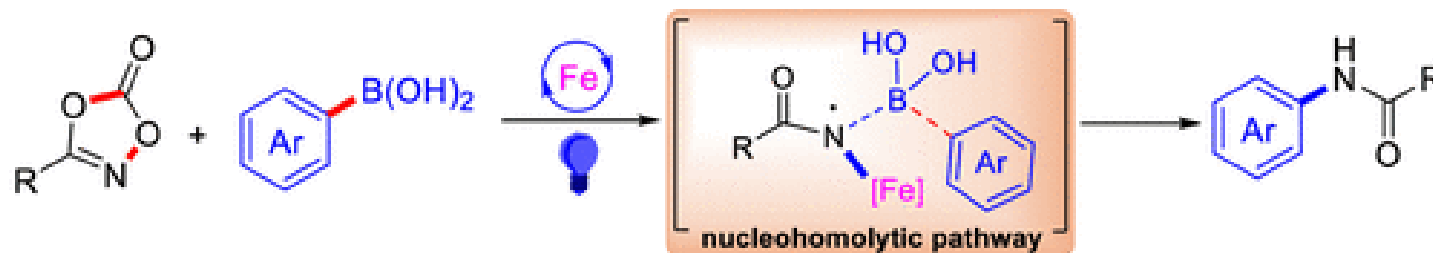
Wong, K.-T. et al., *Org. Lett.* 2010, 12, 12.

第 61 页

# 内球模式：可见光促进铁催化二噁唑酮与芳基硼酸的N-芳基化反应

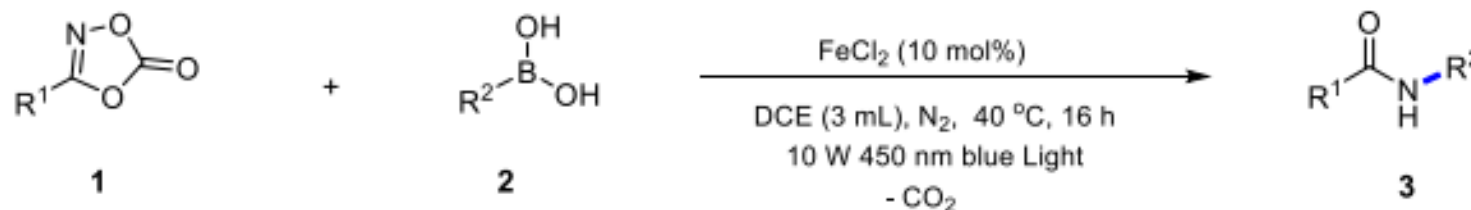


同济大学  
TONGJI UNIVERSITY

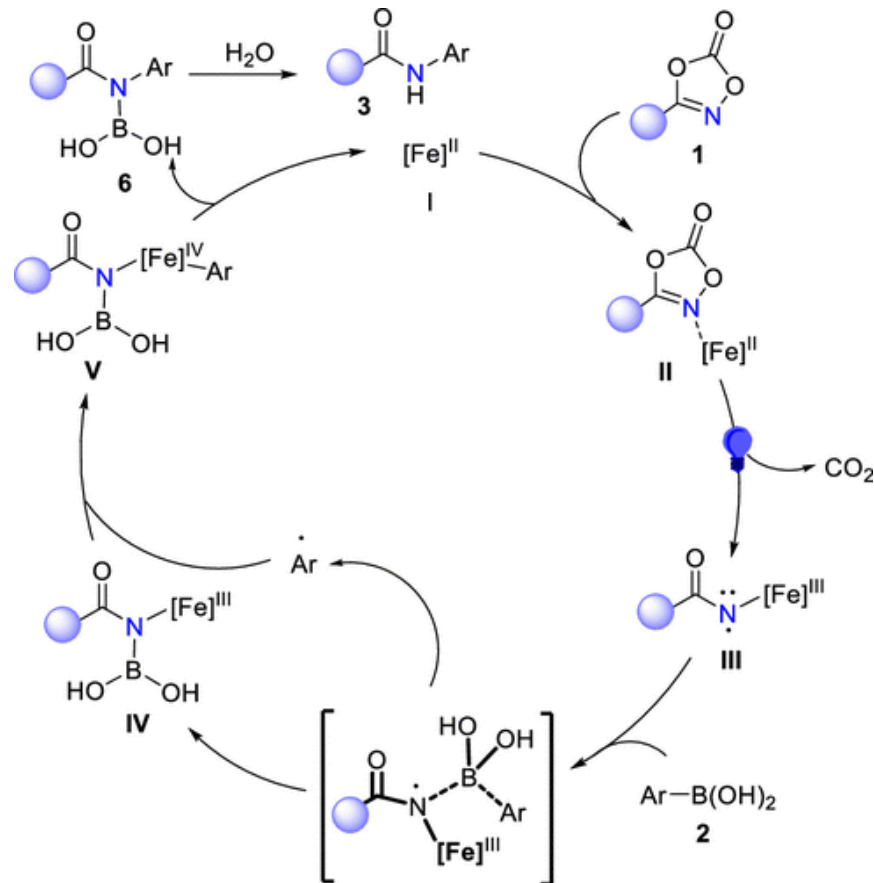


- easily available substrates
- exogenous photosensitizer-free
- broad substrate scope
- first method for *N*-arylation of dioxazolones with arylboronic acids by iron-catalysis

反应条件：



# 内球模式：可见光促进铁催化二噁唑酮与芳基硼酸的N-芳基化反应

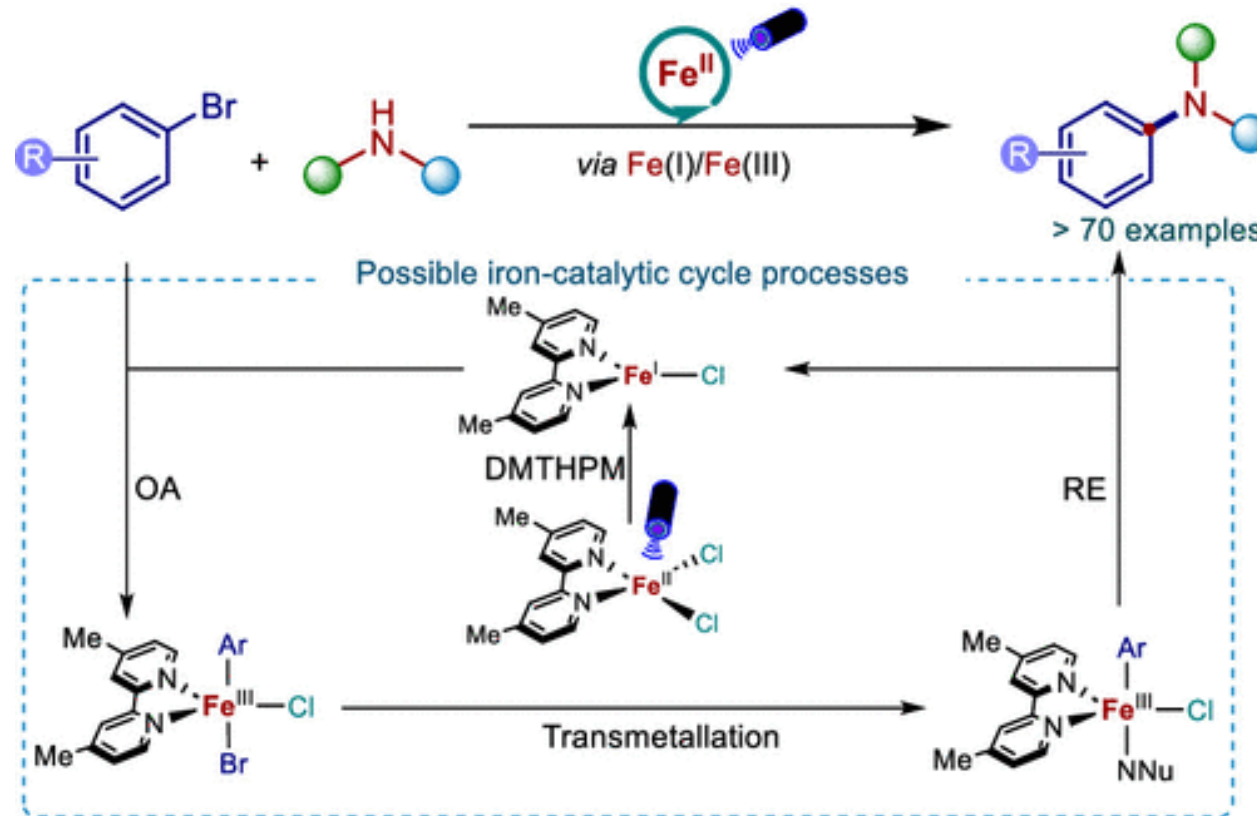


# 内球模式：光促进铁催化芳基溴化物和胺之间的C–N偶联反应

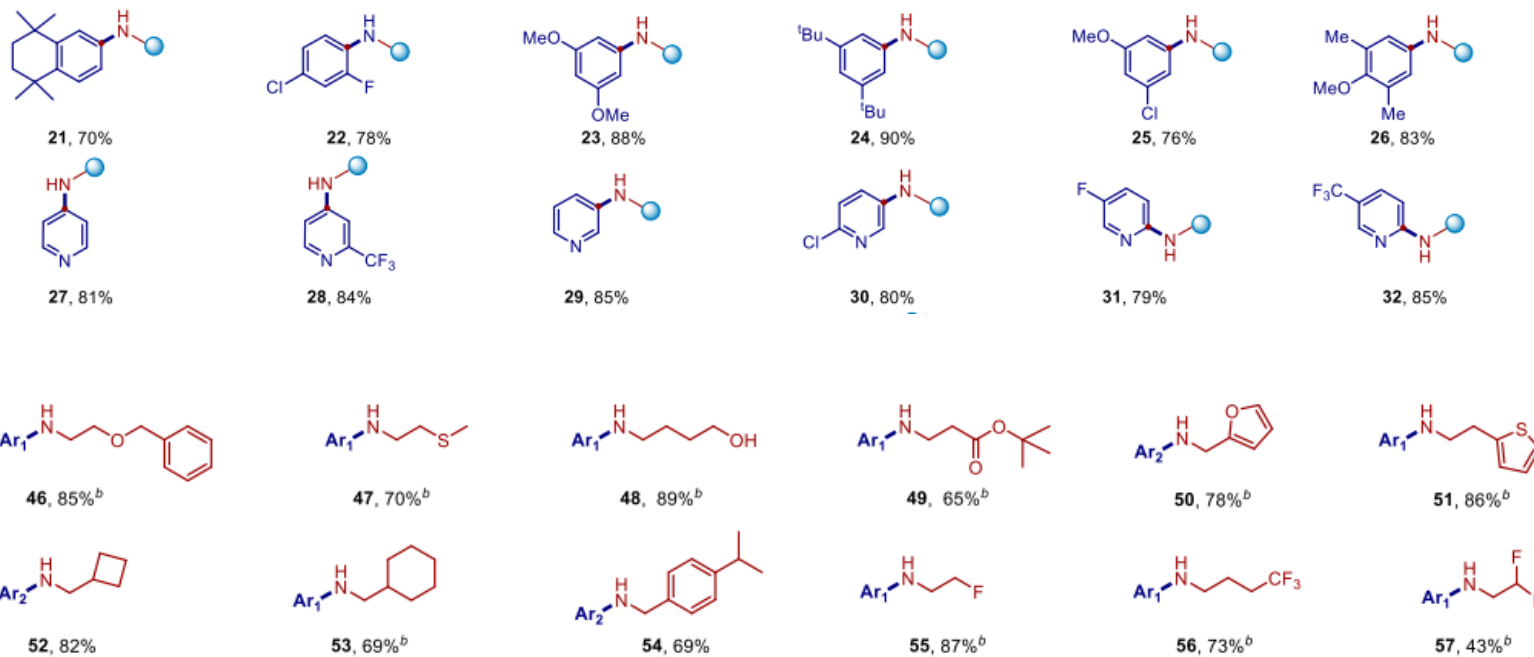
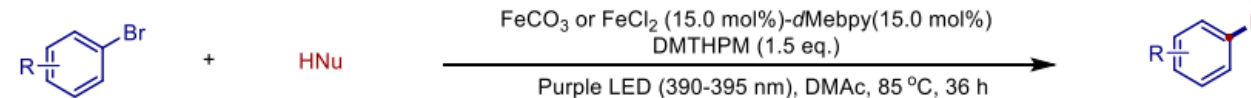


同济大学  
TONGJI UNIVERSITY

*Light-promoted generation of Fe(I) species for C–N coupling*

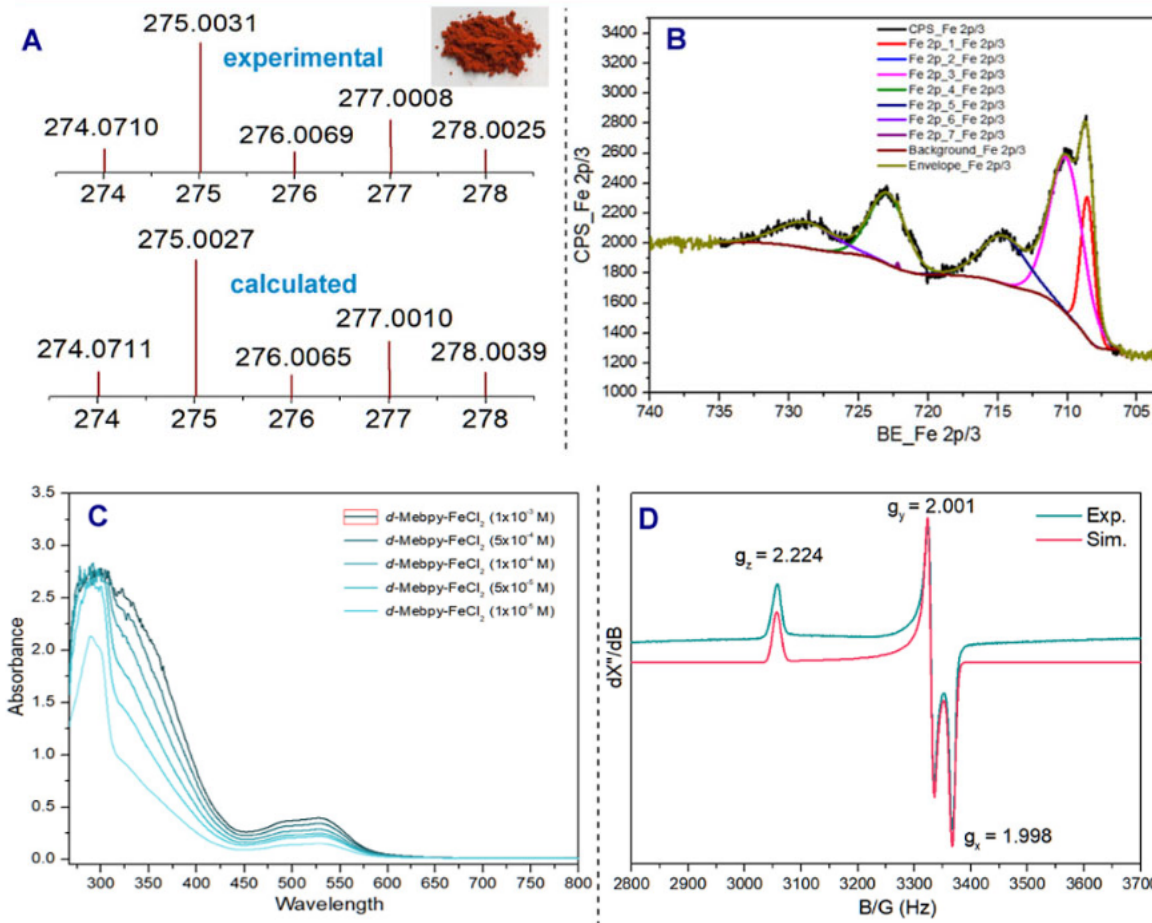


# 内球模式：光促进铁催化芳基溴化物和胺之间的C–N偶联反应





# 内球模式：光促进铁催化芳基溴化物和胺之间的C–N偶联反应

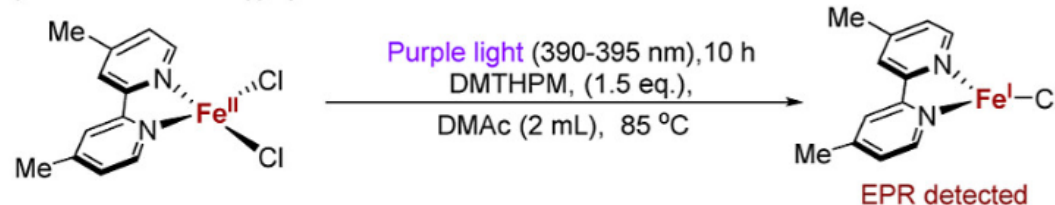




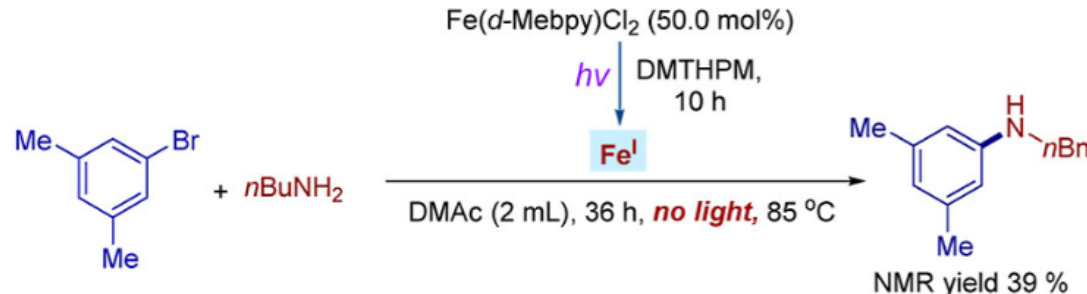
# 内球模式：光促进铁催化芳基溴化物和胺之间的C–N偶联反应

E Amination of aryl halide catalyzed by Fe(I) complex

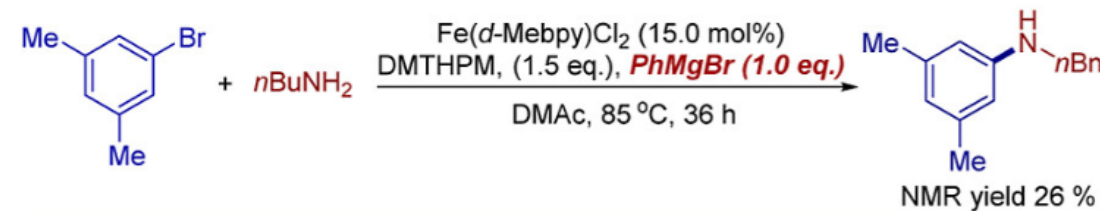
1) EPR detected Fe(I) species



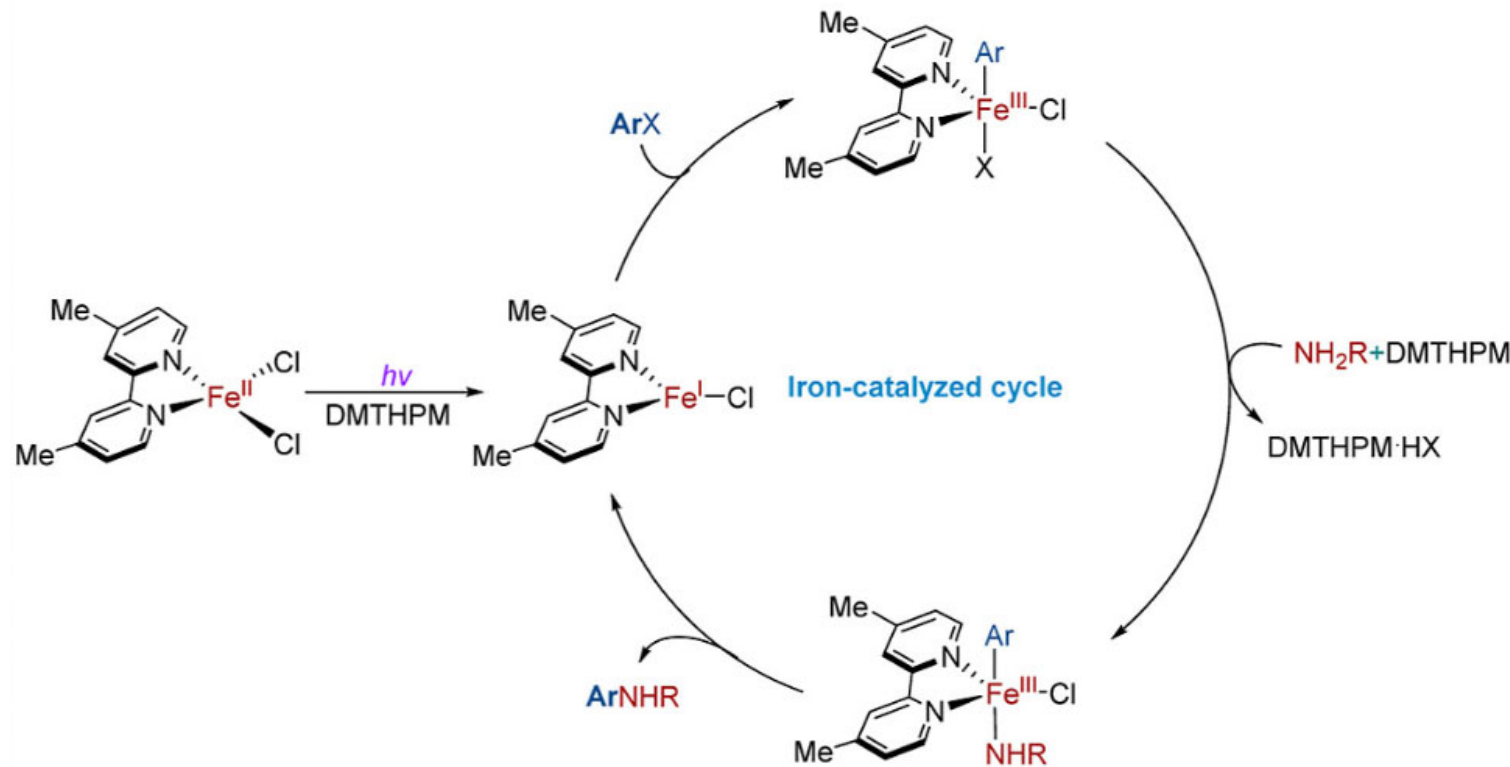
2) Amination of aryl halide catalyzed by Fe(I) complex via light irradiation



3) Amination of aryl halide catalyzed by Fe(I) complex using PhMgBr as reducing agent



# 内球模式：光促进铁催化芳基溴化物和胺之间的C–N偶联反应





同濟大學  
TONGJI UNIVERSITY

# Part 3

## —

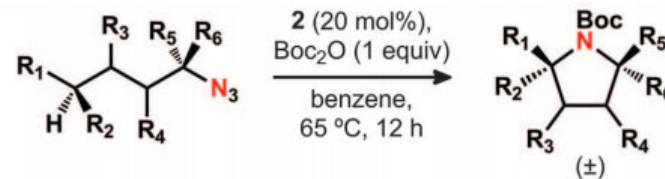
# 铁氮宾中间体

同舟共济

# 铁氮宾中间体参与



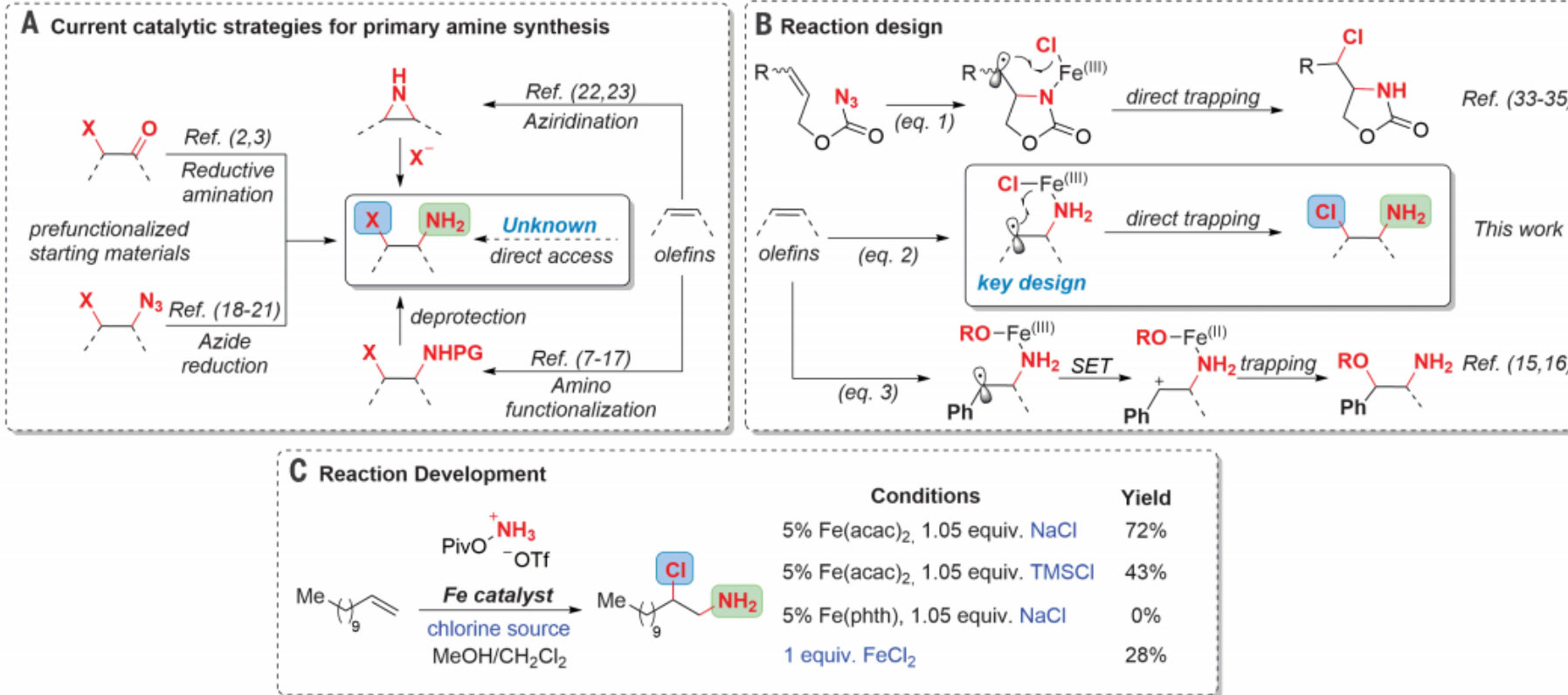
同济大学  
TONGJI UNIVERSITY



Entry	Azide	Pyrrolidine	Yield (%) <sup>*</sup>	Entry	Azide	Pyrrolidine	Yield (%) <sup>*</sup>
1			98 <sup>†§</sup> (PG = Fmoc) 93 <sup>†§</sup> 57 <sup>‡§</sup> (PG = Boc)	10			66 1:5:1.0 dr
2			72 <sup>‡§</sup>	11			70
3			60 <sup>§</sup> 49 <sup>‡§</sup>	12			98
4			19 <sup>‡§</sup>	13			75 <sup>‡</sup> 93% ee



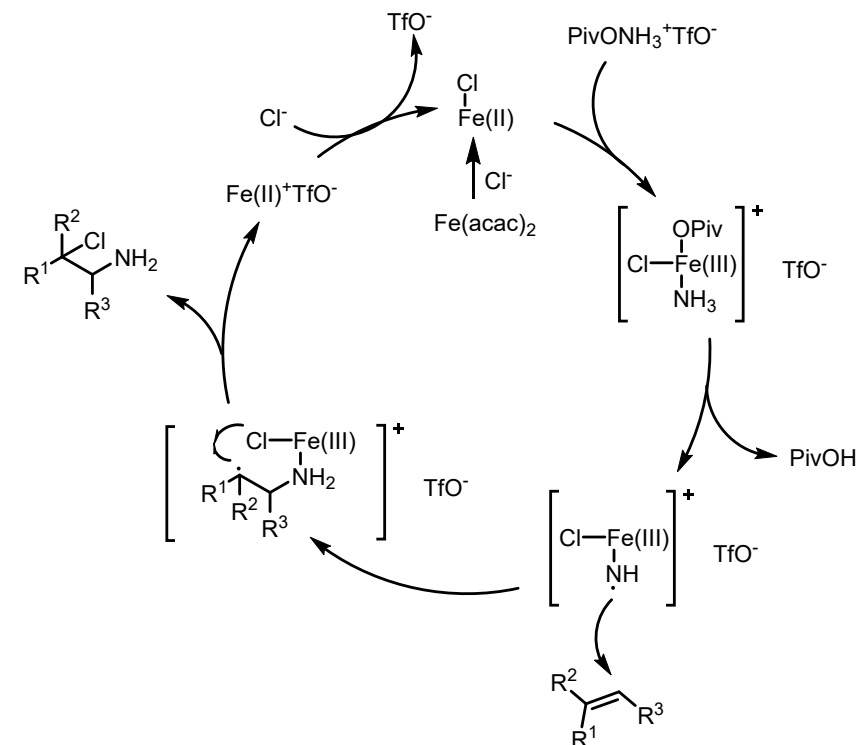
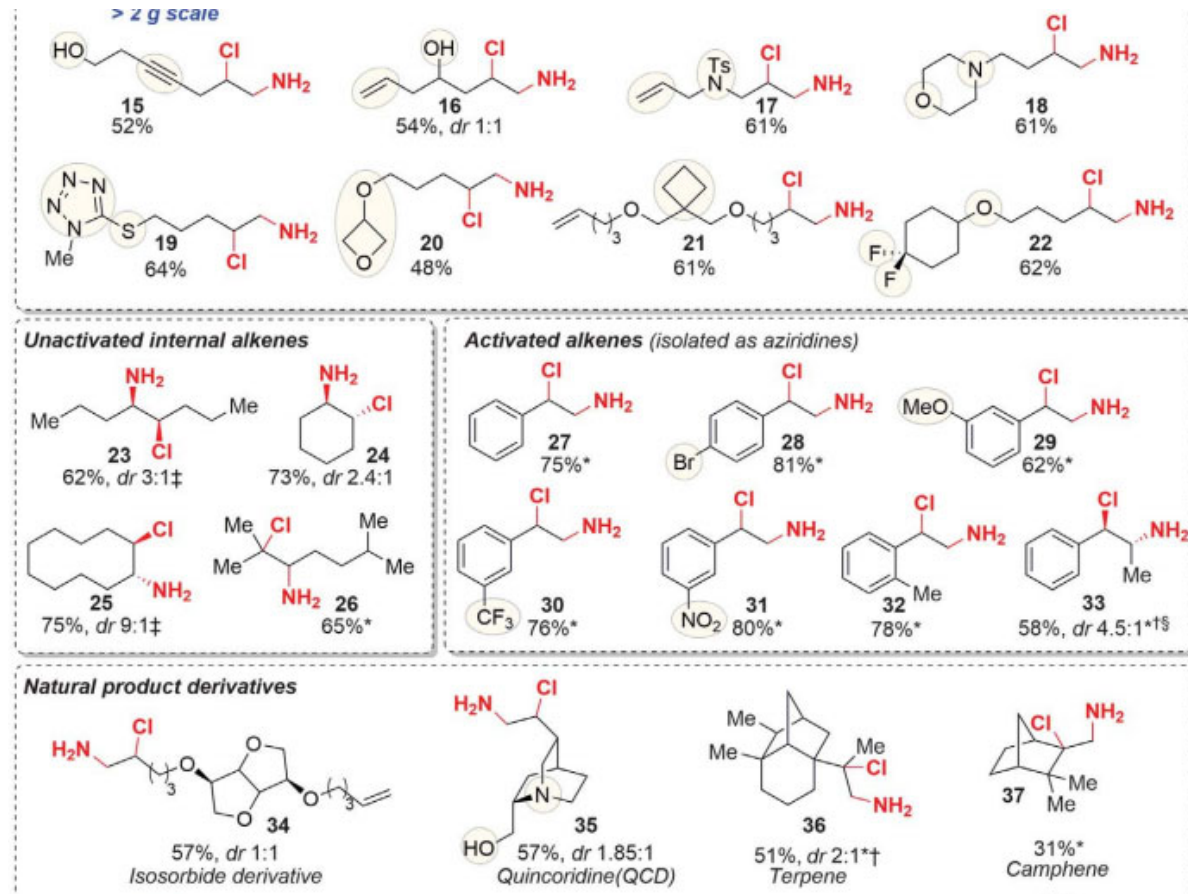
# 铁氮宾中间体参与



# 铁氮宾中间体参与



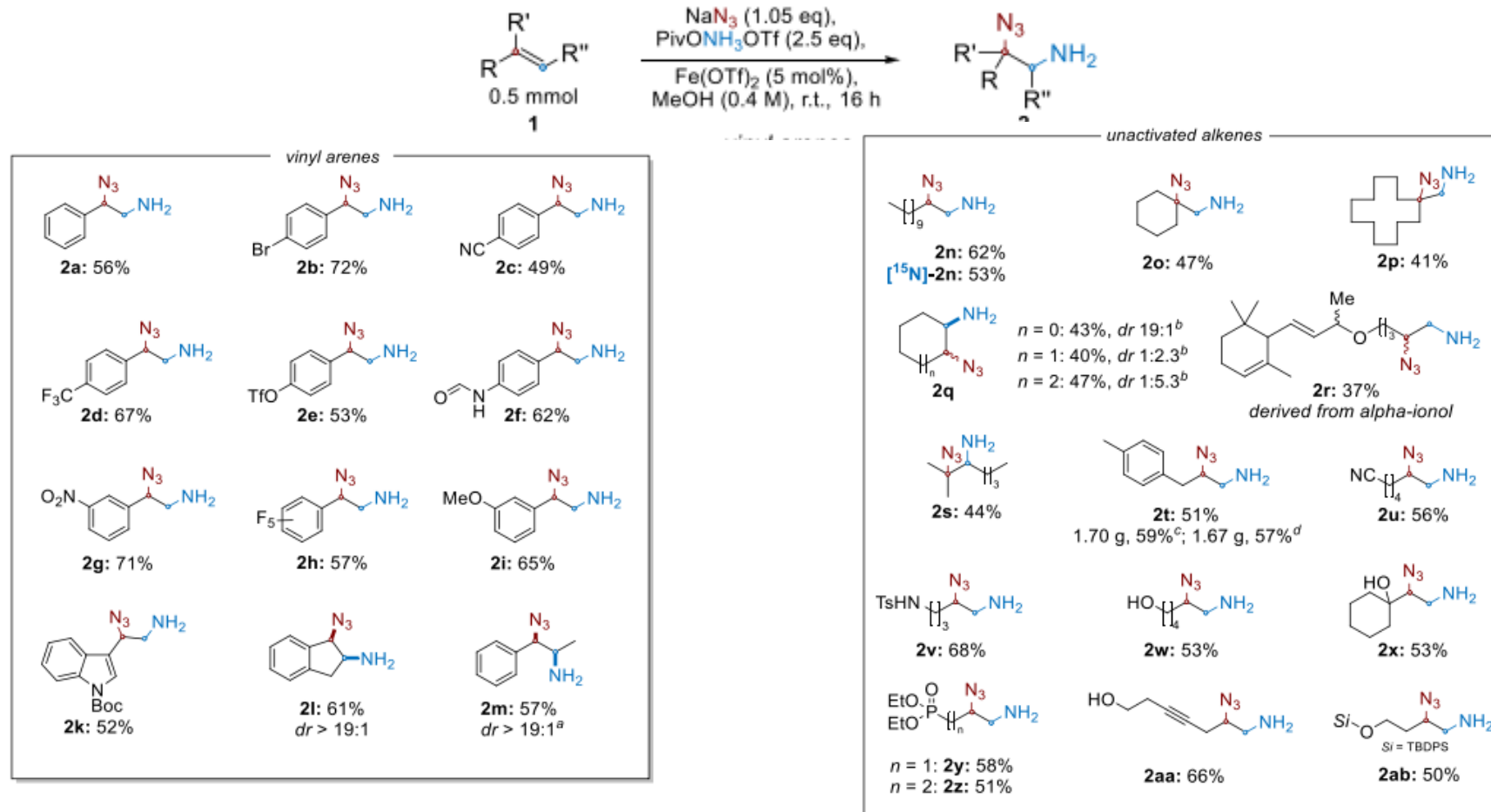
同济大学  
TONGJI UNIVERSITY



# 铁氮宾中间体参与



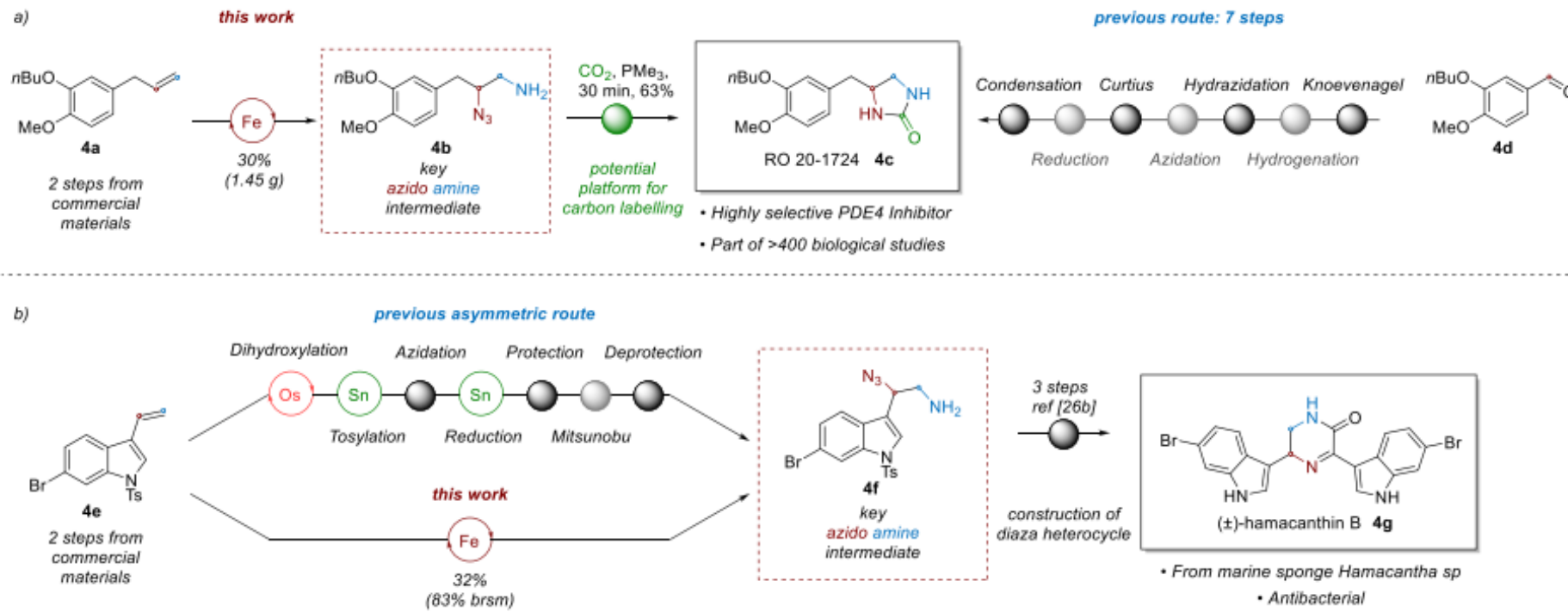
同济大学  
TONGJI UNIVERSITY



# 铁氮宾中间体参与



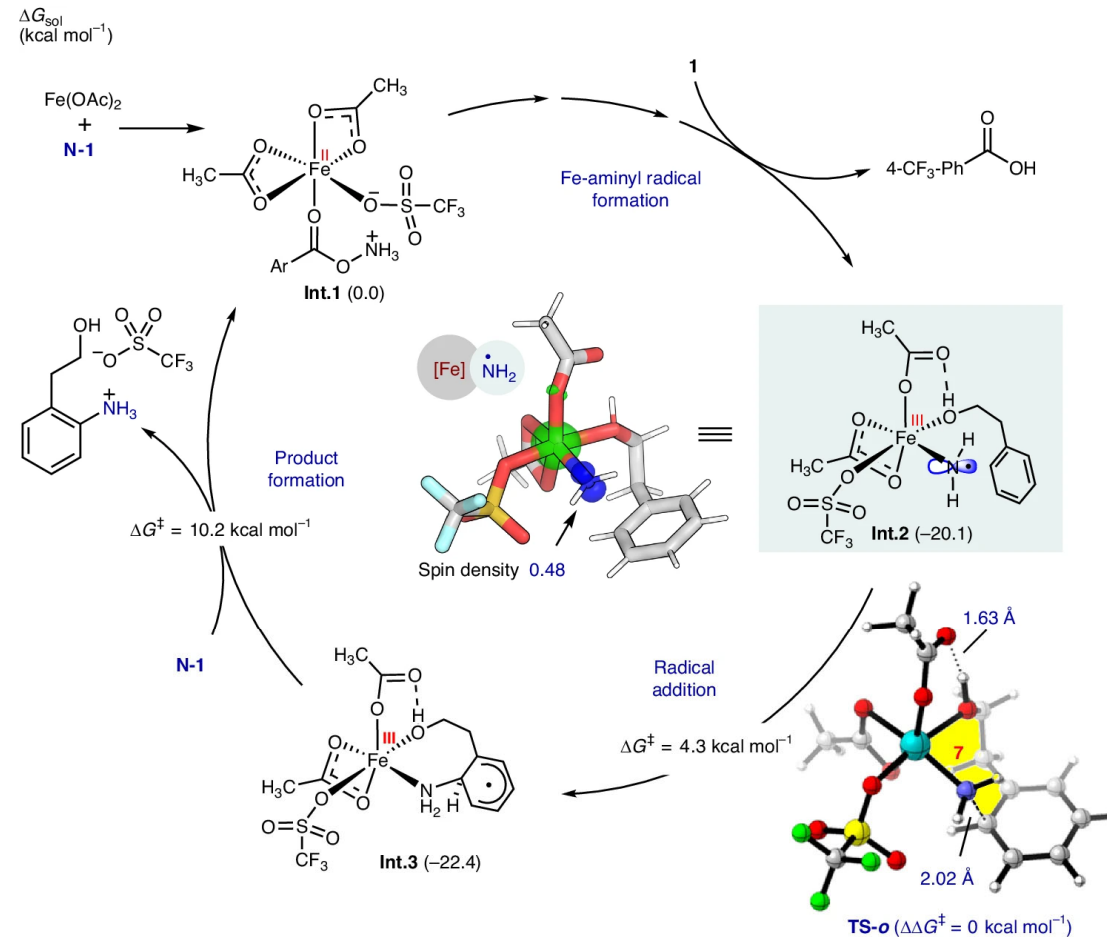
同济大学  
TONGJI UNIVERSITY



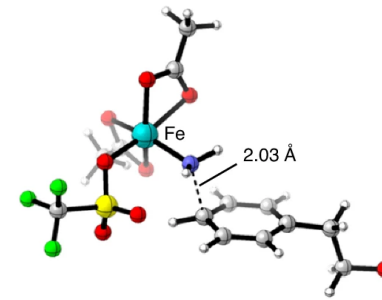
# 铁氮宾中间体参与



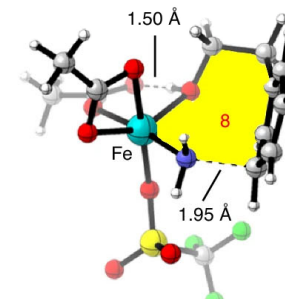
同济大学  
TONGJI UNIVERSITY



Para-selective radical addition

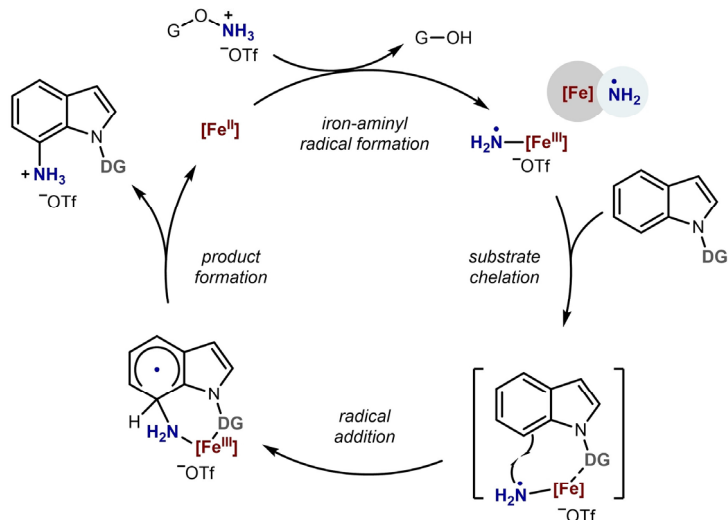


Meta-selective radical addition



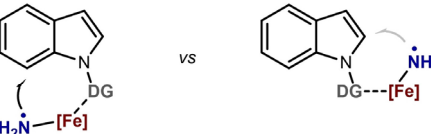
# 铁氮宾中间体参与

A. Proposed catalytic cycle

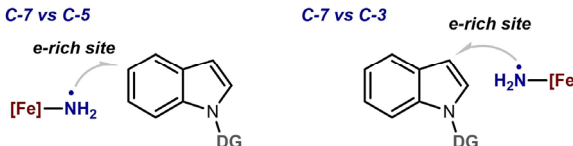


The challenges:

■ Directed radical addition, C-7 vs C-2



■ Non-directed radical addition ("background" reaction), C-7 vs C-3/5

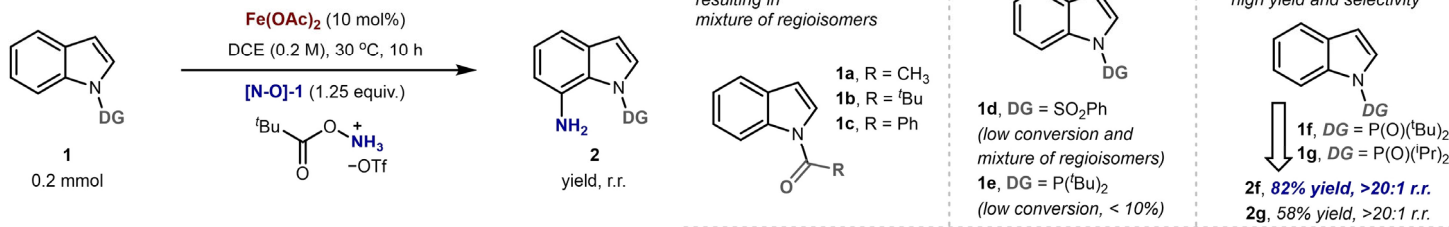


The solution:

Identifying a DG that could

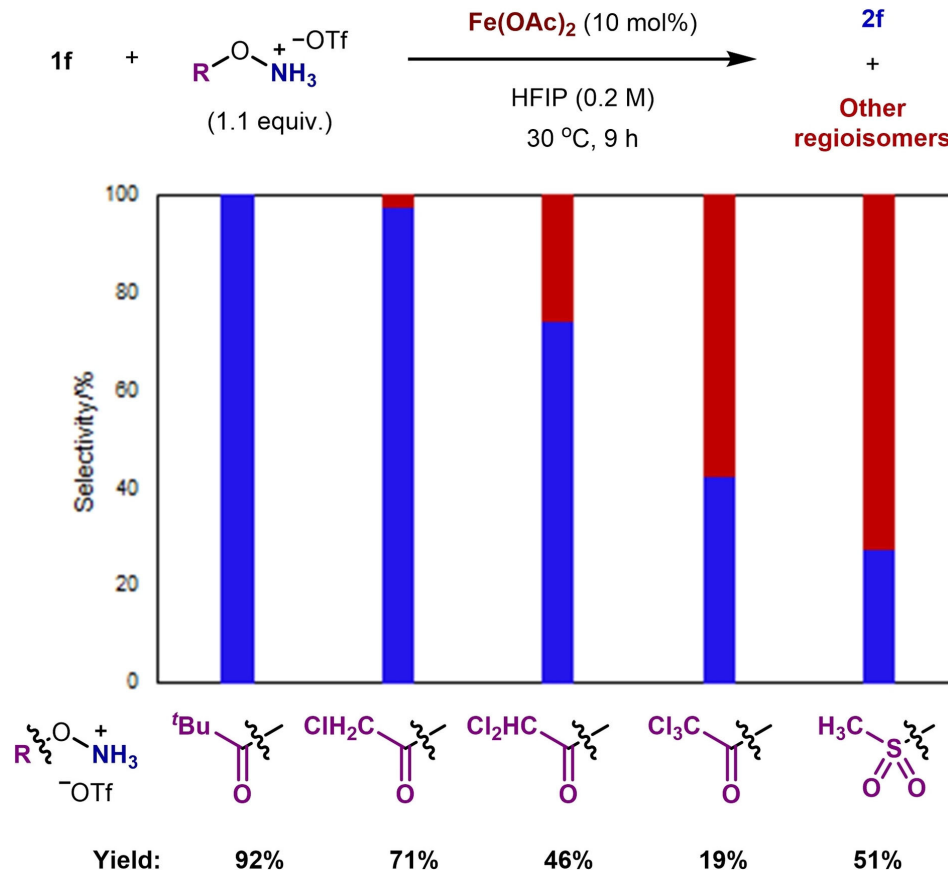
- orientate the iron-aminal radical to the C-7 position selectively
- coordinate with the iron catalyst effectively
- deactivate C-5 and C-3 positions sufficiently

B. Examination of different chelating groups



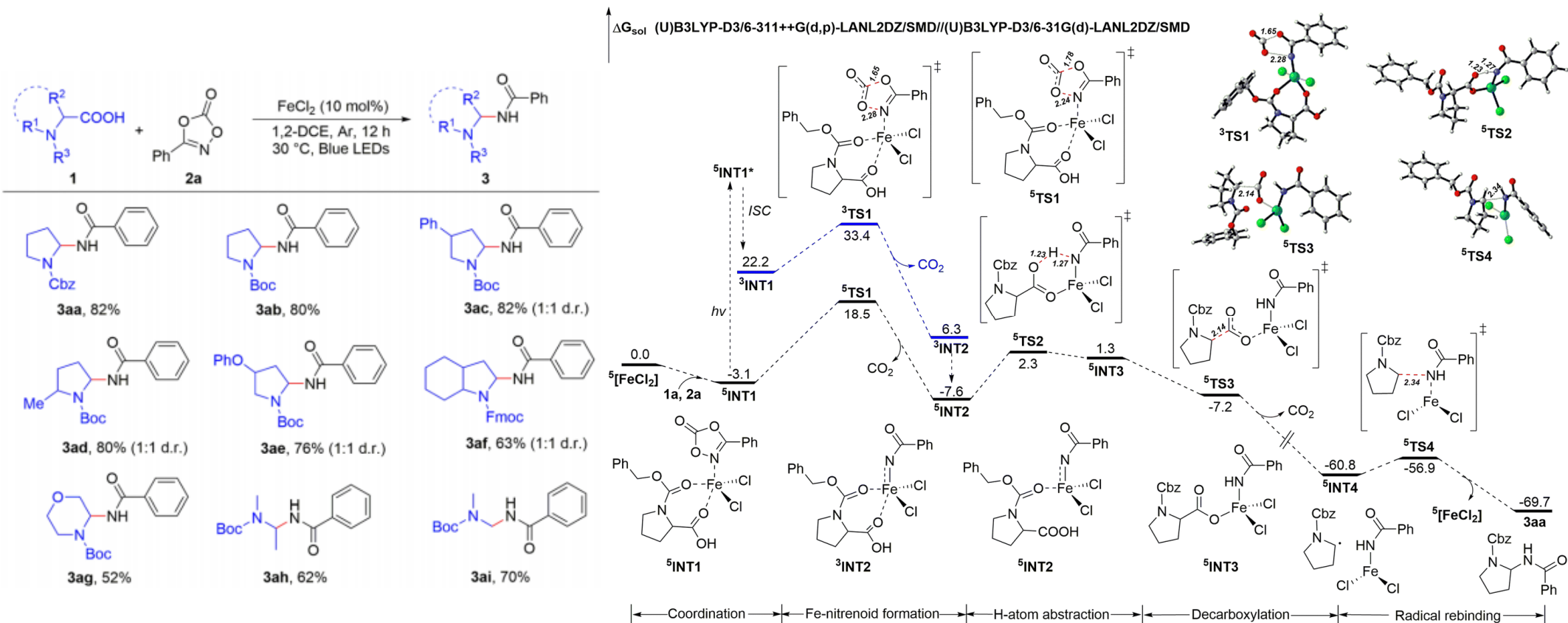
TBPO不仅能够有效地与铁-氨自由基配位，导向C-7位的选择性加成，也能利用其强吸电子特性降低吲哚的电子云密度，减少非导向芳香自由基取代反应的发生。

# 铁氮宾中间体参与



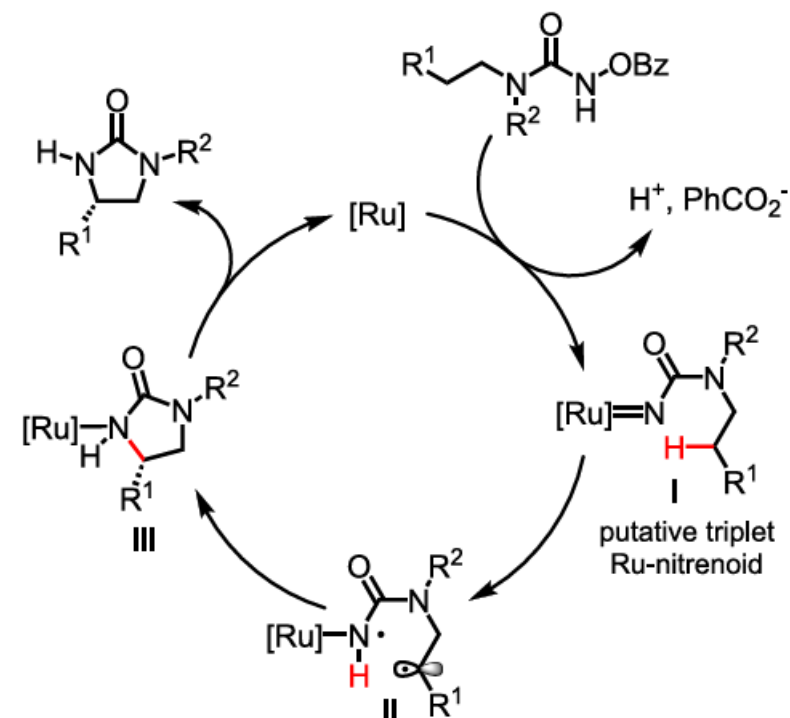
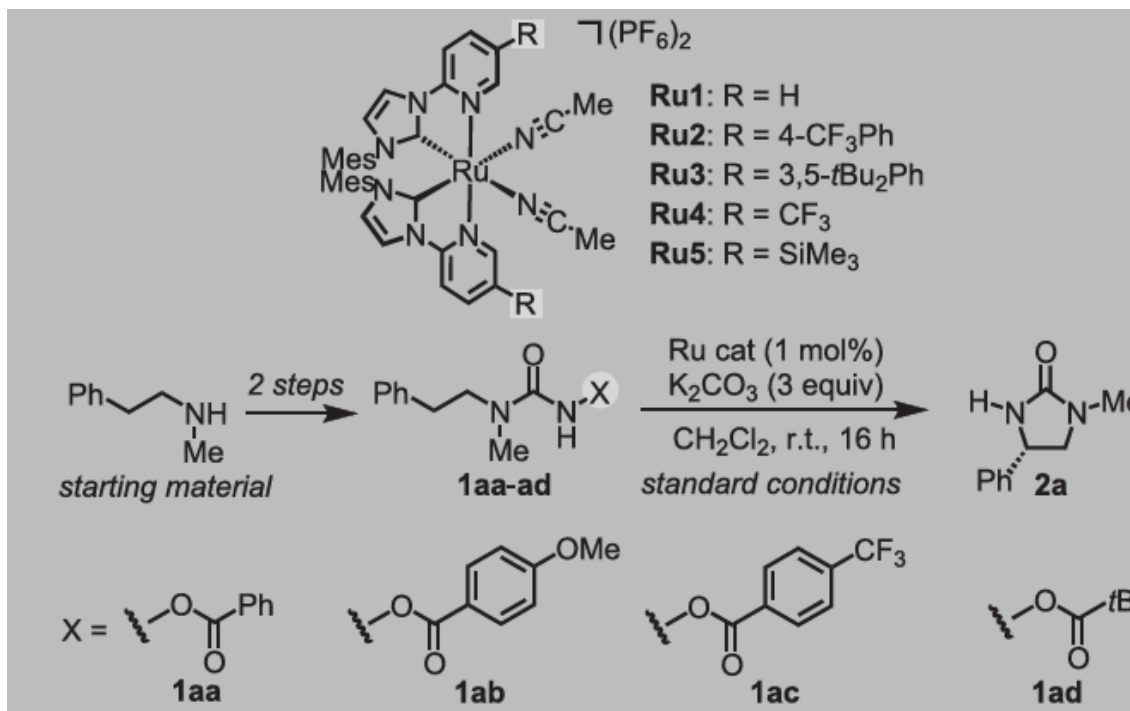
胺化试剂离去基团共轭酸 (ROH) 的酸性 ( $pK_a$ ) 与反应的区域选择性之间存在明显的相关性，即：ROH的 $pK_a$ 较大时，反应的区域选择性好；ROH的 $pK_a$ 较小时，反应的区域选择性差。

# 铁氮宾中间体参与



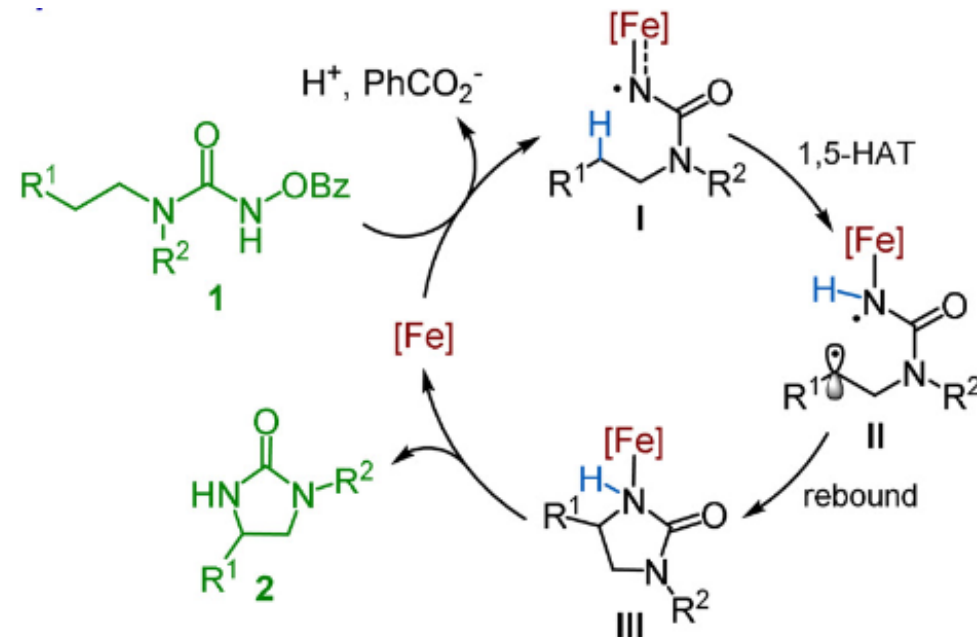
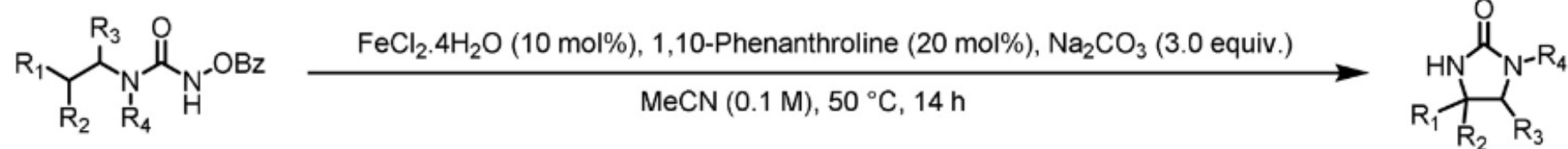


# 铁氮宾中间体参与





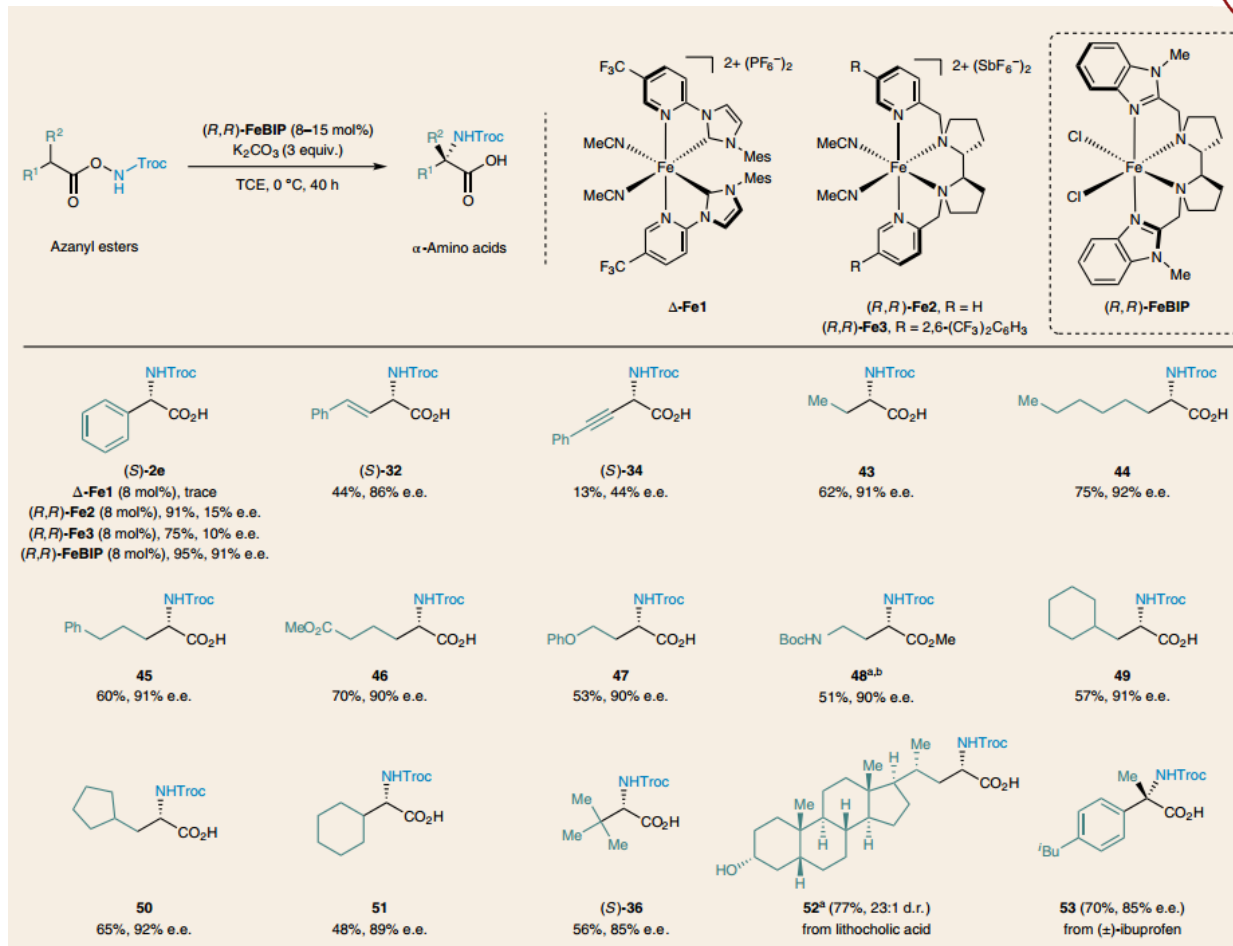
# 铁氮宾中间体参与



# 铁氮宾中间体参与

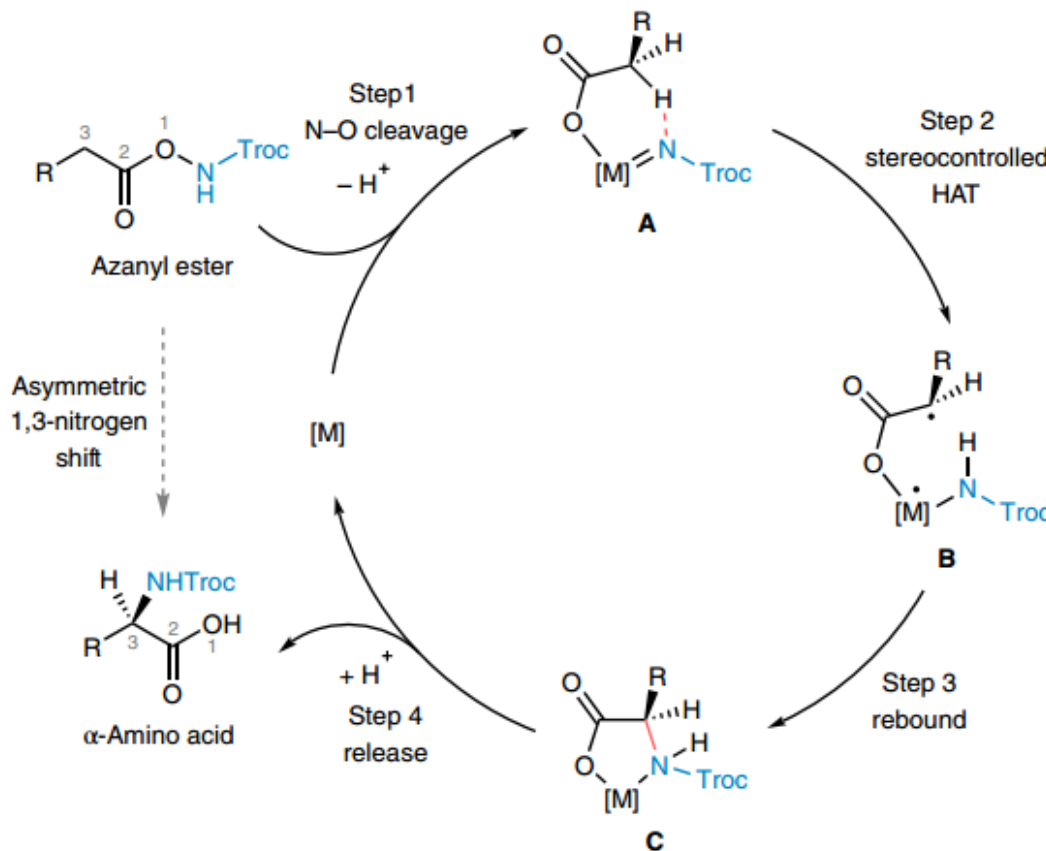


同济大学  
TONGJI UNIVERSITY





# 铁氮宾中间体参与

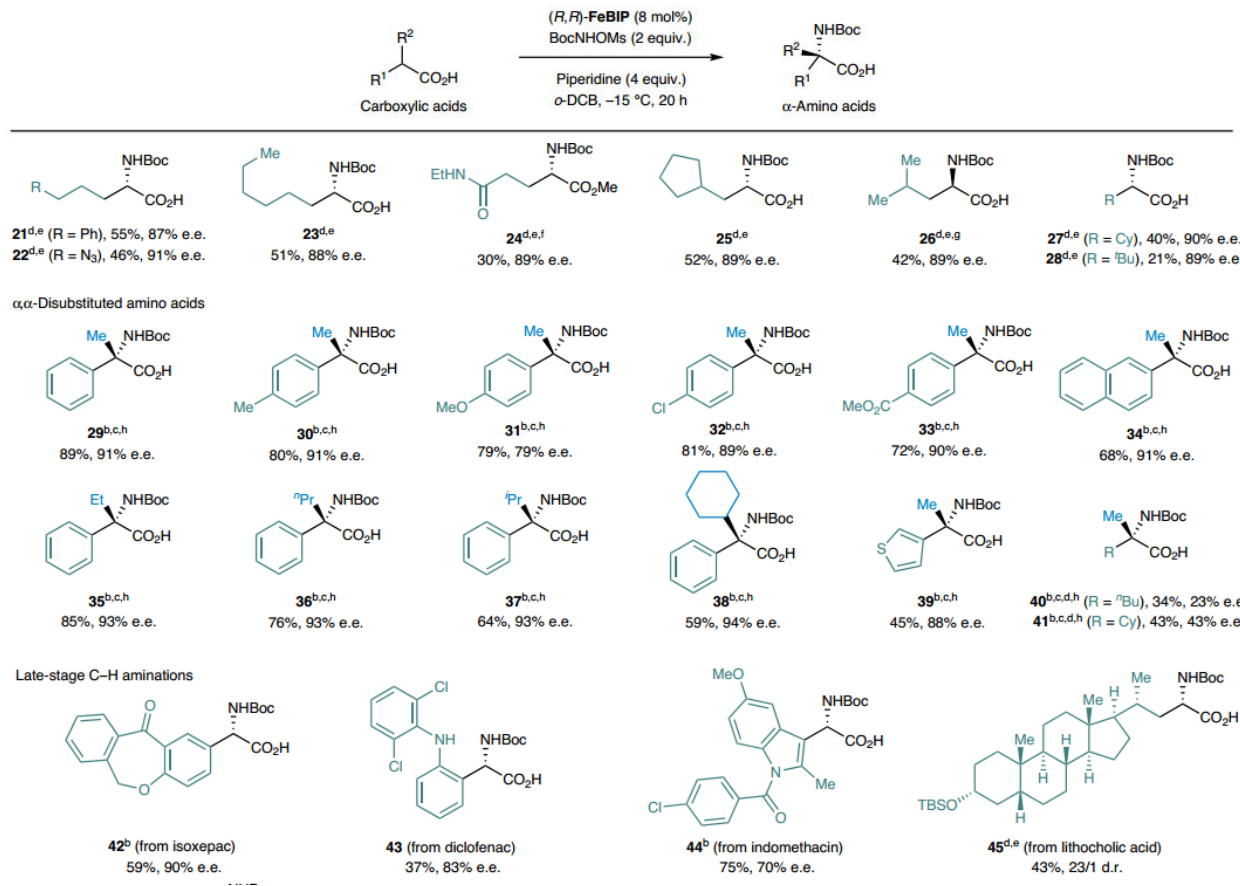


- 本文报道了一种通过1,3-氮迁移的途径，经济实用合成立体选择性α-氨基酸的方案
- 采用丰富的和容易获得的羧酸作为起始原料，首先连接到氮化试剂，然后借助钌或铁催化实现对映选择性的C(sp<sup>3</sup>)-H胺化
- 该方法具有广泛的应用范围，可以快速获得具有芳基、烯丙基、丙炔和烷基侧链的光学活性α-氨基酸，也可以对含羧酸的药物和天然产物进行后期胺化的立体控制

# 铁氮宾中间体参与

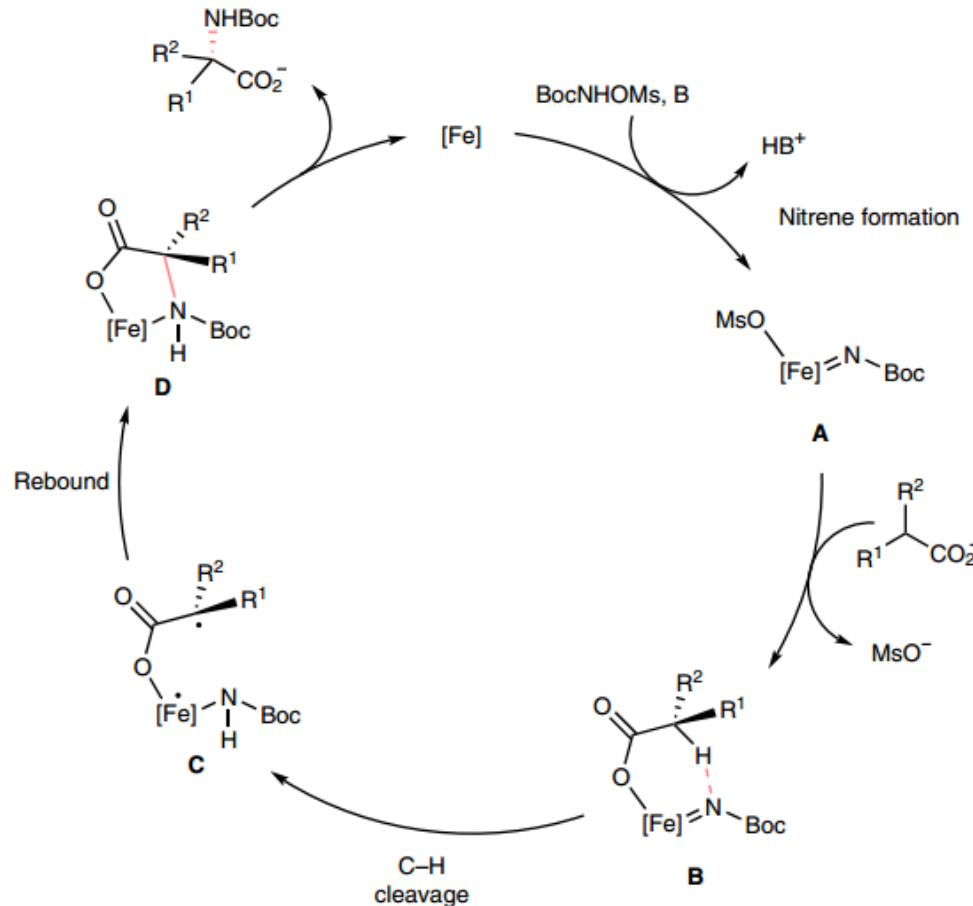


同济大学  
TONGJI UNIVERSITY



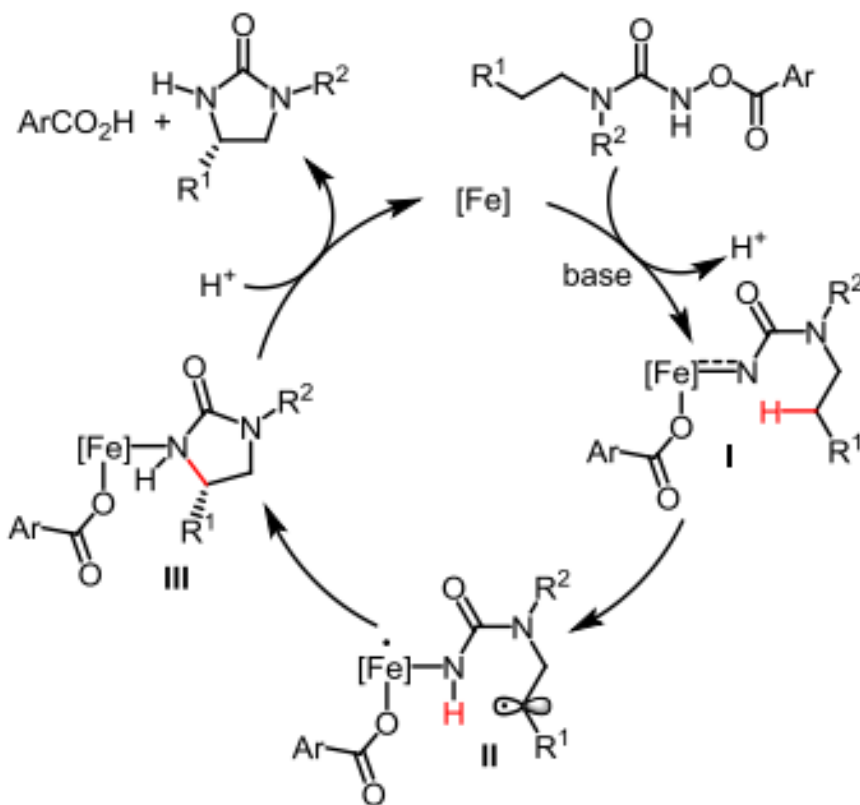
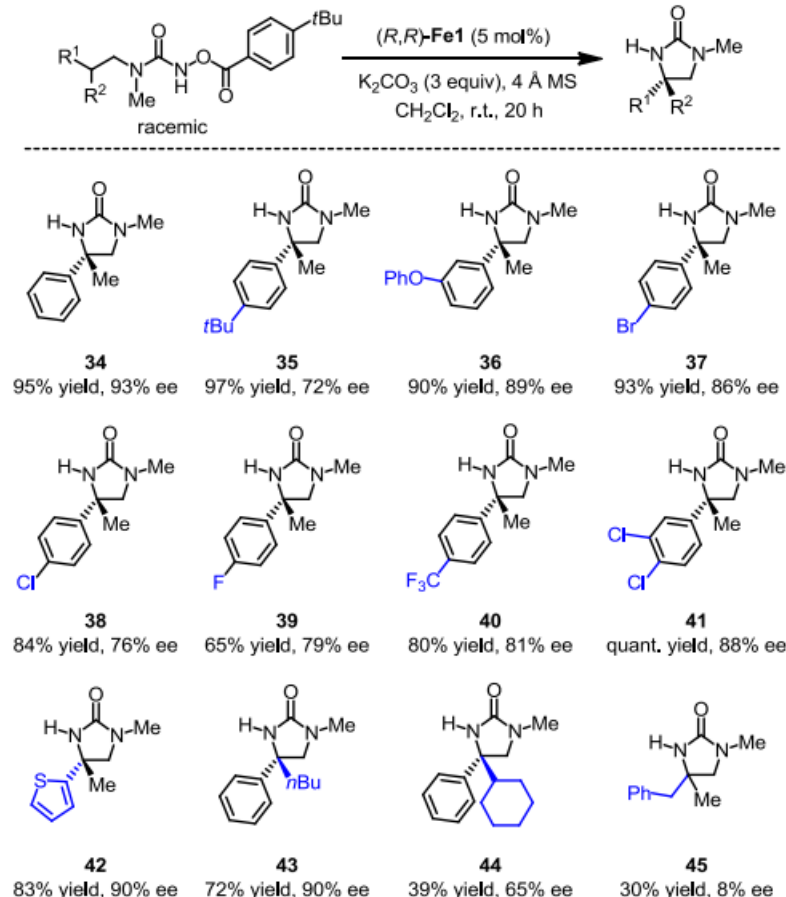


# 铁氮宾中间体参与





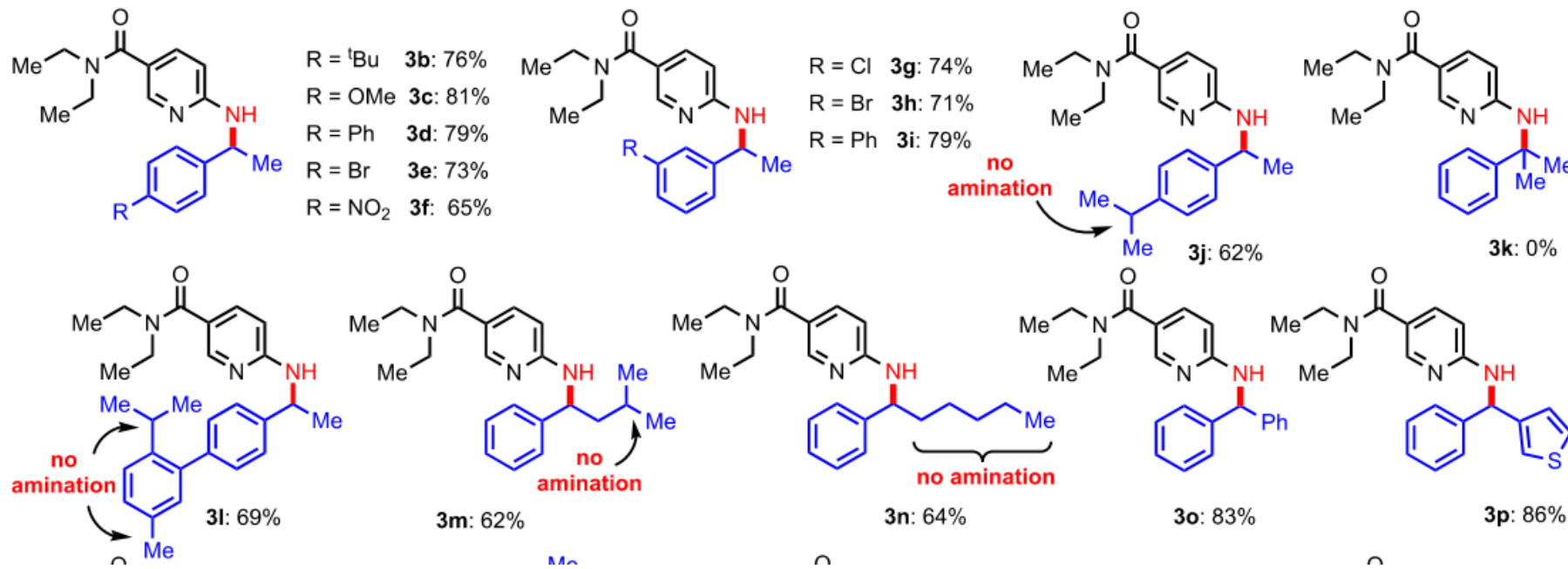
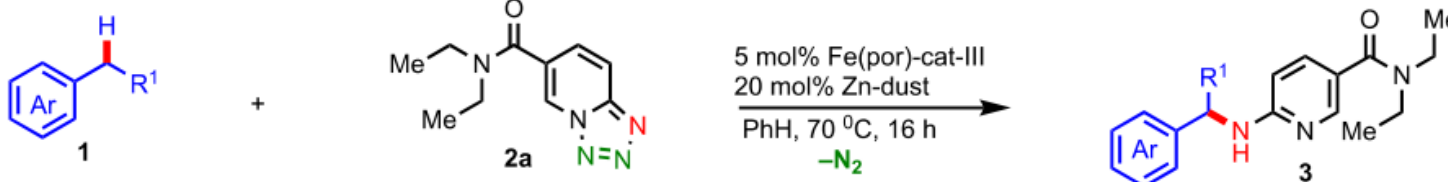
# 铁氮宾中间体参与



# 铁氮宾中间体参与



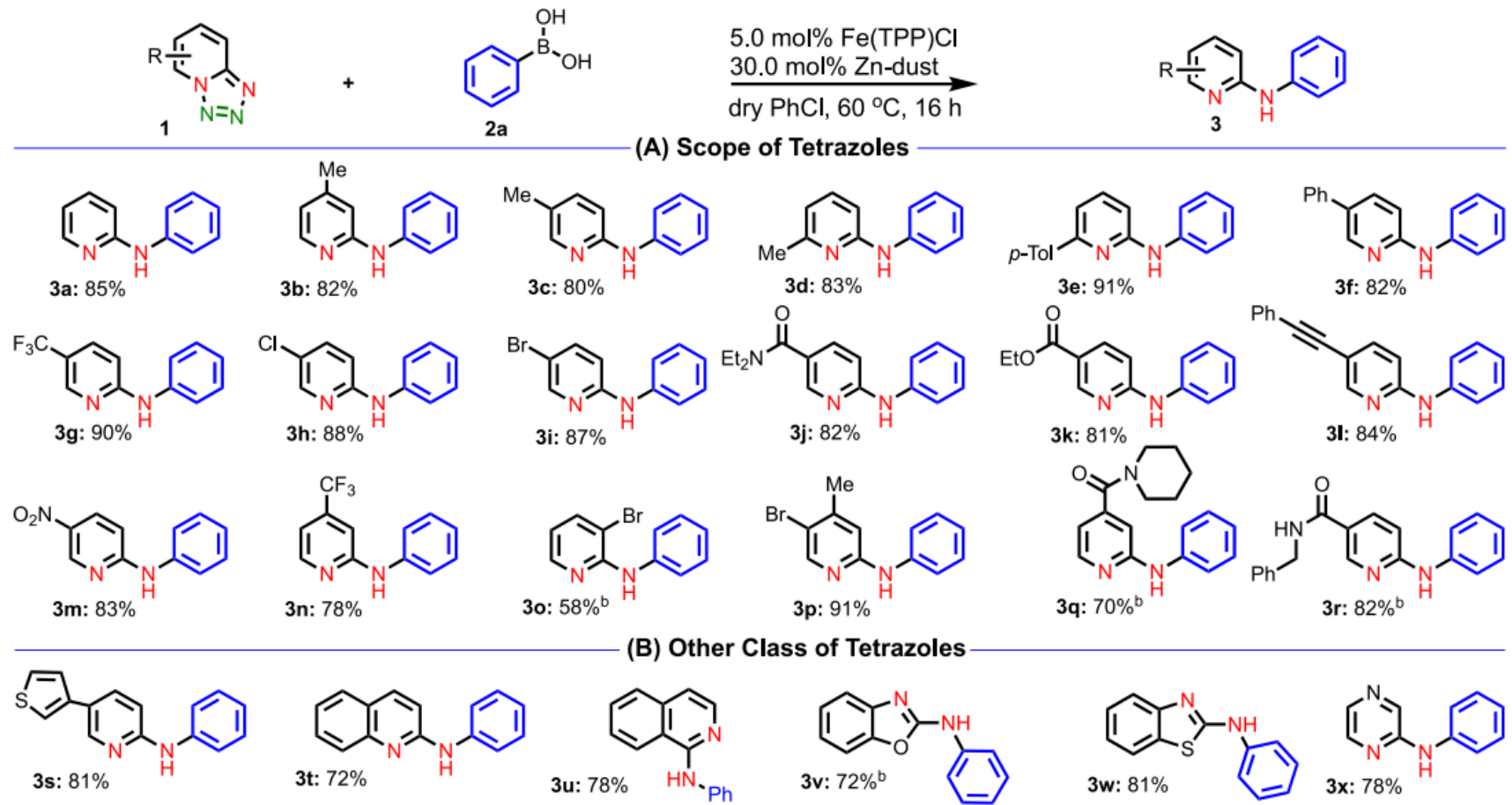
同济大学  
TONGJI UNIVERSITY



# 铁氮宾中间体参与



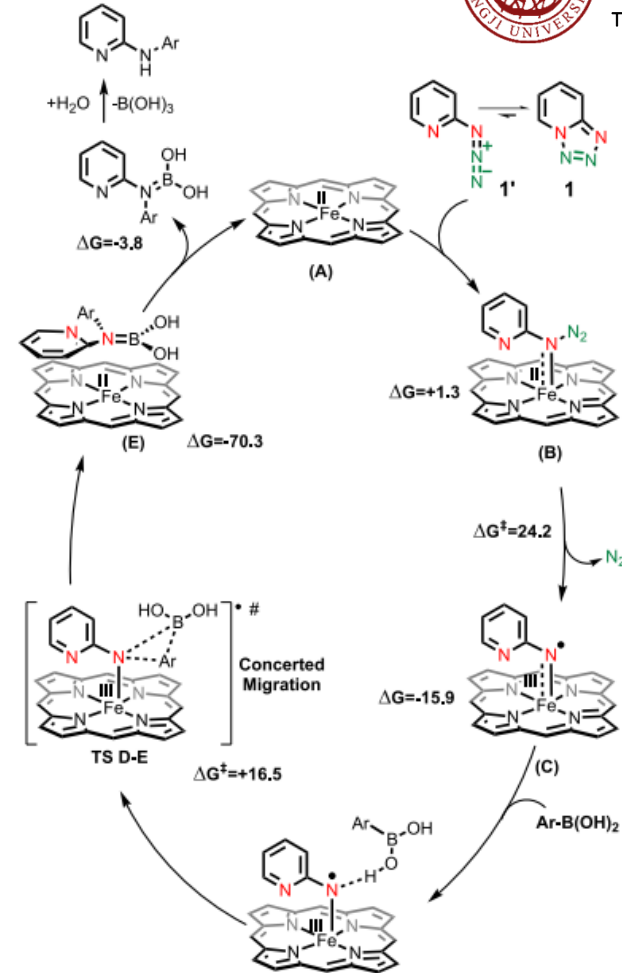
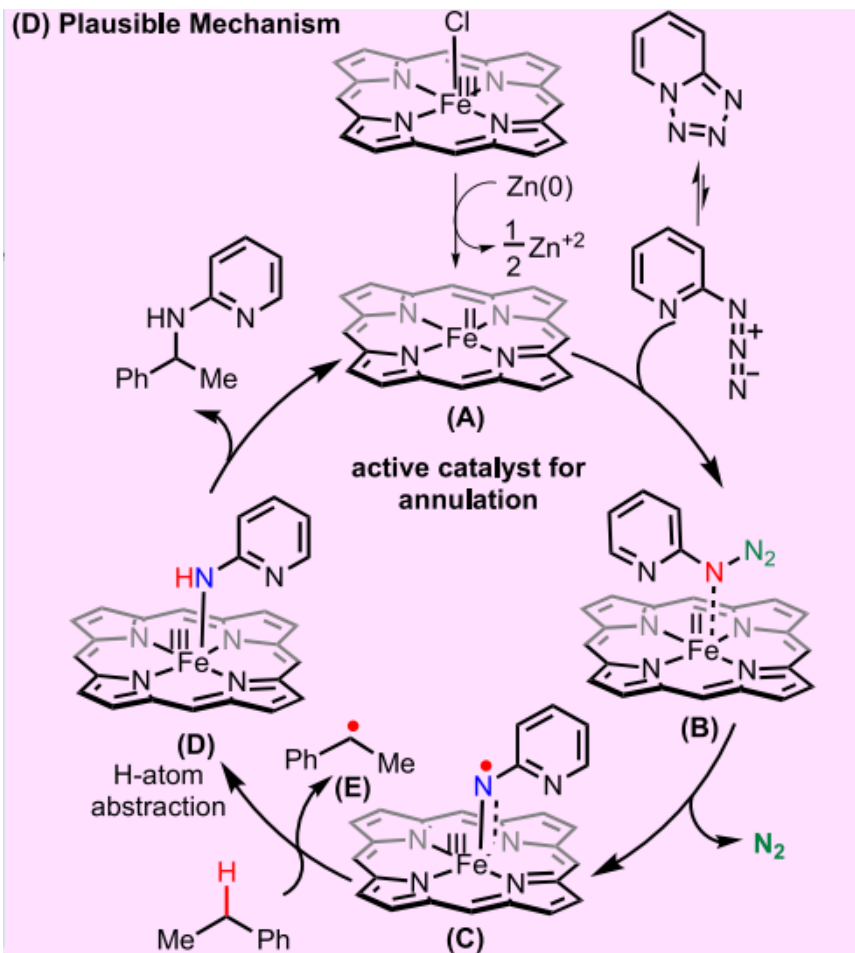
同济大学  
TONGJI UNIVERSITY





# 铁氮宾中间体参与

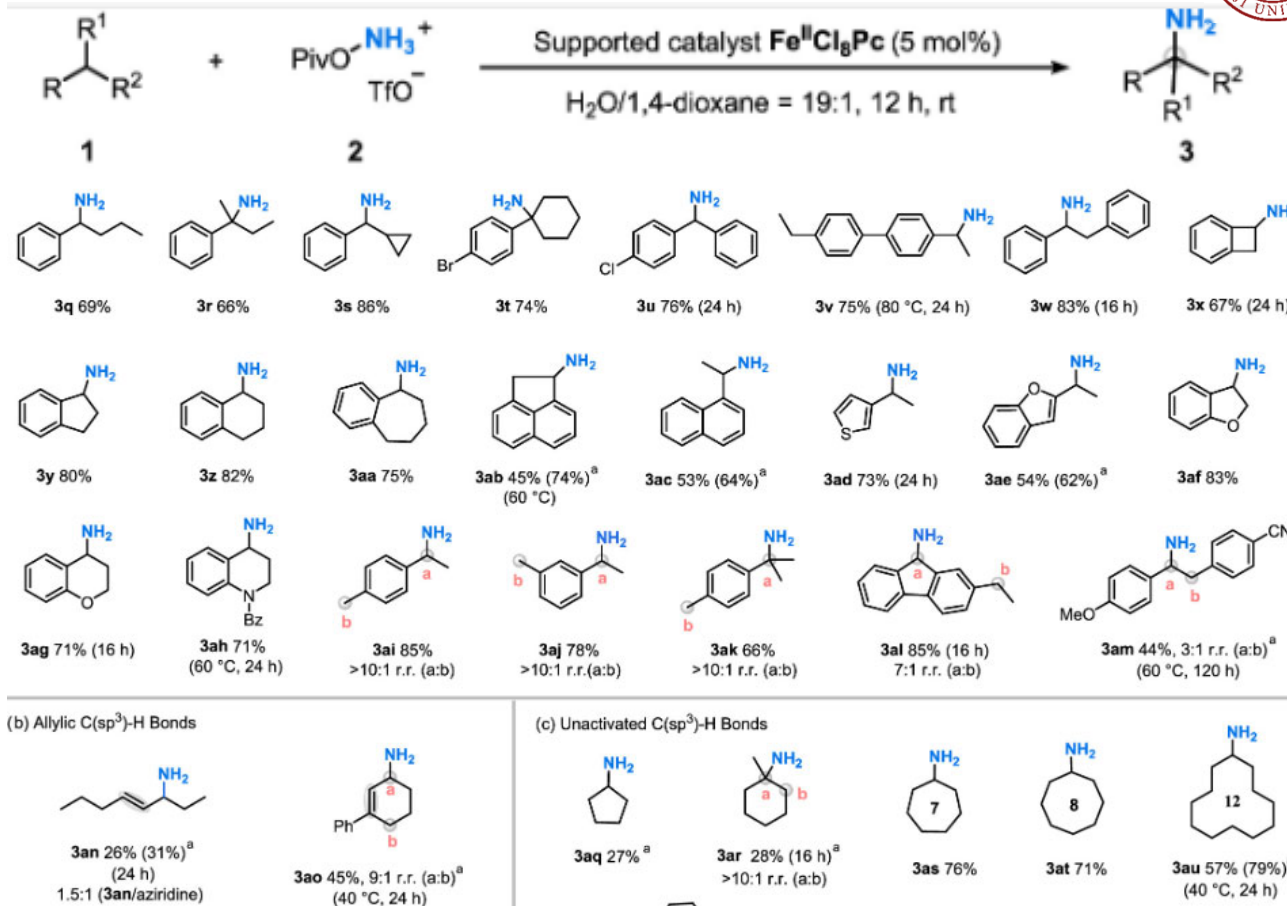
(D) Plausible Mechanism



## 铁氮宾中间体参与



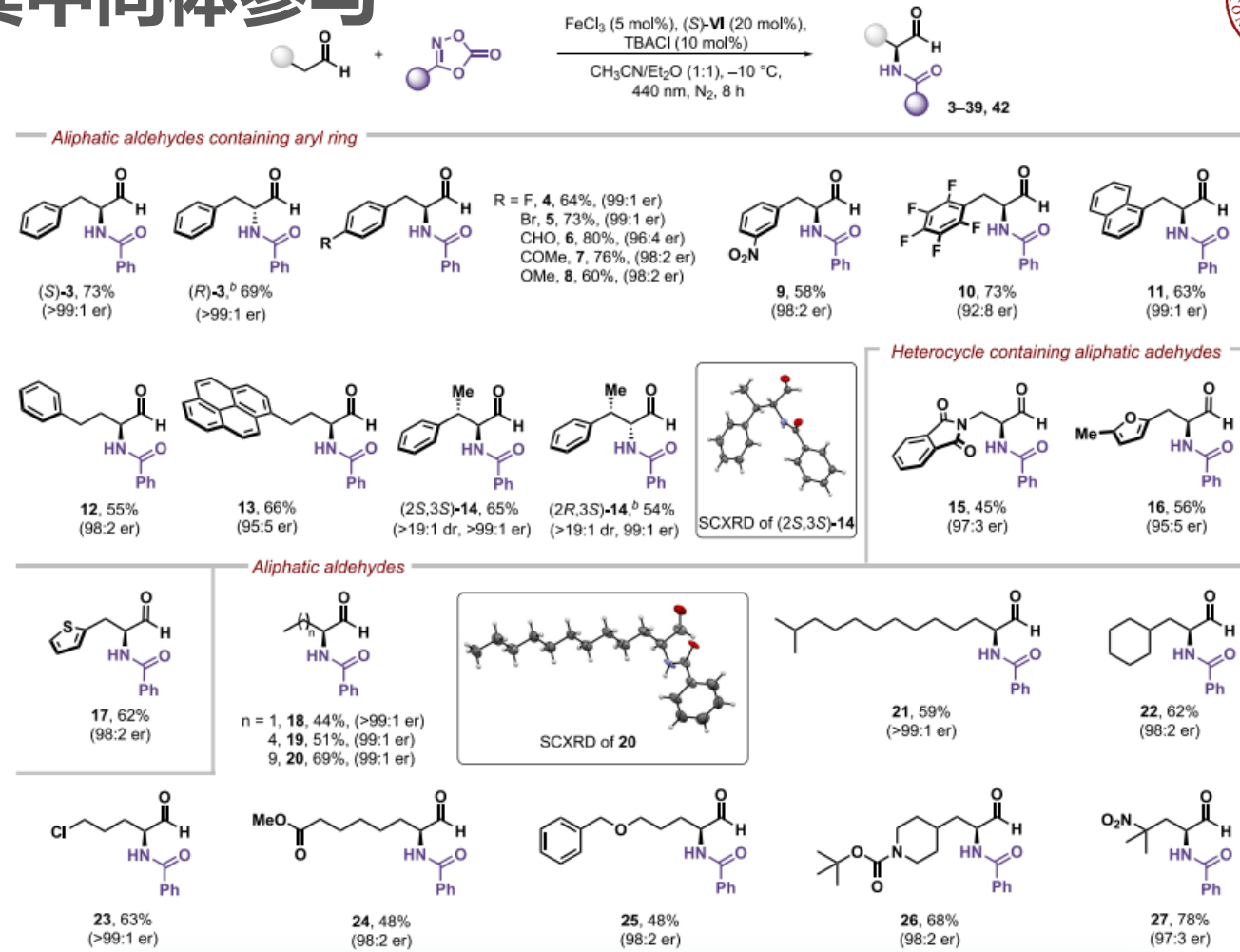
同濟大學  
TONGJI UNIVERSITY



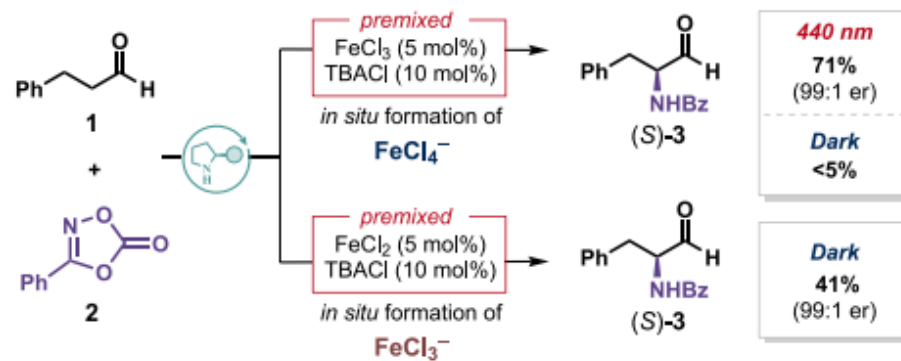
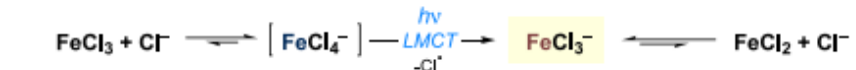
# 铁氮宾中间体参与



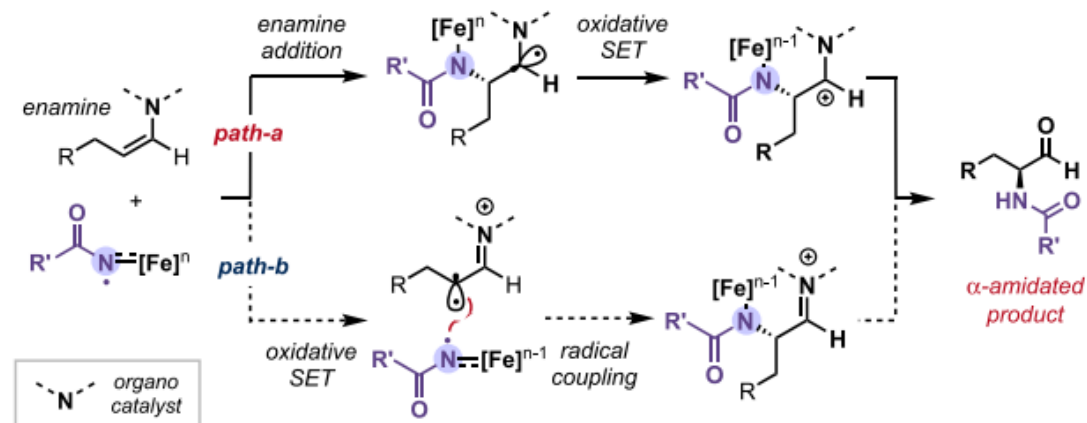
同济大学  
TONGJI UNIVERSITY



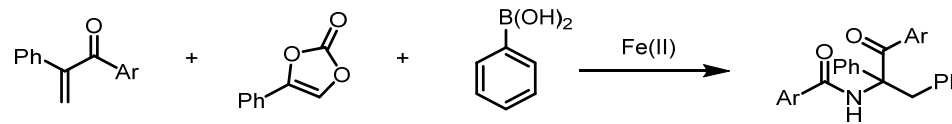
# 铁氮宾中间体参与



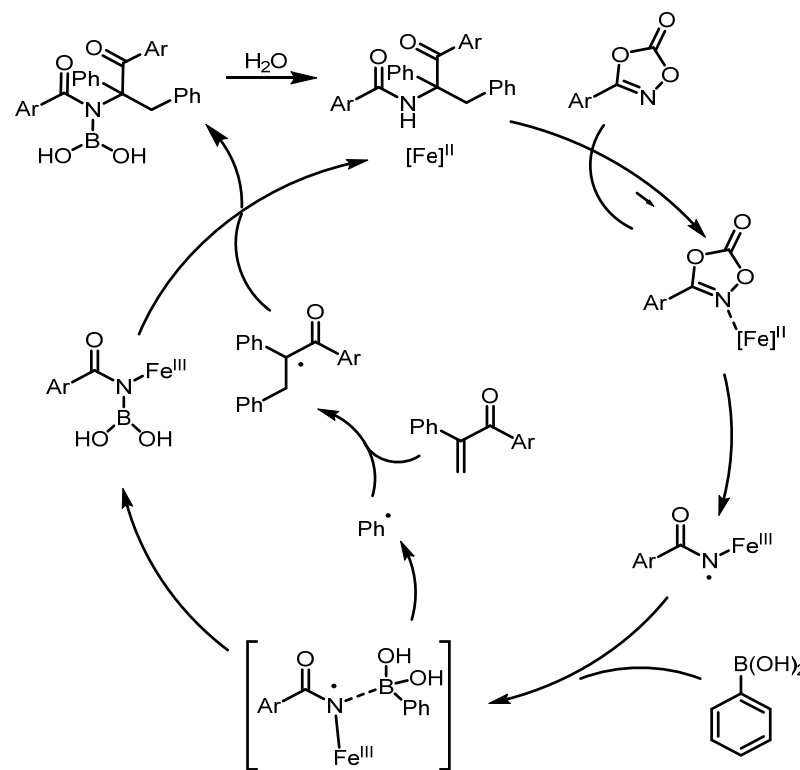
a. Two mechanistic scenarios

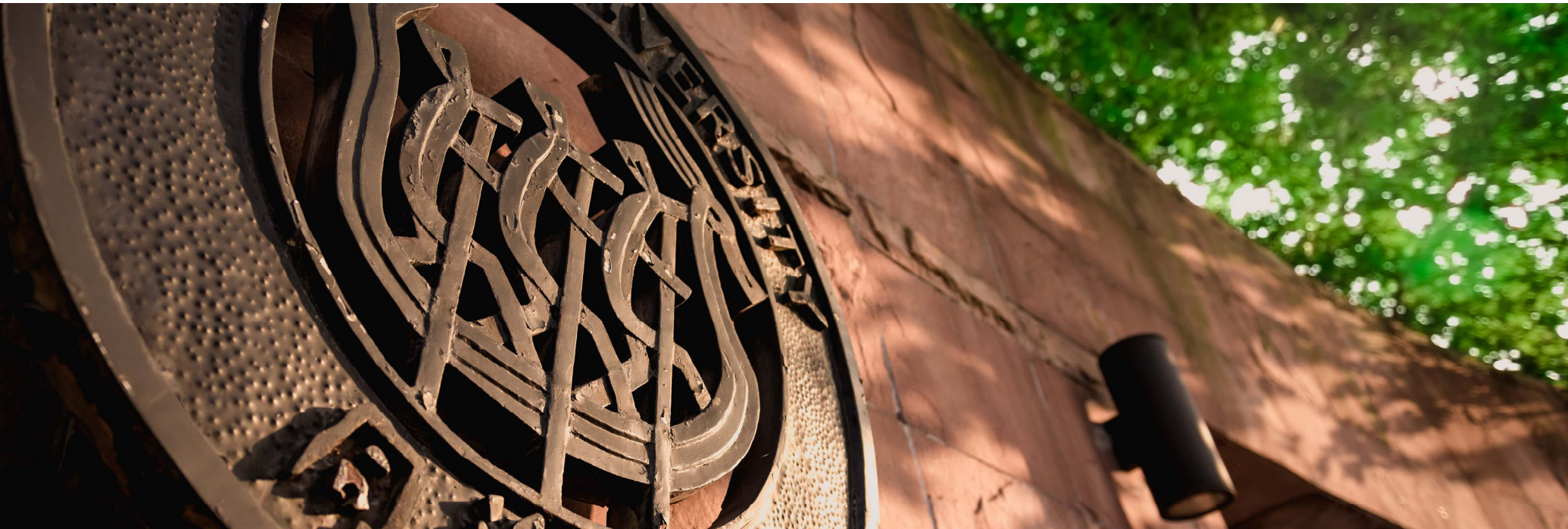


# Proposal



同濟大學  
TONGJI UNIVERSITY





# 汇报结束 感谢聆听！

X L E R O W    J S V    ] S Y V    P M W X I R M R K %

同舟共济